

АЗЭРБАЙЧАН ССР ЕЛМЛЭР АКАДЕМИЈАСЫ  
АКАДЕМИЯ НАУК АЗЕРБАЙДЖАНСКОЙ ССР

---

МЭРҮЗЭЛЭР  
ДОКЛАДЫ

ТОМ XXI ЧИЛД

4

---

АЗЭРБАЙЧАН ССР ЕЛМЛЭР АКАДЕМИЈАСЫ НЭШРИЈЛТЫ  
ИЗДАТЕЛЬСТВО АКАДЕМИИ НАУК АЗЕРБАЙДЖАНСКОЙ ССР

Бакы—1965—Баку

АЗЭРБАЙЧАН ССР ЕЛМЛЭР АКАДЕМИЈАСЫ  
АКАДЕМИЯ НАУК АЗЕРБАЙДЖАНСКОЙ ССР

# МЭ'РУЗЭЛЭР ДОКЛАДЫ

ТОМ XXI ЧИЛД

№ 4



АЗЭРБАЙЧАН ССР ЕЛМЛЭР АКАДЕМИЈАСЫ НЭШРИЈАТЫ  
ИЗДАТЕЛЬСТВО АКАДЕМИИ НАУК АЗЕРБАЙДЖАНСКОЙ ССР  
БАКУ—1965—БАКУ

МАТЕМАТИКА

Х. Ш. МУХТАРОВ

О НЕКОТОРЫХ НЕРАВЕНСТВАХ И ИХ ПРИЛОЖЕНИЕ  
К ИССЛЕДОВАНИЮ НЕЛИНЕЙНЫХ СИНГУЛЯРНЫХ УРАВНЕНИЙ

(Представлено академиком АН Азербайджанской ССР З. И. Халиловым)

Первоначальные результаты в теории нелинейных сингулярных уравнений были получены А. И. Гусейновым [1, 2]. Впоследствии эти результаты были развиты в различных направлениях как советскими, так и зарубежными математиками [3, 4, 5].

В основном теоремы существования и единственности для нелинейных сингулярных уравнений ими были доказаны либо в классе Гельдера, либо в классе Гусейнова.

В данной работе изучается нелинейное сингулярное интегральное уравнение

$$u(t) = \lambda \int_{\Gamma} \frac{f(t, \tau, u(\tau))}{t - \tau} d\tau \quad (1)$$

в новом функциональном пространстве  $H_k(\varphi)$ , где  $\Gamma$ —замкнутая гладкая линия, определенная уравнением  $t = x(s) + iy(s)$ ,  $0 < s < l$  ( $s$ —дуговая абсцисса,  $l$ —длина всей дуги). Интеграл понимается в смысле главного значения.

Определение.  $u(t) \in H_k(\varphi)$  при  $t \in \Gamma$ , если она для любых двух точек  $t_1$  и  $t_2 \in \Gamma$  удовлетворяет условиям:

$$|u(t)| \leq K, \quad |u(t_1) - u(t_2)| \leq K_\varphi(|t_1 - t_2|),$$

где  $K = \text{const}$ , а  $\varphi(\sigma)$ —монотонно возрастающая непрерывная функция ( $\varphi(0) = 0$ ).

В классе  $H_k(\varphi)$  введем следующие метрики:  
если  $u(t), v(t) \in H_k(\varphi)$ , то

$$\rho_1(u, v) = \max_{t \in \Gamma} |u(t) - v(t)| + \sup_{t_1, t_2 \in \Gamma} \frac{|W(t_1) - W(t_2)|}{\varphi_1(|t_1 - t_2|)},$$

$$W(t) = u(t) - v(t),$$

$$\rho_2(u, v) = \left\{ \int_{\Gamma} |u(t) - v(t)|^p ds \right\}^{\frac{1}{p}}, \quad p > 1,$$

РЕДАКЦИОННАЯ КОЛЛЕГИЯ: З. И. Халилов (главный редактор), Ш. А. Азиз-беков, В. Р. Волобуев, Д. М. Гусейнов, И. А. Гусейнов, М. А. Дадашзаде (зам. главного редактора), М. А. Далин, Ч. М. Джуварлы, С. М. Кулиев, М. Ф. Нагиев (зам. главного редактора), М. А. Топчыбашев, Г. Г. Зейналов (ответственный секретарь).

Адрес: г. Баку, Коммунистическая, 10. Редакция «Докладов Академии наук Азербайджанской ССР».

ПЧ7214

Центральная научная  
БИБЛИОТЕКА  
Академии наук Киргизской ССР

где  $\varphi_1(\sigma)$  — монотонно возрастающая непрерывная функция, удовлетворяющая условию

$$\lim_{\sigma \rightarrow 0+0} \frac{\varphi(\sigma)}{\varphi_1(\sigma)} = 0 \quad (\varphi_1(0) = 0) \quad (*)$$

**Теорема 1.** Если существует такой  $\alpha$ , что  $0 < \alpha < 1$  и

$$\sup_{0 < \sigma < l} \left\{ \frac{\varphi(\sigma)}{\varphi_1^{\frac{1}{1-\alpha}}(\sigma)} \right\} = c < +\infty, \quad (2)$$

то для любых  $u(t), v(t) \in H_k(\varphi)$  будет

$$\sup_{t_1, t_2 \in \Gamma} \frac{|W(t_1) - W(t_2)|}{\varphi_1(|t_1 - t_2|)} \leq 2(2kc)^{1-\alpha} \left( \max_{t \in \Gamma} |W(t)| \right)^\alpha. \quad (3)$$

В частности при  $\varphi(\sigma) = \sigma^\alpha$  ( $0 < \delta < 1$ ) мы получим класс Гельдера  $H_{k,\delta}$ . Полагая в теореме 1  $\varphi_1(\sigma) = \sigma^{\alpha'}$ ,  $0 < \delta' < \delta \ll 1$ ,  $\alpha = \frac{\delta - \delta'}{\delta}$

получим

Следствие. Если  $u(t) \in H_{k,\delta}$  то

$$\sup_{t_1, t_2 \in \Gamma} \frac{|u(t_1) - u(t_2)|}{|t_1 - t_2|^{\delta'}} \leq 2K^{\frac{\delta}{\delta'}} \left( \max_{t \in \Gamma} |u(t)| \right)^{\frac{\delta - \delta'}{\delta}}. \quad (4)$$

Неравенства типа (3) и (4) имеет место и для функций

$$u(x) \in H_k, \delta, \text{ где } a \ll x \ll b.$$

**Замечание.** В неравенстве (4) (следовательно и в (3)) показатель  $\frac{\delta - \delta'}{\delta}$  является окончательным. В самом деле, пусть гладкий контур

$\Gamma$  состоит из отрезка  $[-1, +1]$  и некоторой гладкой линии  $\Gamma'$ , соединяющей точки  $-1, +1$ .

Положим

$$u_n(t) = \begin{cases} 0 & \text{при } -1 < t \leq -n^{-\frac{1}{\delta}} \\ (t + n^{-\frac{1}{\delta}})^\delta & \text{при } -n^{-\frac{1}{\delta}} < t \leq 0 \\ (-t + n^{-\frac{1}{\delta}})^\delta & \text{при } 0 < t \leq n^{-\frac{1}{\delta}} \\ 0 & \text{при } n^{-\frac{1}{\delta}} < t \leq 1 \\ 0 & \text{при } t \in \Gamma' \end{cases}$$

Нетрудно показать, что  $\max_{t \in \Gamma} |u_n(t)| = \frac{1}{n}$

$$\sup_{t_1, t_2 \in \Gamma} \frac{|u_n(t_1) - u_n(t_2)|}{|t_1 - t_2|^{\delta'}} = Mn^{-\frac{\delta - \delta'}{\delta}},$$

где  $M = \text{const}$  не зависящая от  $n$ .

**Теорема 2.** Если  $u(t), v(t) \in H_k(\varphi)$  и для некоторого  $\beta$  такого, что  $0 < \beta < p$  будет

$$\sup_{0 < x < ml} \left\{ \frac{\varphi(x)}{x^{\frac{1}{\beta} - \frac{1}{p}}} \right\} = B < \infty, \quad (5)$$

то

$$\max_{t \in \Gamma} |u(t) - v(t)| \leq D k^{\frac{\beta}{p}} \left\{ \int_{\Gamma} |u(t) - v(t)|^p ds \right\}^{\frac{1}{p}(1-\frac{\beta}{p})}, \quad (6)$$

где  $D$  — постоянная не зависящая от  $k$ .

В частности для  $H_{k,\delta}$  при  $\beta = \frac{p}{1+\delta p}$  получим следствие.

Если  $u(t), v(t) \in H_{k,\delta}$ , то

$$\max_{t \in \Gamma} |u(t) - v(t)| \leq D_1 K^{\frac{1}{1+\delta p}} \left\{ \int_{\Gamma} |u(t) - v(t)|^p ds \right\}^{\frac{\delta}{1+\delta p}}. \quad (7)$$

Неравенства типа (6) и (7) также имеют место, если

$$u(x) \in H_{k,\delta} \quad (n \leq x \leq b)$$

Из вышеприведенного примера нетрудно видеть, что неравенство (3) не имеет места при  $\varphi_1(\sigma) \equiv \varphi(\sigma)$  ни при каком  $\alpha > 0$ .

Из неравенств (3) и (6) следует

**Теорема 3.** Если  $u(t), v(t) \in H_k(\varphi)$ , то

$$\rho_1(u, v) \leq DK^{\frac{\beta}{p}} \cdot \rho_2^{1-\frac{\beta}{p}}(u, v) + 2(2kc)^{1-\alpha} D^\alpha K^{\frac{\alpha\beta}{p}} \rho_2^{\alpha} \left( 1 - \frac{\beta}{p} \right) (u, v), \quad (8)$$

где  $\alpha$  и  $\beta$  удовлетворяет условиям (2) и (5)

Далее, имеет место следующая

**Теорема 4.** Если  $f(t, \tau, u)$  определена при  $t, \tau \in \Gamma, |u| \leq k$  и удовлетворяет условию

$$|f(t, \tau, u) - f(t_1, \tau_1, u_1)| \leq A_1 \psi(|t_1 - t_2|) + A_2 \varphi(|\tau - \tau_1|) + A_3 |u - u_1|$$

и если  $K(t, \tau, u) = f(t, \tau, u) - f(\tau, \tau, v)$  удовлетворяет условию

$$|K(t, \tau, u) - K(t, \tau, v)| \leq |g(t, \tau)| \cdot |u - v|, \quad (**)$$

где  $|g(t, \tau)|$  такая, что

$$\left\{ \int_{\Gamma} \left[ \int_{\Gamma} \left| \frac{g(t, \tau)}{t - \tau} \right|^q d\tau \right]^{\frac{p}{q}} ds \right\}^{\frac{1}{p}} < +\infty, \quad \frac{1}{p} + \frac{1}{q} = 1,$$

$$\text{a) } \int_0^x \frac{\varphi(\xi)}{\xi} d\xi < \tilde{A} \varphi(x),$$

$$\text{б) } x \int_0^x \frac{\varphi(\xi)}{\xi^2} d\xi < \tilde{B} \varphi(x), \quad 0 < x < l_0 < l$$

$$\text{в) } 0 < \psi(x) \ln \frac{l}{x} < \tilde{C} \varphi(x),$$

$(A_1, A_2, A_3, \tilde{A}, \tilde{B}, \tilde{C}$  — постоянные),  
то уравнение (1) при  $|\lambda| < \lambda_0 < 1$  имеет единственное решение

\* Следует иметь в виду, что  $|f(s_1) - f(s_2)| \leq m |s_1 - s_2|$

$u(t) \in H_k(\varphi)$ , и это решение можно найти методом последовательных приближений по формуле

$$u_n(t) = \lambda \int_{\tau}^t \frac{f(t, \tau, U_{n-1}(\tau))}{t-\tau} d\tau, \quad u_0(t) \in H_k(\varphi).$$

Последовательные приближения сходятся в смысле метрики  $\rho_1$ , причем

$$\rho_1(u_n, \tilde{u}_0) \leq K \cdot \left\{ l_1 \cdot \frac{\lambda_0^n \left(1 - \frac{\beta}{p}\right)}{(1 - \lambda_0)^{1 - \frac{\beta}{p}}} + l_2 \cdot \frac{\lambda_0^{n+1} \left(1 - \frac{\beta}{p}\right)}{(1 - \lambda_0)^{\alpha} \left(1 - \frac{\beta}{p}\right)} \right\},$$

где  $l_1$  и  $l_2$ — некоторые постоянные, не зависящие от  $K$ , а  $\lambda_0$ — вполне определенное число.

Теперь в  $H_k(\varphi)$  введем более сильную метрику

$$\rho_3(u, v) = \max_{t \in \Gamma} |W(t)| + \sup_{t_1, t_2 \in \Gamma} \frac{|W(t_1) - W(t_2)|}{\varphi(|t_1 - t_2|)},$$

где

$$W(t) = u(t) - v(t).$$

Пусть выполняются все условия теоремы 4, кроме условий  $(**)$ , тогда на основании принципа Шаудера можно доказать существование решения уравнения (1) в классе  $H_k(\varphi)$ .

Пусть при любых  $u_1(\tau), u_2(\tau) \in H_k(\varphi)$

$$g_1(t, \tau) = f(t, \tau, u_1(\tau)) - f(t, \tau, u_2(\tau))$$

удовлетворяют условию

$$\begin{aligned} & \sup_{t, \tau, t_1, \tau_1 \in \Gamma} \frac{|g_1(t, \tau) - g_1(t_1, \tau_1)|}{\psi(|t - t_1|) + \varphi(|\tau - \tau_1|)} \leq \\ & \leq l_3 \max_{t \in \Gamma} |W(t)| + l_4 \sup_{t_1, t_2 \in \Gamma} \frac{|W(t_1) - W(t_2)|}{\varphi(|t_1 - t_2|)}, \end{aligned} \quad (**, **)$$

где

$$W(t) = U_1(t) - U_2(t), \quad l_3 \geq 0, \quad l_4 \geq 0, \quad l_3 + l_4 > 0.$$

Теорема 5. Если  $f(t, \tau, u)$  удовлетворяет всем условиям теоремы 4 (кроме условий  $(**)$ ) и выполняется условие  $(***)$ , тогда уравнение (1) при малых  $\lambda$  имеет единственное решение  $\tilde{U}_0(t) \in H_k(\varphi)$ . Это решение можно найти методом последовательных приложений. Последовательные приложения сходятся в смысле метрики  $\rho_3$ .

В заключение приведем одно неравенство для функций класса А. И. Гусейнова, которое определяется так: функция  $u(x)$ , определенная в интервале  $(a, b)$  принадлежит  $H_{\alpha, \beta, \delta}^M$ , если

$$|u(x)| \leq \frac{M}{(x-a)^\alpha (b-x)^\beta},$$

$$|u(x+\delta x) - u(x)| \leq \frac{M |\Delta x|^\delta}{(x-a)^{\alpha+\delta} (b-x)^{\beta+\delta}},$$

где

$$M = \text{const}, \quad 0 < \alpha + \delta, \quad \beta + \delta < 1, \quad 0 < \alpha, \quad \beta < 1, \quad 0 < \delta < 1.$$

В  $H_{\alpha, \beta, \delta}^M$  введем следующие метрики:

$$\rho_\delta(u, v) = \sup_{a < x < b} |u(x) - v(x)| (x - a)^{\alpha+\delta} (b - x)^{\beta+\delta},$$

$$\rho_{L_p(\varphi)}^{(u, v)} = \left\{ \int_a^b \rho(x) |u(x) - v(x)|^p dx \right\}^{\frac{1}{p}},$$

где

$$p > 1, \quad \rho(x) = (x - a)^{\alpha+\delta} (b - x)^{\beta+\delta}.$$

Теорема 6. Если  $u(x), v(x) \in H_{\alpha, \beta, \delta}^M$ , то

$$\rho_\delta(u, v) \leq C_1 M^{1-\delta} \rho_{L_p(\varphi)}^b(u, v) + C_2 M^\delta \rho_{L_p(\varphi)}^p(u, v), \quad (9)$$

где  $C_1, C_2$ —постоянные не зависящие от  $M$ .

Теорема 7. Пусть  $f(x, s, u)$  определена при  $a < x, s < b, -\infty < u < +\infty$  и удовлетворяет условию

$$|f(x + \Delta x, s + \Delta s, u + \Delta u) - f(x, s, u)| \leq A_1 |\Delta x|^\delta + A_2 |\Delta s|^\delta + A_3 |\Delta u|,$$

где  $0 < \delta < \delta_1 < 1$ .

Положим,  $k(x, s, u) = f(x, s, u) - f(s, s, u)$ .

Пусть, далее

$$|K(x, s, u) - K(x, s, v)| \leq |g(x, s)| \cdot |u - v|,$$

где

$$\int_a^b \rho(x) \left[ \int_a^b \left| \frac{\rho^{-\frac{1}{p}}(s) g(x, s)}{s-x} \right|^q ds \right]^{\frac{p}{q}} dx < +\infty$$

$$\frac{1}{p} + \frac{1}{q} = 1, \quad 1 < p < \min \left\{ \frac{1}{\alpha+\delta}, \frac{1}{\beta+\delta} \right\},$$

тогда уравнение

$$u(x) = \lambda \int_a^b \frac{f(x, s, u(s))}{s-x} ds$$

при малых  $\lambda$  ( $|\lambda| < \lambda_0 < 1$ ) имеет единственное решение  $u_0(x) \in H_{\alpha, \beta, \delta}^M$ , которое можно найти методом последовательных приближений, последовательные приближения сходятся в смысле метрики  $\rho_\delta$ . Если  $u_n(x)$  является  $n$ -ным приближенным решением, то

$$\rho_\delta(u_n, u_0) \leq M \left\{ q_1 \cdot \frac{\tilde{\lambda}_0^{n\delta}}{(1-\lambda_0)^\delta} + q_2 \cdot \frac{\tilde{\lambda}_0^{n+1} \left(1 - \frac{1}{p}\right)}{(1-\lambda_0)^{1-\frac{1}{p}}} \right\},$$

где  $q_1, q_2$ —постоянные не зависящие от  $n$  и  $M$ . Аналогичные результаты имеют место и для уравнения

$$u(t) = \lambda \int_L \frac{f(t, \tau, u(\tau))}{t-\tau} d\tau,$$

где  $L$ —состоит из конечного числа попарно непересекающихся гладких разомкнутых дуг, расположенных на комплексной плоскости.

ЛИТЕРАТУРА

1. Гусейнов А. И. Изв. АН СССР, серия матем., 1948, № 2.
2. Гусейнов А. И. Математический сборник, т. 26, (62) 2, 1947.
3. Бабаев А. А. Уч. зап. АГУ им. С. М. Кирова, серия матем., № 2, 1960.
4. Бабаев А. А. Уч. зап. АГУ им. С. М. Кирова, серия матем., № 1, 1961.
5. Мухтаров Х. Ш. Уч. зап. АГУ им. С. М. Кирова, серия матем., № 5, 1961.

Институт математики и механики

Поступило 1. VI 1964

Х. Ш. Мухтаров

**Бэ'зи гејри-бәрабәрсизликләр вә онларын гејри-хэтти  
сингулляр тәнликләрә тәтбиги**

ХҮЛАСЭ

Бу ишдә (1) тәнили  $H_k(\varphi)$  фәзасында тәдгиг едилир.  $\varphi$  функциясын үзәринә мүәյҗән щәртләр гојараг (3) вә (4) бәрабәрсизликләри алышын. (6) вә (8) бәрабәрсизликләрин көмәйн илә (4) теореми исбат едилә биләр.  $H_k(\varphi)$  фәзасында даһа гуввәтли метрина ( $\rho_3$ ) гәбул етмәклә (5) теоремини алышыг. Гејд етмәк лазымдыр ки, Э. Һүсейновун синфиндә, јә'ни  $H_{\alpha, \beta, \gamma}^m$ -дә јухарыдақылара охшар иәтичеләр (9) бәрабәрсизлиji вә 7 теореми) алышыр.

**ТЕОРЕТИЧЕСКАЯ ФИЗИКА**

Я. М. НАЗИЕВ

**ОБ ОДНОМ НОВОМ МЕТОДЕ РЕГУЛЯРНОГО РЕЖИМА—  
ЦИЛИНДРИЧЕСКОМ ТРИКАЛОРИМЕТРЕ**

(Представлено академиком АН Азербайджанской ССР Х. И. Амирхановым)

Рассмотрим регулярный тепловой режим трехсоставного цилиндра (рисунок). Он состоит из внутреннего (1) и внешнего (3) металлических цилиндров и заключенного между ними тонкого теплоизоляционного слоя (2). Температуропроводность материала металлических цилиндров чрезвычайно велика по сравнению с температуропроводностью теплоизолятора, вследствие чего температурное поле в них принято равномерным.

Внутренний цилиндр, нагретый на некоторую избыточную температуру, охлаждается через слой теплоизолятора (газа или жидкости) во внешнем цилиндре. Внешний цилиндр теплоизолирован с наружной поверхности.

На основе регулярного протекания теплового режима в трехсоставном цилиндре можно написать

$$\left. \begin{aligned} \theta_1 &= A_1 \cdot e^{-mt}, \\ \theta_2 &= A_2 [J_0(\mu r) + D Y_0(\mu r)] \cdot e^{-mt}, \\ \theta_3 &= A_3 \cdot e^{-mt}, \end{aligned} \right\} \quad (1)$$

где  $\theta_1, \theta_2, \theta_3$ —соответственно избыточные температуры цилиндров: 1, 2 и 3;

$$\theta_1 = t - t_b; \quad \theta_2 = t_2 - t_b; \quad \theta_3 = t_3 - t_b;$$

$t_1, t_2, t_3$ —соответственно температуры цилиндров 1, 2 и 3;  
 $t_b$ —конечная температура трехсоставного цилиндра, т. е.  
температура выравнивания температурных полей;

$A_1, A_2, A_3, D$ —постоянные величины;

$m$ —температуропроводность теплоизолятора;

$t$ —время охлаждения;

$$\mu = \sqrt{\frac{m}{a}}, \quad a—\text{температуропроводность теплоизолятора.}$$

Предполагая, что отсутствует температурный скачок между цилиндрами на основе теплового баланса получим следующие соотношения

$$\left. \begin{aligned} c_1\gamma_1 R_1 m A_1 &= 2\lambda A_2 \mu [J_1(\mu R_1) + D Y_1(\mu R_1)], \\ c_3\gamma_3 (R_3^2 - R_2^2) m A_3 &= -2\lambda R_2 A_2 \mu [J_1(\mu R_2) + D Y_1(\mu R_2)], \\ A_1 &= A_2 [J_0(\mu R_1) + D Y_0(\mu R_1)], \\ A_3 &= A_2 [J_0(\mu R_2) + D Y_0(\mu R_2)]. \end{aligned} \right\} \quad (2)$$

где  $c_1$ ,  $c_3$  и  $\gamma_1$ ,  $\gamma_3$ —соответственно удельные теплоемкости и удельные веса внутреннего и внешнего цилиндров;

$\lambda$ —теплопроводность теплоизолятора.

Из уравнений (2) после некоторых преобразований для коэффициента теплопроводности теплоизолятора получим

$$\lambda = \frac{c_1\gamma_1 R_1 m}{2\mu} \frac{[J_0(\mu R_1) Y_1(\mu R_2) - J_1(\mu R_2) Y_0(\mu R_1)]}{[J_1(\mu R_1) Y_1(\mu R_2) - J_1(\mu R_2) Y_1(\mu R_1)]} + \frac{c_3\gamma_3}{c_1} \frac{R_3^2 - R_2^2}{2R_2} \cdot \mu \frac{[J_0(\mu R_1) Y_0(\mu R_2) - J_0(\mu R_2) Y_0(\mu R_1)]}{[J_1(\mu R_1) Y_0(\mu R_2) - J_0(\mu R_2) Y_1(\mu R_1)]} + \frac{c_3\gamma_3}{c_1} \frac{R_3^2 - R_2^2}{2R_2} \cdot \mu \frac{[J_1(\mu R_1) Y_0(\mu R_2) - J_0(\mu R_2) Y_1(\mu R_1)]}{[J_1(\mu R_1) Y_0(\mu R_2) - J_0(\mu R_2) Y_1(\mu R_1)]}, \quad (3)$$

где  $c$  и  $\gamma$ —удельная теплоемкость и удельный вес теплоизолятора (исследуемого слоя).

Уравнение (3) является уравнением теплопроводности для цилиндрического трикалориметра (прибора с трехсоставным цилиндром), с помощью которого можно определить  $\lambda$  исследуемого слоя.

На основе уравнения цилиндрического трикалориметра при  $R_1 = R_2$ , используя асимптотическое представление функций Бесселя получаем уравнение теплопроводности для плоского трикалориметра:

$$\lambda = \frac{c_1\gamma_1 h m \frac{\operatorname{tg}(\mu\delta)}{\mu}}{1 + \frac{C_1}{C_3}}, \quad (4)$$

Здесь  $c_1$ ,  $\gamma_1$ ,  $h$  и  $C_1$ —соответственно удельная теплоемкость, удельный вес, толщина и общая теплоемкость первой пластины;

$C_3$ —общая теплоемкость второй пластины трикалориметра;  
 $\delta$ —толщина исследуемого слоя.

Как частный случай из уравнений (3) и (4) могут быть получены соответствующие уравнения для цилиндрического и плоского бикалориметров.

Если  $R_3 \rightarrow \infty$ , т. е. когда общая теплоемкость внешнего цилиндра бесконечно большая, из уравнения (3) последует, что

$$\lambda = \frac{c_1\gamma_1 R_1 m}{2\mu} \frac{J_0(\mu R_1) Y_0(\mu R_2) - J_0(\mu R_2) Y_0(\mu R_1)}{[J_1(\mu R_1) Y_0(\mu R_2) - J_0(\mu R_2) Y_1(\mu R_1)]}, \quad (5)$$

т. е. уравнение цилиндрического бикалориметра. Оно было получен ранее другим путем А. Ф. Чудновским [2].

Для случая, когда теплоемкость второй пластины чрезвычайно велика ( $C_3 \rightarrow \infty$ ), согласно уравнению (4)

$$\lambda = c_1\gamma_1 h m \frac{\operatorname{tg}(\mu\delta)}{\mu}. \quad (6)$$

Уравнение (6) впервые было выведено иным путем Г. Б. Симоновым [1] для симметричного плоского бикалориметра.

В практических расчетах пользование уравнениями (3) и (4) весьма затруднительно, в связи с чем упрощение этих уравнений приобретает особый интерес.

Когда исследуемое вещество является газом, имеющим незначительную объемную теплоемкость ( $c_1$ ), величина  $\mu \rightarrow 0$  и уравнение (3) после некоторых математических преобразований представится в следующем виде

$$\lambda = \frac{k c_1 \gamma_1 R_1 m \delta}{2 \left(1 + \frac{C_1}{C_3}\right)}, \quad (7)$$

$$\text{где } k = \frac{R_1}{\delta} \ln \frac{R_2}{R_1},$$

$C_1$  и  $C_3$ —общая теплоемкость внутреннего и внешнего цилиндров. В случае, когда внутренний и внешний цилинды имеют одинаковые материалы и вес, то  $\theta_1 = -\theta_3$ . Такой трикалориметр будет называться равновесным. Для него уравнение теплопроводности принимает вид

$$\lambda = \frac{k c_1 \gamma_1 R_1 m \delta}{4}. \quad (8)$$

Для плоского трикалориметра при  $\mu \rightarrow 0$  из уравнения (4) следует:

$$\lambda = \frac{c_1 \gamma_1 h m \delta}{1 + \frac{C_1}{C_3}}, \quad (9)$$

а если трикалориметр равновесный, то

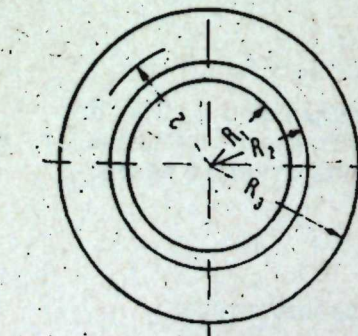
$$\lambda = \frac{c_1 \gamma_1 h m \delta}{2}. \quad (10)$$

Если учесть теплоемкость исследуемого слоя и использовать метод последовательных приближений вместо уравнений (7) и (9) соответственно получим:

$$\lambda = \frac{k c_1 \gamma_1 R_1 m \delta}{2 \left(1 + \frac{C_1}{C_3}\right)} \cdot \left[ 1 + \frac{2}{3 \left(1 + \frac{C_1}{C_3}\right) \sqrt{\frac{R_2}{R_1}}} \cdot \frac{\delta}{R_1} \cdot \frac{c_1 \gamma_1}{c_1 \gamma_1} \right], \quad (11)$$

$$\lambda = \frac{c_1 \gamma_1 h m \delta}{1 + \frac{C_1}{C_3}} \cdot \left[ 1 + \frac{1}{3 \left(1 + \frac{C_1}{C_3}\right)} \cdot \frac{\delta}{h} \cdot \frac{c_1 \gamma_1}{c_1 \gamma_1} \right], \quad (12)$$

Приведенные уравнения (11) и (12) просты и удобны для практического пользования.



Распределение температуры в трехсоставном цилиндре

## ЛИТЕРАТУРА

1. Симонов Г. Г. ЖТФ, XXIII, вып. 8, 1953. 2. Чудновский А. Ф. ЖТФ, XVI, вып. 2, 1946.

Азербайджанский политехнический институт

Поступило 28. VI 1964.

Ж. М. Назиев

## Мүнтээм режимин юни бир үсүлү - силиндрик трикалориметр шагында

### ХУЛАСЭ

Истилик просесинин үч чинсли силиндрдә мүнтээм режиминде температурларын пајланмасына әсасен силиндрик трикалориметр үчүн истиликечирмә тәнлиji (3) чыхарылып. Бу заман нәзәрдә тутулур ки, силиндрләр арасында температур сыйраяышы јохдур вә метал силиндрләрдә температур саһеси бәрабәрдир.

Мүәյҗән едилмишdir ки, (3) вә (4) тәнликләриндән истифадә етмәклә силиндрик вә мүстәви бикалориметрләр үчүн Чудновскиинин (5) вә Симоновун (6) тәнликләрини асанлыгla алмаг олар.

Мәгаләдә єни заманда (3) вә (4) тәнликләри несабат үчүн чох элверишил олан (11) вә (12) тәнликләри шәклинә салыныш, мұвази-нәти трикалориметрләр үчүн (8), (10) тәнликләри алынышды.

АЗӘРБАЙЧАН ССР ЕЛМЛӘР АКАДЕМИЯСЫНЫН МӘРҮЗӘЛӘРИ  
ДОКЛАДЫ АКАДЕМИИ НАУК АЗЕРБАЙДЖАНСКОЙ ССР

ТОМ XXI

№ 4

1965

## ФИЗИКА

Г. Б. АБДУЛЛАЕВ, Н. И. ИБРАГИМОВ, Ш. В. МАМЕДОВ, Т. Ч. ДЖУВАРЛЫ

### О СОСТОЯНИИ ПРИМЕСИ Mn в Se

По влиянию примесей на физические свойства селена имеются противоречивые данные, что, по-видимому, связано с взаимодействием примесей и комплексообразованием. Это приводит к изменению состояния и параметров примесных уровней, определяющих свойства селена.

В случае, когда примесями являются магнитные ионы, важную информацию о поведении примесей можно получить методом paramagnитного резонансного поглощения. Нами изучено состояние примеси Mn в Se чистотой 99,9999% методом ЭПР на стандартном радиоспектрометре на частоте 9302 мгц. Концентрация примеси изменилась в пределах 2 ± 0,001 вес. %, которая вводилась в виде металлического порошка или соединения MnSe.

Селен с примесью в кварцевых откаченных ампулах отжигался при 300°C с частым перемешиванием в течение 10 часов. Затем образцы были закристаллизованы.

Предполагая возможность образования комплексов при введении примеси, для контроля исследовалось ЭПР поглощение в специально синтезированном соединении MnSe. Была получена одна линия с  $g = 2,00$  и  $\Delta H_{\max} = 175 \pm 5$  э, что соответствует ширине на полувысоте [1]  $\Delta H_{1/2} = 300$  э. Этот результат не совпадает с данными [2,3], которые для MnSe при комнатной температуре получили  $\Delta H_{1/2} = 500$  э. Такое же расхождение с результатами [2,3] для MnS получено в [4]. Вероятно, это связано с несовершенством экспериментальной установки, примененной в [2,3].

В селене с содержанием примеси от 2 до 0,001 вес. % наблюдается линия поглощения с такими же параметрами, что и у MnSe (рис. 1a). Отметим, что количество Se во всех образцах было одинаковым, варьировалось количество Mn. С уменьшением концентрации Mn интенсивность падает и при 0,001 вес. % сигнал не обнаруживается.

Сравнение линий поглощения, полученных от контрольного образца MnSe и от Se с примесью, позволяет утверждать, что атомы Mn связываются с Se, образуя комплекс типа MnSe. При этом предполагается, что два внешних электрона Mn вступают в связь с двумя соседними концами селеновых цепей, т. е. примесь Mn находится в Se в виде двухкратно ионизованного атома. Такое состояние примеси должно привести к уменьшению концентрации дырок и, следовательно, электропроводности селена.

С понижением температуры интенсивность сигнала уменьшается но остается некоторое слабое поглощение при температуре жидкого азота. Это указывает на то, что происходит магнитное упорядочение, которое может иметь место в областях селена с повышенной концентрацией примеси, что, вероятно, обусловлено ограниченностью растворимости Mn в Se. Слабый парамагнетизм при  $-195^{\circ}\text{C}$ , по-видимому, вызван растворенной частью Mn в Se, которую можно представить в виде молекулярного образования...  $\text{Se} = \text{Mn} = \text{Se}...$

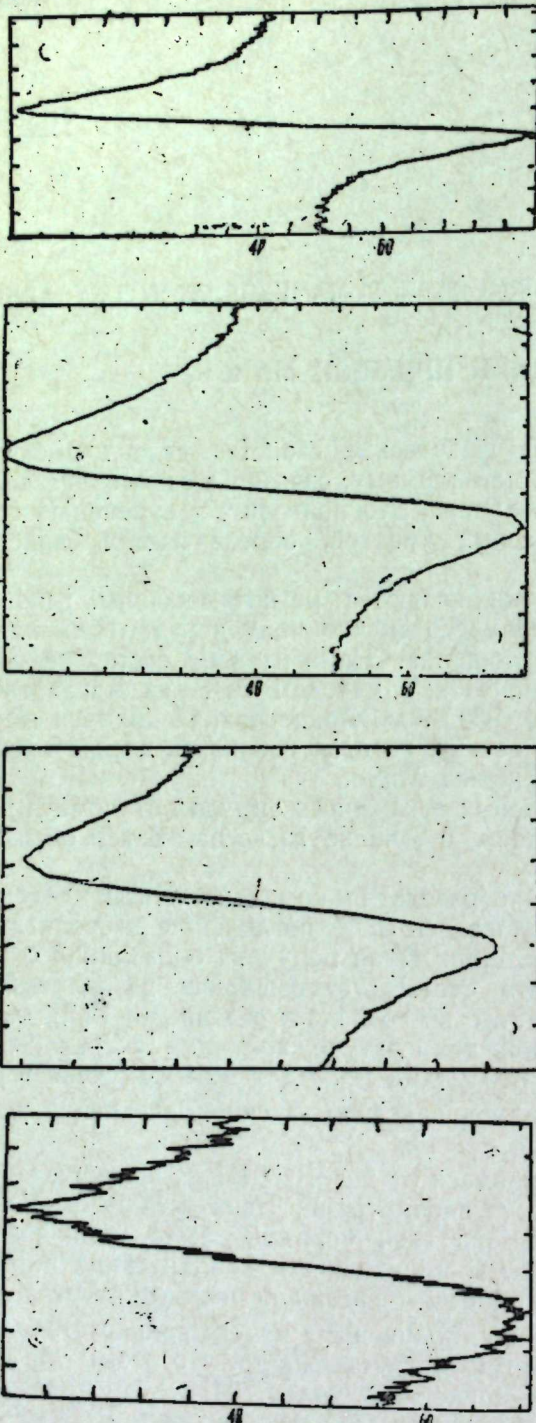


Рис. 1 Спектр ЭПР поглощения  $\text{Se} \pm 0,18$  вес. % Mn при  $T$  ком. после отжига при  $300^{\circ}\text{C}$  в течение 10 ч (a) и  $750^{\circ}\text{C}$  в течение 10 мин. (b), 1 ч (c) и 4 ч (d).

14

Следует отметить, что при одинаковом процентном содержании Mn в Se интенсивность сигнала от образцов, в которые примесь вво-

дилась в виде MnSe, больше, чем от образцов с примесью металлического Mn. Вероятно, не весь металлический Mn образует комплексы. В самом деле, на поверхностном слое крупинок Mn (размером  $\sim 50 \div 80 \mu\text{m}$ ) при  $300^{\circ}\text{C}$  образуется пленка MnSe, которая замедляет дальнейшее течение процесса. Повышение температуры отжига должно ускорить вышеуказанный процесс—интенсивность сигнала должна увеличиться (при комнатной температуре). Отжиг при  $750^{\circ}\text{C}$  в течение 2 мин действительно приводит к увеличению интенсивности сигнала и ширины линии до 260 э. При дальнейшем отжиге сперва наблюдается увеличение интенсивности и ширины линии до 320 э (рис. 1б) и затем (после 30 мин отжига) их уменьшение ( $\Delta H_{\max} \approx 220$  э) (рис. 1в и г). После 6 ч отжига парамагнитное поглощение не наблюдается. Продолжительность отжига, при котором сигнал исчезает, зависит от количества введенной примеси. При концентрации 0,05 вес. % линия исчезает за 3 мин, при 0,1 вес. % — за 15 мин, а при 0,2 вес. % — за 6—7 ч.

Увеличение интенсивности и ширины линии поглощения в начале отжига дает основание предположить, что происходит дальнейшее образование комплексов MnSe, но наряду с этим и образование MnO за счет имеющегося в селене кислорода. Анализ ширины линии показывает, что количество MnO по сравнению с MnSe, незначительно. Дополнительный отжиг приводит к дальнейшему возрастанию интенсивности и ширины линии, что указывает на увеличение количества MnO в системе. Последующее уменьшение интенсивности и ширины линии с отжигом может быть вызвано переходом MnSe в MnO и окислением MnO до  $\text{MnO}_2$  (или  $\text{Mn}_2\text{O}_3$ ).

Несмотря на большую активность кислорода при  $300^{\circ}\text{C}$  образуется все же MnSe, так как вероятность встречи Mn с кислородом в селене значительно меньше, чем с самим селеном. При  $750^{\circ}\text{C}$  вероятность встречи с кислородом растет.

При продолжительном отжиге образцов с содержанием Mn в 0,5 вес. % и выше оказалось, что интенсивность линии падает до определенного значения и остается неизменной.

Была произведена оценка количества кислорода в селене по тому предельному процентному содержанию примеси Mn, при котором отжиг приводит к исчезновению линии поглощения. Оказалось, что селен 99,9999% чистоты содержит около 0,1 вес. % кислорода.

## ЛИТЕРАТУРА

1. Блюменфельд Л. А., Воеводский В. В., Семенов А. Г. Применение ЭПР в химии. Изд. Сиб. отд. АН СССР, 86, 1962.
2. Maxwell L. R. and Mc Guire, Rev. Mod. Phys., 25, 279, 1953.
3. Okamuro, Togizuka, Koima. Phys. Rev., 82, 285, 1951.
4. Панфилов В. В., Верещагин Л. В. ДАН, СССР, 1964, 154, 4.

Институт физики

Поступило 24. VII 1964

Н. Б. Абдуллаев, Н. И. Ибраһимов, Ш. В. Мәммәдов, Т. Ч. Чуварлы

Мп ашгарларының селенде вәзијјәти һағында

## ХУЛАСЭ

Тәмизлиji 99,9999% олан селен 2-0,001 чәки % Mn вурулуш вә-электрон, парамагнит үдулма үсулу илә ашгар атомларының вә-зијјәти өјрәнилмишdir. Мүәјјән едилмишdir ки, дәмләмә иәтичәсинде MnSe типли комплекс әмәлә қәлир.

750°C-дэ узунмүддэти дэмлэмэ парамагнит удуулма хэттинин јох олмасына кэтириб чыхарыр. Бу онуила изаң олуна билэр ки, јүксөк температурларда MnSe селендэ олан оксикин несабына MnO<sub>2</sub>-Ja, бу исэ өз нөвбэсиндэ MnO<sub>2</sub>-Ja (вэ ја Mn<sub>2</sub>O<sub>3</sub>-Э) чеврилир.

Сигналын итмэснэ ујгун кэлэн дэмлэмэ мүддэти дахил едилмиш Mn-нын мигдарындан асылыдыр. Селендэ олан оксикини мигдары дэмлэмэ иэтчэснэдэ удуулма хэттинин јох олмасына ујгун кэлэн Mn ашгарынын фазэ мигдарына көрө гијмэтлэндирлишидир.

Муэjjэни едилмишидир ки, тэмизлиж 99,99999% олан селендэ тэгрибэн 0,1 чәки % оксикин вардыр.

А.Л. М. КУЛИЕВ, А. М. ТАБАТАБАИ, Г. З. АЛЕКПЕРОВ,  
А. Г. ИСМАЙЛОВ, Л. Г. САРКИСОВА

## РАЗДЕЛЕНИЕ ПРИРОДНОГО ГАЗА В „КИПЯЩЕМ“ СЛОЕ АДСОРБЕНТА ПОД ДАВЛЕНИЕМ

(Представлено академиком АН Азербайджанской ССР М. Ф. Нагиевым)

В наши дни химия развивается большими темпами. Майский план ЦК КПСС (1958 г.) наметил величественную программу ускоренного развития химической промышленности. В 1959—1965 гг. предусматривается увеличить выпуск важнейших химических продуктов не менее чем в 2—3 раза, а пластических масс, искусственных и синтетических волокон в 4,5—8 раз.

В дальнейшем химическая промышленность будет развиваться быстрее, чем другие отрасли народного хозяйства.

Для обеспечения бурного развития химической промышленности необходимо иметь дешевые сырьевые базы с огромными запасами. Самое дешевое сырье—природные и попутные нефтяные газы. Запасы природного газа в нашей стране очень большие. Только по месторождениям—Поволжье (8200 млрд м<sup>3</sup>), Средний Кавказ (7000 млрд м<sup>3</sup>), Туркменская ССР (7000 млрд м<sup>3</sup>) прогнозные запасы газа составляют 22 200 млрд м<sup>3</sup>.

На основе больших запасов природного газа в стране предусматривается довести добычу и производство газа 1980 г. до 720 млрд м<sup>3</sup>.

Использование природного газа—самого дешевого сырья в химической промышленности, даст большую экономию в народном хозяйстве и обеспечит быстрые темпы развития отраслей промышленности нашей страны.

Природные газы содержат значительное количество ценных углеводородов, на базе которых создается производство синтетического спирта, каучука, волокна и других полимерных материалов. Кроме того углеводороды—пропан и бутан используются для производства сжиженного газа.

Продукты, получаемые на базе этих газов в широком масштабе применяются для целей большой химии; а также и в других отраслях народного хозяйства страны. Использование этих газов, как химического сырья и топлива, по сравнению с нефтью и особенно с углем более эффективно и дает большую экономию [1, 2, 3, 4, 5].

Промышленные объекты, как известно, не всегда находятся вблизи газовых месторождений, поэтому транспортировка огромного количества газа на большие расстояния в крупные промышленные районы является одним из важных вопросов.

Огромное значение при подготовке газа к дальнему транспорту, а также для обеспечения сырьем химической промышленности и топливом народного хозяйства имеют новые адсорбционные процессы разделения и отбензинивания природного газа с целью улавливания влаги и выделения бензинов, пропана, бутана.

Адсорбционные методы в отличие от процессов маслобензинизации и низкотемпературной сепарации могут с успехом применяться для разделения "бедных" природных газов с содержанием бензина до 50 г/нм<sup>3</sup>.

В данной статье рассматриваются некоторые результаты исследований, проводимых нами с целью извлечения метана и широкой фракции этана, пропана, бутана и бензина под давлением 5 атм. Опыты проводились на непрерывно-действующей установке в кипящем слое движущегося адсорбента [6, 7]. Сырье для установки является природный газ Карадагского газоконденсатного месторождения следующего состава:  $C_1=91,7$ ;  $C_2=3,9$ ;  $C_3=2,4$ ;  $C_4=1,7$ ;  $C_{5+}=0,3$ .

Сыре из линии природного газа компрессором под давлением 5 атм подается в адсорбер, где встречается с активированным углем и создает в нем кипящий слой. Неадсорбированные газы, состоящие в основном из метана, отводятся с верха адсорбера. Насыщенный углеводородами активированный уголь через сливные трубы адсорбера спускается в ректификатор и десорбер.

В ректификаторе с поверхности адсорбента за счет тепла газов десорбции происходит частичная десорбция легких углеводородов.

Проходя все тарелки ректификатора уголь поступает в десорбер, где при температуре 250—320° происходит десорбция с поверхности угля ранее поглощенных углеводородов.

Продукты десорбции в зависимости от режима установки отводятся с верха и середины десорбера.

Регенерированный адсорбент, проходя холодильник, охлаждается до температуры 30—40° и транспортируется в адсорбер.

Таким образом, завершается цикл работы. Подача газа на транспорт осуществляется специальным циркуляционным компрессором. В зависимости от режима, установка может работать, как в "замкнутом" цикле циркулирующего газа на транспорт угля, так и в "открытом" цикле.

Схема работы установки в "замкнутом" цикле циркулирующего газа на транспорт адсорбента существенно отличается от схемы работы при "открытом" цикле.

При "открытом" цикле работы для циркуляции адсорбента сырьевый газ забирается циркуляционным компрессором, подается в транспортную линию и после транспортировки угля через безударный сепаратор отводится с установки.

По такой схеме установка может работать на режиме отбензинивания природного газа с получением широкой фракции этана, пропана, бутана и бензина. При "открытом" цикле газ из адсорбера, состоящий в основном из метана, встречаясь в безударном сепараторе с транспортирующим агентом — сырьевым газом, загрязняется. Поэтому при работе установки по этой схеме получение метана высокой чистоты сильно затрудняется. Отличие работы установки в "замкнутом" цикле циркулирующего газа заключается в том, что часть газа, необходимая для транспорта адсорбента, по выходе из безударного сепаратора возвращается на прием циркуляционного компрессора. Таким образом, циркуляционный компрессор берет газ только отходящий с верха безударного сепаратора. По составу этот газ не отличается от состава газа из адсорбера, т. е. он является составной частью того же газа, отводимого с верха адсорбера. Благодаря этому, при опти-

мальном режиме установки становится возможным получить метан высокой чистоты.

Схема транспортировки угля при "замкнутом" цикле циркулирующего газа следующая: отходящий газ из безударного сепаратора поступает в фильтр предварительной очистки, где задерживаются крупные частицы адсорбента. Затем газ поступает в секцию металлокерамических фильтров, что позволяет полностью очистить газ от пыли. Очищенный газ в дальнейшем поступает на прием циркуляционного компрессора, и по ходу в транспортную линию для продувки металлокерамического фильтра [8].

Разделение природного газа вышеуказанного состава на фракцию этана, пропана, бутана и бензина проводили под давлением 5 атм. Температура в десорбере была порядка 250—320°С. Для адсорбции подавали газ в количестве 25 нм<sup>3</sup>/ч.

Количество циркулирующего адсорбента — угля — 100 кг/ч. Таким образом, отношение угля к газу составляло 4 кг/нм<sup>3</sup>. Содержание бензина в исходном природном газе было незначительным — 11,5 нм<sup>3</sup>, и как показали проведенные опыты, его выделение не представляло особой трудности. Поэтому с целью изучения разделения природного газа на широкую фракцию со значительным содержанием в нем бензина проводили специальные опыты, искусственно обогащая газ конденсатом из Карадагского месторождения фракционным составом 38—184°С. Количество конденсата — газового бензина без учета имеющегося бензина в адсорбируемом газе доводили от 20 до 35 г/нм<sup>3</sup>. Таким образом, общее содержание бензина в газе составляло 30—45 г/нм<sup>3</sup>. Количество отводимого из десорбера газа установили, исходя из расчета содержания широкой фракции в составе сырья и на основании проведенных нами ранее опытов [6, 9, 10]. Установка работала при "замкнутом" цикле транспортирующего газа. Результаты опытов по разделению природного газа на широкую фракцию от  $C_2$ — $C_5$  приводятся в табл. 1.

Таблица 1  
Разделение природного газа на широкую фракцию при отношении угля к газу, 4 кг/нм<sup>3</sup>

№ п/п	Отвод из десорб., нм <sup>3</sup> /ч	К-во бензина, г	Состав отходящего газа, об. %					% извлечения			
			$C_1$	$C_2$	$C_3$	$C_4$	$C_5$	$C_2$	$C_3$	$C_4$	$C_{5+}$
1	2,0	30	96,2	3,1	0,6	0,1	—	27	77	95	100
2	2,0	45	96,2	3,0	0,6	0,2	—	29	77	89	100
3	2,0	35	96,3	2,1	0,9	6,2	—	52	66	90	100
4	2,5	32	97,0	2,3	0,5	0,2	—	47	81	90	100
5	2,5	35	97,4	2,0	0,4	0,2	—	54	85	90	100
6	2,5	45	97,5	2,2	0,2	0,1	—	58	93	95	100

Данные табл. 1 показывают, что в вышеуказанных условиях и при отводе из десорбера 2—2,5 нм<sup>3</sup>/ч газа в составе отходящего газа полностью отсутствует  $C_5$ , следовательно извлечение бензина составляет 100%.

Искусственное увеличение содержания бензина в исходном сырье до 45 г/нм<sup>3</sup>, как видно из таблицы, не ухудшает результаты процесса разделения. При этом в значительной степени извлекаются также бутан, пропан и этан. Извлечение бутана в этих условиях составляет 90—95%, пропана, 70—90, этана 30—50. Из приведенных данных табл. 1 видно, что для полного извлечения бутана из состава сырья

необходимо увеличить количество циркулирующего адсорбента. Данные, полученные при весовом отношении угля к газу, 6 кг/н<sup>3</sup>, показывают, что при стабильном режиме работы установки увеличение количества циркулирующего адсорбента позволяет 100%-ное извлечение бутана.

Таблица 2  
Разделение природного газа на широкую фракцию при отношении угля к газу, 6 кг/н<sup>3</sup>

№ п/п	Отвод из десорб. н <sup>3</sup> /ч	К-во бензина, г	Состав отходящего газа об. %					% извлечения			
			C <sub>1</sub>	C <sub>2</sub>	C <sub>3</sub>	C <sub>4</sub>	C <sub>5</sub>	C <sub>2</sub>	C <sub>3</sub>	C <sub>4</sub>	C <sub>5+</sub>
1	2,0	32	97,6	2,2	0,2	—	—	48	93	100	100
2	2,0	35	97,8	1,9	0,3	—	—	56	39	100	100
3	2,0	45	98,1	1,6	0,3	—	—	67	88	100	100
4	2,5	32	98,4	1,3	0,3	—	—	70	89	100	100
5	2,5	35	98,4	1,4	0,2	—	—	68	92	100	100
6	2,5	45	98,9	0,7	0,4	—	—	84	85	100	100

Как видно из данных табл. 2 в составе отходящего газа из адсорбера полностью отсутствует как бензин, так и бутан. Одновременно увеличение отношения угля к газу приводит к увеличению процента извлечения этана и пропана. Извлечение этана составляет 50–80%, пропана 85–93%. В отходящем из адсорбера газе чистота метана достигает 98–99%.

Таким образом, при оптимальном режиме установки из природного газа одновременно можно извлечь бензина и бутана 100%, пропана до 93%, этана до 84%. При этом получается метан чистотой 98,9%.

#### Выводы:

1. На установке под давлением 5 атм получена широкая фракция C<sub>2</sub>–C<sub>5</sub>.
2. Процент извлечения пропана доходил до 93 и этана—84.
3. Получено 100%-ное извлечение бутана и бензина.
4. Чистота метана в отходящем газе составляла 98,9%.

#### ЛИТЕРАТУРА

1. Афанасьев А. Н. Жур. „Газовая промышленность“, 1964, № 3. 2. Бень И. И. „Газовое дело“, 1963, № 10. 3. Борисович Г. Ф., Прутинев Н. А. Хохряков П. А. Углеводородные газы — сырьевые ресурсы нефтехимии. Гостоптехиздат, 1960.
4. Вальберг Г. С. Природный газ в цементной промышленности. Гостоптехиздат, 1962.
5. Газовая промышленность — мощная база развития Большой химии. „Газовая промышленность“, 1964, № 1.
6. Кулиев Ал. М. и др. „АНХ“, 1963, № 7. 7. Кулиев Ал. М. и др. „Азерб. хим. жур.“, 1963, № 4. 8. Кулиев Ал. М. и др. „ДАН Азерб. ССР“, 1963, т. XIX, № 8. 9. Кулиев Ал. М. и др. „Газовая промышленность“, 1963, № 12. 10. Кулиев Ал. М. и др. „Газовая промышленность“, 1964, № 1.

ИНХП

Поступило 2. III 1964

Эл. М. Гулиев, А. М. Табатабаи, Г. З. Элэкбэров, А. Г. Исмаилов,  
Л. В. Сәркисова

Тэбии газын адсорбентин „гајнар“ лајында тэзжиг алтда  
фраксијалара ажрылмасы

#### ХУЛАСЭ

Тэркиби C<sub>1</sub>=91,7; C<sub>2</sub>=3,9; C<sub>3</sub>=2,4; C<sub>4</sub>=1,7; вэ C<sub>5</sub>=0,3 олан Гарадаг газконденсат мэдниний тэбии газы дайм нээрэктэдэ олан адсор-

бентин „гајнар“ лајында 5 атм тэзжигдэ фасилэсиз сурэтдэ ишлэжэн гургууда етан, пропан, бутан вэ бензин фраксијасына ажрылмышдыр.

Бу вахт десорбердэ температур 250–320°C, адсорбентин газа нисбэти ислэх 4 кг/н<sup>3</sup> олмушдур.

Тэбии газа — хаммала элавэ едилмиш, фраксија тэркиби 38–184°C олан газ бензининий мигдары 20–35 г/н<sup>3</sup> олмушдур.

Алынан нэтичэлэр көстэрмишдир ки, бу шэрантдэ тэбии газы, бензин 100%, бутаны 90–95%, пропаны 70–90% вэ етаны 30–50% чыхармагла ики фраксија алмаг мүмкүндүр.

Гургууда нэмийн шэрантдэ көмүрүн газа олан нисбэти ислэх 6 кг/н<sup>3</sup>-ээ гэдэр артырдыгда тэбии газдан бензин 100%, бутаны 100%, пропаны 85–93%, етаны ислэх 50–80% ажрыб чыхармаг мүмкүн олмушдур. Бу заман адсорбција олунмајан газын тэркибиндэ метанын тэмизлији 98–99%-ээ чатмышдыр.

Белэлклэ, гургунун оптимал иш шэрантиндэ тэбии газдан бензин вэ бутаны 100%, пропаны 93%, етаны ислэх 84%-ээ гэдэр ажрыб чыхармаг олур.

ОРГАНИЧЕСКАЯ ХИМИЯ

Б. К. ЗЕЙНАЛОВ, Р. М. АЛИЕВ

**СИНТЕЗ СЛОЖНЫХ ЭФИРОВ (ПЛАСТИФИКАТОРОВ)  
НА ОСНОВЕ ЦИКЛОГЕКСИЛКАРБИНОЛА  
И СИНТЕТИЧЕСКИХ КИСЛОТ**

(Представлено академиком АН Азербайджанской ССР М. А. Далинам)

В предыдущих сообщениях были найдены оптимальные условия синтеза эфиров циклогексанола, циклогександиола и установлены их пластифицирующие свойства [6, 7]. Продолжая работу в этом направлении, нами были выработаны условия синтеза ряда сложных эфиров на базе циклогексилкарбинола и индивидуальных синтетических кислот от  $C_1$  до  $C_{10}$  и товарными фракциями  $C_5-C_6$ ,  $C_7-C_9$ , показатели которых приводятся в сообщениях [6, 7].

Некоторые из этих кислот могут быть получены прямым окислением мягкого парафина [1, 3, 4, 5]. В литературе известна температура кипения лишь ацетилциклогексилкарбинола [8]. Циклогексилкарбинол был синтезирован по методу [10] с некоторыми изменениями: с целью улучшения процесса деполимеризации параформа между реакционными колбами Гриньара и параформом устанавливается электронагреватель. Константы циклогексилкарбинола, приведенные в табл. 1, показывают, что мы имеем дело с индивидуальным продуктом.

Таблица 1

По данным	Температура кипения, °C	$d_4^{20}$	$n_D^{20}$
Литературным [8]	182 88–89 (23 мм) 91 (18 мм)	0,9280	1,4649
Наши	81–83 (16 мм)	0,9286	1,4657

Был установлен следующий режим синтеза сложных эфиров циклогексилкарбинола: соотношение циклогексилкарбинола, жирных кислот 0,8 : 1 (в молях), время—3 часа, температура 130°, катализатор [2]—96%-ный  $H_2SO_4$ —4%, а по отношению к циклогексилкарбинолу: азеотропообразующее вещество [9]—толуол 2,5 (весовых) больше циклогексилкарбинола. Выход эфиров по отношению к циклогексил-

карбинолу составляет 65–85%. Количество образующейся воды—90% от теоретического.

Сложные эфиры циклогексилкарбинола представляют собой бесцветные маслянистые жидкости приятного эфирного запаха, в воде не растворяются, хорошо растворяются в спирте, серном эфире, бензole, ацетоне и дихлорэтане.

Основные физико-химические показатели, а также результаты микроэлементарного анализа эфиров приводятся в табл. 2.

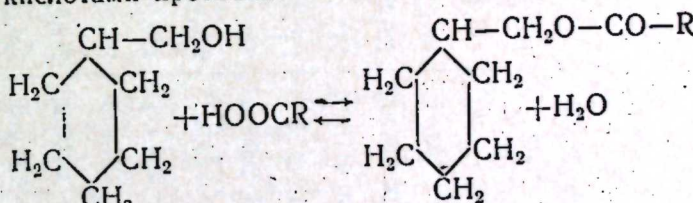
**ЭКСПЕРИМЕНТАЛЬНАЯ ЧАСТЬ**

Навеску высушанных исходных веществ помещают в 0,2-литровую трехгорловую круглодонную колбу, снабженную ртутным затвором, мешалкой, обратным холодильником с водоотделителем, верхний конец которого обеспечен хлоркальциевой трубкой.

Температуру реакций до 130°C поднимают в течение 50–60 минут. Реакционную смесь нагревают при 130°C в течение 2 часов.

Наступление равновесного состояния устанавливают определением кислотного числа во взятых пробах. После окончания реакций смесь охлаждают до 35–40°C, переносят в делительную воронку, промывают 2–3 раза теплой водой и нейтрализуют 5%-ным раствором едкого кали. Избыток щелочи промывают до отрицательной реакции. При этом образуется два слоя: верхний—эфирный и нижний—водный.

Эфирный слой отделяют и просушивают над 1 г безводного сернокислого натрия в течение 3–4 часов. Затем сырец (смесь эфиров) подвергают вакуумной перегонке, выделяют целевую фракцию и анализируют. Реакция этерификации между циклогексилкарбинолом и жирными кислотами протекает по общей схеме:



где R—алифатический радикал

**Получение бутирил циклогексилкарбинола**

Смесь 9,12 г циклогексилкарбинола, 8,5 г и. масляной кислоты, 0,365 г 96%-ной серной кислоты и 30 мл толуола при перемешивании нагревают на электрической плите при 120–125°C в течение 2 часов. После обработки, как указано выше, выделено 12,3 г (84,2%) бутирил циклогексилкарбинола.

Аналогичным образом были получены формил, ацетил, пропионил, валерианил, капронил, энантил, каприлил, пеларгонил, капринил циклогексилкарбинола, а также сложные эфиры на основе циклогексилкарбинола и товарных фракций  $C_5-C_6$ :  $C_7-C_9$ .

Один из синтезированных нами эфиров—валерианил циклогексилкарбинола—был подвергнут предварительному фармакологическому исследованию на кафедре фармакологии Азербайджанского государственного медицинского института им. Н. Нариманова (зав. кафедрой проф. Г. Б. Аллахвердибеков).

При этом установлено, что введение в вену кролика 0,5 мл этого вещества резко угнетает сердечную деятельность животного. В тех же дозах вещество вызывает понижение кровяного давления.

Сложные эфиры циклогексилкарбинала

R	Bmax, %	Temperatura kипения, °C	Oсторожное напряжение KOH, mV <sup>2</sup> /2	Oсторожное напряжение KOH, mV <sup>2</sup> /2	Молекулярный вес МРД		Найдено, %			Вычислено, %		
					Найдено	Вычислено	Найдено	Вычислено	С	Н	О	С
H	65,0	49—51	3,5	393,5	0,9787	1,4469	142,96	142,206	38,715	38,428	67,41	10,01
CH <sub>3</sub> *	68,1	55—57	2,5	358,7	0,9588	1,4451	155,81	156,23	43,364	43,026	69,43	9,98
C <sub>2</sub> H <sub>5</sub>	70,6	64—66	3,0	327,8	0,9479	1,4465	171,012	170,258	47,935	47,624	70,81	10,33
C <sub>3</sub> H <sub>7</sub>	84,2	77—79	3,0	303,9	0,9367	1,4471	183,64	184,27	52,558	52,222	70,90	10,90
C <sub>4</sub> H <sub>9</sub>	85,4	81—83	2,0	280,5	0,9269	1,4479	199,102	198,26	57,213	56,820	72,31	11,29
C <sub>5</sub> H <sub>11</sub>	78,5	75—77	1,0	266,5	0,9231	1,4490	211,709	212,32	61,686	61,418	73,20	11,20
C <sub>6</sub> H <sub>13</sub>	66,8	120—122	5,0	246,8	0,9165	1,4501	227,205	226,36	66,352	66,016	73,98	11,69
C <sub>7</sub> H <sub>15</sub>	66,0	126—128	4,5	232,5	0,9140	1,4515	239,874	240,374	70,878	70,614	75,01	11,87
C <sub>8</sub> H <sub>17</sub>	70,0	140—142	4,5	220,6	0,9090	1,4530	253,904	254,414	75,602	75,212	75,41	12,09
C <sub>9</sub> H <sub>19</sub>	79,9	154—156	2,5	208,7	0,9058	1,4540	269,111	268,440	80,238	79,810	76,49	12,33
C <sub>5</sub> —C <sub>6</sub> I	22,07	81—98	2,5	255,7	0,9317	1,4493	195,703	198,26	57,067	56,820	71,80	10,86
II	44,15	99—124	2,5	255,6	0,9221	1,4500	215,102	212,32	61,755	61,418	74,02	11,98
C <sub>7</sub> H <sub>6</sub> I	25,7	99—120	2,0	245,2	0,9210	1,4510	225,016	226,36	66,093	66,016	73,11	11,64
II	19,2	121—131	2,0	231,8	0,9172	1,4518	239,513	240,374	70,635	70,614	75,37	12,03
III	28,6	132—146	2,0	221,3	0,9116	1,4530	255,994	254,414	75,407	75,212	76,04	12,11
											11,85	C <sub>16</sub> H <sub>30</sub> O <sub>2</sub>

\* В литературе темп. кип. 199—201°/740 м.м. (Словарь органических соединений, 1949, т. I, стр. 600).

## Выводы

1. Найдены условия синтеза формилового, ацетилового, пропионилового, бутирилового, валерианилового, капронилового, энантилового, каприлолового, пеларгонилового, капринилового эфиров циклогексилкарбинала.

Физико-химические константы этих эфиров впервые изучены нами.

2. Впервые осуществлена реакция этерификации между циклогексилкарбиналом и товарными фракциями синтетических жирных кислот C<sub>5</sub>—C<sub>6</sub> и C<sub>7</sub>—C<sub>9</sub> и охарактеризованы полученные эфиры.

## ЛИТЕРАТУРА

1. Алаев Б. С. Маньковская Н. Н. Шиман А. М. Производство синтетических жирных кислот. Пищепромиздат, 1960. 2. Долгов Б. Н. Катализ в органической химии. Госхимиздат, 1949, стр. 355. 3. Зейналов Б. К. Докторская диссертация. Баку, ИНХП АН Азерб. ССР, 1961. 4. Зейналов Б. К., Ахундов А. А., Казимов Б. А. Труды АзИНТИ, № 5, 1962. 5. Зейналов Б. К. Кинетика и химизм окисления парафинистого дистиллята и использование продуктов окисления в практике. Изд-во АН Азерб. ССР, 1959. 6. Зейналов Б. К., Алиев Р. М. Азербайджанский химический журнал, 1964 № 1, стр. 69. 7. Зейналов Б. К. Алиев Р. М. ДАН Азерб. ССР, 1964, № 5. 8. Словарь органических соединений, т. I, стр. 600. 9. Польский патент 39065, 30, 04, 56. 10. Синтезы органических препаратов. Под ред. акад. Казанского, 1956, сб. 1, стр. 515.

Поступило 26. V 1964

Институт нефтехимических процессов

Б. Г. Зейналов, Р. М. Элиев

Алифатик синтетик туршулар вэ тсиклоңексилкарбинол  
эсасында мүрәккәб етерләрин (пластификаторларын) синтези

## ХУЛАСЭ

Бү мәлumatда тсиклоңексилкарбинол эсасында синтез олунмуш мүрәккәб етерләрдән бәһс олунур.

Тәчрубләрдин нәтиҗәси көстәрик, тсиклоңексилкарбинол вэ синтетик яф туршулары эсасында алыныш мүрәккәб етерләр јаҳшыјумшалтма габилијәтинә малик олуб, полимер маддәләр истеңсалында мүвәффәгијәтлә тәтбиг олuna биләр.

ОРГАНИЧЕСКАЯ ХИМИЯ

М. И. АЛИЕВ, И. А. ШИХИЕВ, М. А. САЛИМОВ, Т. К. КУРБАНАЛИЕВА

**СИНТЕЗ КРЕМНИЙДИЕНОВЫХ ПРОИЗВОДНЫХ  
ЗАМЕЩЕННЫХ АРОМАТИЧЕСКИХ УГЛЕВОДОРОДОВ**

(Представлено академиком АН Азербайджанской ССР Р. Г. Исмайловым)

Как известно, алкилфенолы и их производные широко применяются в различных отраслях народного хозяйства для получения на их основе разнообразных синтетических смол, пластификаторов, присадок к смазочным маслам и т. д. Синтез и изучение реакционной способности непредельных алкилфенолов также представляет большой теоретический и практический интерес.

Еще в 1941 г. И. Н. Назаров с сотрудниками [1, 2] путем алкилирования фенола и крезола диметил- и метилэтилвинилилэтинилкарбинолами получили паразамещенные фенолы и крезолы винилацетиленового ряда.

В настоящее время в этой области, т. е. в области синтеза и превращения непредельных алкилфенолов и их производных, ведутся широкие исследования [3—10].

В настоящей статье освещаются результаты исследований по изучению реакции взаимодействия триэтилсилана с винилацетиленовыми фенолом, анизолом, квяяколом и о.-крезолом.

**ЭКСПЕРИМЕНТАЛЬНАЯ ЧАСТЬ**

**Синтез 5-метил-4-триэтилсилил-4-(4-гидроксифенил)-  
гексадиена-1,3 взаимодействием винилацетиленового  
фенола с триэтилсиланом (1)**

В трехгорлую колбу емкостью 150 мл, снабженную мешалкой, обратным холодильником и термометром, загружалось 19,0 г винилацетиленового фенола, 5-метил-5-(4-гидроксифенил)-гексен-1-ин-3 и 12 г триэтилсилана.

При перемешивании к смеси добавлялось 2 мл 0,1 N раствора  $H_2PtCl_6$ . При этом температура в реакционной среде поднялась на 2°.

Затем содержимое колбы было нагрето до 40—45° и к смеси добавлено еще 0,2 мл  $H_2PtCl_6$ . После добавления последней порции температура в реакционной смеси была поднята до 75—80° и смесь при этой температуре перемешивалась 2,5—3 часа. Содержимое кол-

№ пп	Формула	Название вещества	Т. кип. P, мин	Вы- ход, %	$n_D^{20}$	$d_4^{20}$	MRD			Найдено, %			Валовая формула	Вычислено, %
							Най- дено	Вы- числе- но	С	Н	Si	С	Н	Si
I		5-метил-4-три- этилсилил-5-(4- гидроксифенил)- гексадиен-1,3	142—144 (0,2)	64,8	0,9678	1,5336	97,04	96,80	74,96 74,91	10,48 10,33	9,74 9,50	$C_{19}H_{30}SiO$	75,18	10,28 9,24
II		5-метил-4-три- этилсилил-5-(4- метоксифенил) гексадиен-1,3	146—148 (1,2)	70,1	0,9540	1,5286	102,2	101,65	76,08 75,98	10,31 10,36	9,2 9,0	$C_{20}H_{32}SiO$	75,93	10,19 8,86
III		5-метил-4-три- этилсилил-5-(3- метоксифенил) гексадиен-1,3	132—134 (0,2)	68,6	0,9950	1,5338	103,2	103,79	72,44 72,36	9,75 9,55	9,3 9,1	$C_{20}H_{32}SiO_2$	72,23	9,96 8,46
IV		5-метил-4-три- этилсилил-5-(3- метил-4-гидро- ксифенил) гексадиен-1,3	155—157 (0,2)	62,5	0,9633	1,5260	100,85	101,43	76,12 76,0	10,29 10,31	9,32 9,51	$C_{20}H_{32}SiO$	75,93	10,19 8,86

бы подвергалось вакуумной перегонке. При этом выделено 20 г (64,8%) 5-метил-4-триэтилсилил-5-(4-гидроксифенил) гексадиен-1,3 (1) (см. таблицу).

В аналогичных условиях получены остальные три продукта—винилацетиленовые анизол, квајакол и о-крезол (II—IV), характеристика которых представлена в таблице.

Полученные продукты подвергались также спектроскопическому анализу, о чём подробно сообщим позднее.

Исследования в этом направлении продолжаются.

### Вывод

В итоге проведенной работы установлена возможность получения некоторых (I—IV) кремнийдиеновых производных замещенных ароматических углеводородов:

### ЛИТЕРАТУРА

1. Назаров И. Н., Кузнецова А. И., Изв. АН СССР, ОХН, 431, (1941).
2. Назаров И. Н., Готман Ф. Н., Изв. АН СССР, ОХН, 545, (1941).
3. Назаров И. Н., Кузнецова А. И., Изв. АН СССР, ОХН, 392, (1942).
4. Вартанян С. А., Варданян С. К. и Баданиян Ш. О., ЖОХ, 3188, (1962).
5. Вартанян С. А., Варданян С. К., Баданиян Ш. О., Изв. АН Арм. ССР, СХН, 13, 251, (1960).
6. Вартанян С. А., Баданиян Ш. О., Изв. АН Арм. ССР, СХН, 14, 477, (1961).
7. Rosenwald, R. H., Hoatson U. R., Cheneck J. A. Ind. Eng. Ch., 42, 162, (1950); Jones M. C., Jones A. R., Syrigickland B. R. Ind. Eng. ch., 44, 2722, (1952).
8. Ch. A., 45, 9299, (1951); Ch. A., 45, 8081, (1951); Ch. A., 42, 8212, (1948).
9. Kitchen L. I., Albert H. E., Smith E. P. Ind. Eng. ch., 42, 675, (1950).
10. Мизуч К. Г., Лапина Р. А., Хим. наука и пром., № 4, 592, (1959).

Институт нефтехимических процессов

Поступило 28. I 1964

М. И. Элиев, И. А. Шыхыев, М. А. Сэлимов, Т. К. Гурбанелиев

Эвээзедилмиш ароматик карбоидрокенлэрин силисиум-дијен төрэмэлэринин синтези

### ХУЛАСЭ

Мэглэдэ фенол, анизол, квајакол вэ о-крезолун виниласетилен төрэмэлэринэ триетилсиланын тэ'сири ёрэндилшидир.

Апарылан тэдгигат нэтичэсиндэ триетилсиланын  $H_2PtCl_6$ -нын иштиракы илэ көстэрилэн карбоидрокенлэрэ бирлэшмэси реаксијанын шэранти мүэjjэн едилмиш вэ онлара мұвағиг силисиум-дијен карбоидрокенлэри синтез едилшидир.

Бу саһэдэ тэдгигат давам етдирилир.

### ГЕОЛОГИЯ

Р. А. АГАМИРЗОЕВ, Т. А. ЗОЛОТОВИЦКАЯ

### О РАДИОАКТИВНОСТИ СОПОЧНОЙ БРЕКЧИИ ГРЯЗЕВЫХ ВУЛКАНОВ

(Представлено академиком АН Азербайджанской ССР Ш. Ф. Мехтиевым)

О радиоактивности сопочной брекции грязевых вулканов до настоящего времени почти ничего не известно. Имеются лишь некоторые данные о радиоактивности вод грязевых вулканов Азербайджана и Туркмении [6,1].

Поэтому мы при детальных исследованиях гамма-поля<sup>1</sup> в Бинагады-Хурдаланском районе (Апшеронский полуостров) особое внимание уделяли участкам распространения сопочной брекции грязевых вулканов Зигильпир, Абиха и Кейреки, тем более, что при гамма-съемке дна Каспийского моря в районе б. Макарова было отмечено повышенное радиоактивности в полосе развития брекции [3].

Все три вулкана, находясь на небольшом расстоянии друг от друга, характеризуются различным временем излияния и своеобразными геологическими условиями [2,7].

Вулкан Зигильпир, расположенный среди пород продуктивной толщи на стыке Сулутепинской и Кечальдаг-Зигильпиринской антиклиналей относится к типу бездействующих. В выбросах вулкана имеются майкопские глины, породы чокрака, понта и диатомовой свиты.

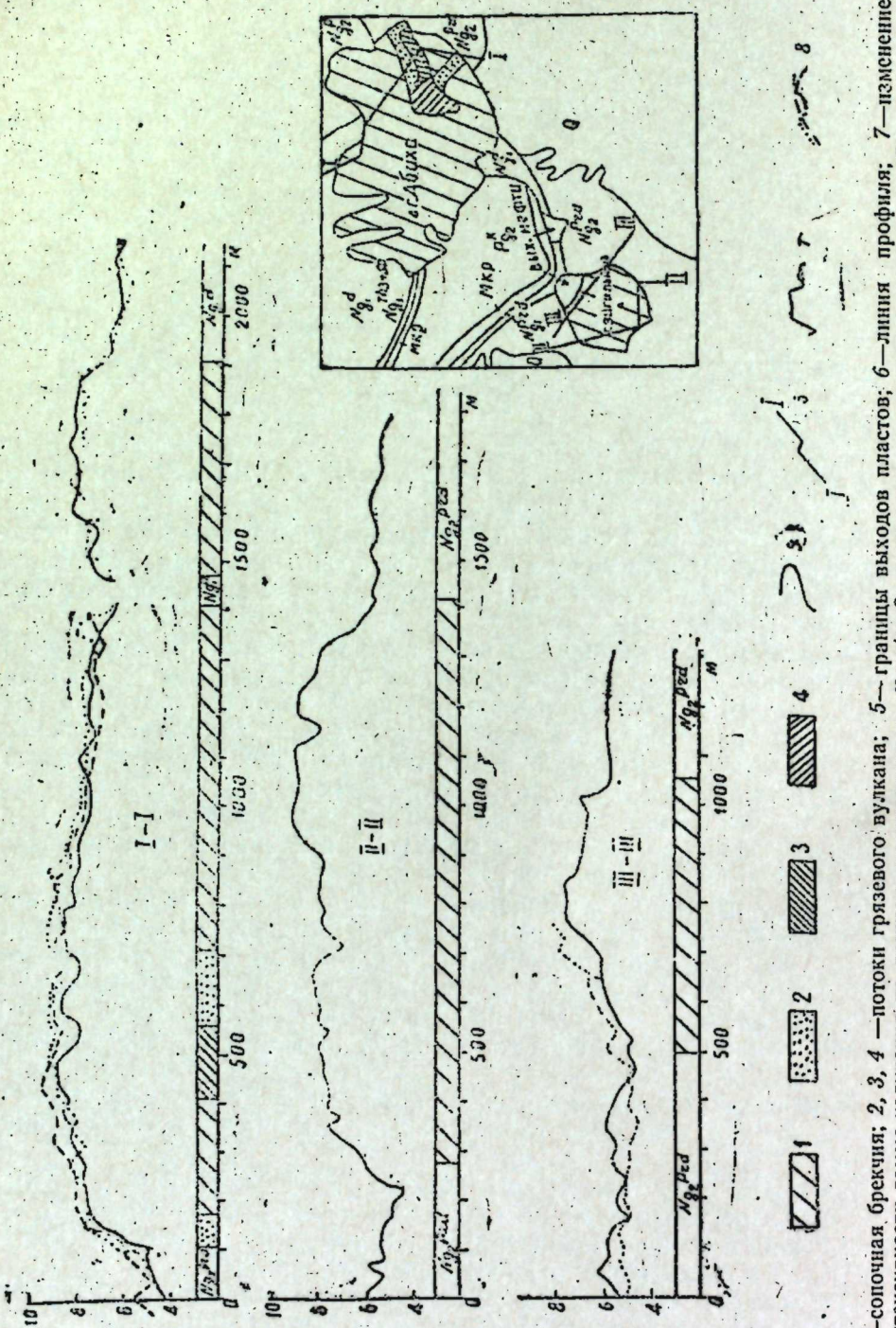
Вулканы Кейреки и Абиха приурочены к южному крылу Бинагадинской антиклинальной складки и имеют, по-видимому, один эруптивный аппарат [4].

Вулкан Абиха расположен среди пород коуна, чокрака и диатомовых слоев, а вулкан Кейреки—среди диатомовых слоев, понта и продуктивной толщи.

Вулкан Абиха древнее, чем Кейреки. Последний относится к вулканам ныне действующим. Среди сопочного шлама обоих вулканов найдено большое количество обломков пород коунской свиты, майкопа, диатома, понта и продуктивной толщи.

Полученные данные радиометрических исследований позволили отметить, что сопочная брекция всех трех вулканов фиксируется по-

<sup>1</sup> Исследования проводились автогамма-радиометром типа РА-69, с чувствительностью прибора 77 и.мп./мин на 1 мкр/ч и точностью 0,18—0,20 мкр/ч. Высокая воспроизводимость записи интенсивности гамма-излучения пород показана на рис. 1 а, в.



вышенной интенсивностью гамма-излучения, по сравнению с фоном изучаемого района равного 5,5 мкр/ч. Перепад интенсивности составляет 4–5 мкр/ч, что вполне уверенно позволяет отбить границы распространения сопочной брекции, при этом величина радиоактивности резко поднимается на сопочной брекции и почти так же резко понижается при выходе за ее пределы. (Рисунок). Внутри поля наблюдается плавная дифференциация радиоактивности пород, что свидетельствует о равномерном кларковом обогащении продуктов извержения грязевых вулканов радиоэлементами.

Наибольшая радиоактивность 9,9–10 мкр/ч была отмечена на восточном склоне г. Кейреки при пересечении более молодых грязевых потоков (см. рисунок). В северо-западном направлении интенсивность гаммаизлучения снижается до 7,8–8,0 мкр/ч, а за пределами сопочного поля падает до 5,6–6 мкр/ч.

На восточном склоне г. Зигильпир радиоактивность сопочного шлама варьирует в пределах 7–8,1 мкр/ч, а на западном склоне интенсивность гамма-излучения едва достигает 7,6 мкр/ч, колеблясь в основном около 7 мкр/ч, превышая в этом случае радиоактивность окружающих пород на 1–2 мкр/ч.

Таким образом, в распределении гамма-поля сопочной брекции трех вулканов наблюдаются некоторые различия, объяснимые геологическими условиями. Судя по тому, что более древние породы сопочной брекции вулкана Абиха отличаются меньшей радиоактивностью (1–2 мкр/ч) по сравнению с более молодыми грязевыми потоками вулкана Кейреки, можно предположить, что повышение радиации молодой сопочной брекции отчасти вызвано обогащением ее радиоэлементами при извержении. По-видимому, наибольшая доля в процессе обогащения принадлежит радию, который имеет сравнительно небольшой период полураспада, что, возможно, и является основной причиной повышенной радиоактивности более молодых излияний по сравнению с более древними.

Однаковые величины радиоактивности сопочной брекции вулканов Абиха и Зигильпир позволяют предположить, что эти вулканы начали действовать почти в одно и то же время. Относительно низкие показания радиоактивности пород по профилю, проходящему по западному склону горы Зигильпир (см. рисунок), вдоль границы распространения сопочной брекции, объясняются влиянием обнаженной здесь продуктивной толщи.

На основании вышеизложенного можно предположить, что повышенная радиоактивность грязевулканической брекции является ее специфической чертой. Это позволяет предполагать, что одним из энергетических факторов извержения является энергия радиоактивного распада. При этом, по нашему мнению, не должно наблюдаться сильно повышенной радиации продуктов извержения, т. к. энергия радиоактивного распада в данном случае расходуется на нагревание пород в области корня грязевого вулкана до температуры, необходимой для начала извержения.

В пользу такого предположения можно привести также тот факт, что во всех нефтегазоносных районах отмечается нарушение радиоактивного равновесия, способствующее концентрации радия и радона в отдельных участках, скорее всего в зонах развития грязевых вулканов — генетически связанных с нефтегазоносностью недр. О возможности скопления радия, радона, в зонах грязевых вулканов свидетельствуют идентичные геологические условия, необходимые как для концентрации этих радиоэлементов, так и для образования вулканов

(наличие крупных разрывных нарушений, скопление флюидов и мощных пластичных глинистых толщ). Энергия, выделяющаяся при радиоактивном распаде в заметных количествах может накапливаться в метамитовых минералах [6]. Возможно, что в глинистых толщах, отличающихся небольшой теплопроводностью и содержащих большое количество минералов со сложной кристаллической решеткой, может произойти скопление энергии радиоактивного распада сконцентрированного здесь радия и радона до критической точки, ведущей к внезапному локальному нагреву пород в месте скопления углеводородных газов. Этот момент, вероятно, служит толчком для начала извержения, а время скопления необходимой энергии обуславливает периодичность действий вулканов. Таким образом, детальное изучение радиоактивности вод, газов и твердых продуктов выброса может пролить свет на такие вопросы как динамика образования вулканов, периодичность и возраст их извержения, геохимическая обстановка среды и т. п.

#### ЛИТЕРАТУРА

1. Алексеев Ф. А., Ермаков В. К., Филонов В. А. и др. К вопросу о содержании радия и урана в водах нефтяных месторождений. Сб. "Ядерной геофизики", Гостоптехиздат, 1959.
2. Горин В. А., Мехтиев Ш. Ф. Грязевые вулканы Азербайджана. Геология Азербайджана, т. II, изд. АН Азерб. ССР, 1953.
3. Гусейнов А. М., Асадов И. Г. и др. Опыт применения радиометрической морской съемки в Азербайджанской ССР. "Советская геология", № 3, 1963.
5. Даудашев Ф. Г. АНХ, № 4, 1953.
5. Данисов Ф. Сб. "Ядерная геология". ИЛ, 1956.
6. Зейналов М. М., Сахновская Н. Д., Шахмалиев Р. Н. Некоторые данные о радиоактивности вод грязевых вулканов Азербайджана. Сб. НТИ, № 3 (вопросы геологии). АЗИНТИ, 1963.
7. Якубов А. А. Грязевые вулканы Азербайджана. Изд. АН Азерб. ССР, 1948.

Институт геологии

Поступило 23.IV.1964

Р. Э. Афамирзэев, Т. А. Золотовитская

#### Палчыг вулканларында тәпә брекчијаларынын радиоактивлији

#### ХУЛАСӘ

Автогамма—сјомкасы илә Хырдалан—Бинәгәди саһәсиндә Абиҳа вә Зијилпирі палчыг вулканларынын тәпә брекчијаларынын јүксәк радиоактивлије малик олмасы гејд едилмишdir.

Радиоактивлијиң кәмијәти вә хассәси тәпә брекчијаларынын радиоелементләрлә зәнкин олдуғуну субут едир.

Шуббәсиз ки, јүксәк радиоактивлик тәпә брекчијалары үчүн специфик хассәдир.

Бунун нәтижәсендә демәк олар ки, палчыг вулканынын пускүрмәси бир сәбәбдән дә радиоактив енержинин парчаланмасыдыр. Бу енержинин—мүнитдә критик нөгтәје чатмыш енержинин истилије чөврилиб тәғифлән чыхмасы пускүрмә үчүн зәруридир!

#### ЛИТОЛОГИЯ

А. М. ИМАНОВ, А. Г. СЕЙДОВ

#### ЛИТОЛОГИЧЕСКАЯ ХАРАКТЕРИСТИКА И УСЛОВИЯ ОБРАЗОВАНИЯ МЕЛКОЗЕРНИСТОГО ИЗВЕСТНИКА АКЕРИНСКОЙ СВИТЫ (МАЛЫЙ КАВКАЗ)

(Представлено академиком АН Азербайджанской ССР А. Д. Султановым)

На левобережье р. Аракс, юго-западнее с. Гергерчин-Вейсаллы к верхней части разреза акеринской свиты приурочен один линзовидно-залающий пласт своеобразного известняка мощностью до 1,5 м. Он подстилается переотложенным пирокластическим образованием и перекрывается желтовато-зеленой глиной. Угол падения известняка на север 10–12°.

Известняки макроскопически представляют собой слоистую, мажущую, слабосементированную породу с землистым изломом и включениями неориентированных мелких кальцитовых жилок и имеют белую или светло-серую окраску в сухом виде. Во влажном состоянии они становятся вязкими и имеют желтовато-зеленую окраску. Последняя обусловлена присутствием в известняке незначительных примесей надстилающих глин в виде крапинок, которые выступают как обломки в подстилающих породах. Слоистость этих известняков обусловлена чередованием их с тонкими прослойками (2 мм) рыхлых песчано-алевритовых пород.

В шлифе известняки имеют мелкозернистую структуру и основная масса его состоит из микрозернистого кальцита (рис. 1) с примесями обломков опаловых радиоларий и диатомей, красных водорослей и хлорито-глинистого вещества. Помимо них, в незначительном количестве рассеяны мелкие зерна плагиоклаза

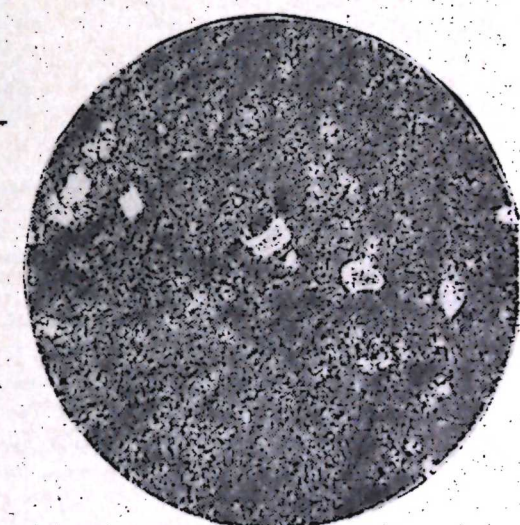


Рис. 1. Мелкозернистый известняк. Николи + (X48).

( $\perp \mu$  (010)=20°), в единичных зернах встречаются лимонит и роговая обманка.

Механический состав известняка характеризуется высоким содержанием пелитовых частиц—95,56%. Остальная часть приходится на долю песчаных—3,84% и алевритовых—0,60% частиц. Общая карбонатность его достигает 82%.

Легкая фракция алевритовых частиц состоит из кварца (5%), пластика (15%), вулканического стекла (20%), хлорита (8%), опаловой органики (29%) и измененных пепло-глинистых минералов (23%).

Тяжелая фракция характеризуется содержанием следующих минералов: ильменит и магнетит (30%), барит (12%), биотит (10%), циркон (6%), роговая обманка (7%), пироксены (6%), рутил (5%), гранат (4%), турмалин (2%), лимонит (5%) и обломки измененных минералов (13%).

Результаты электронномикроскопического исследования глинистой фракции показывают, что в ее составе, наряду с глинистыми минералами (монтмориллонитово-гидрослюдистый), присутствуют в значительном количестве скелеты опаловой органики (рис. 2, образец 20а и 20б).

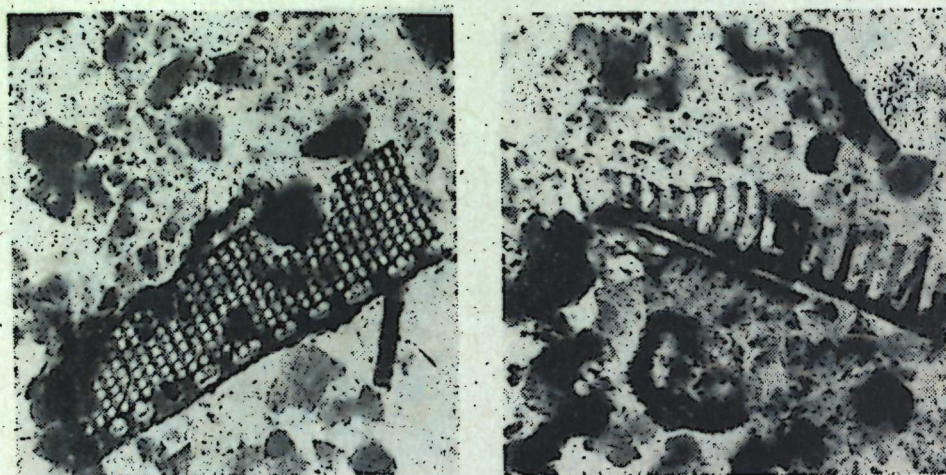


Рис. 2. Образец 20 а и 20 б. Электронномикроскопические снимки глинистой фракции ( $<0,01$  мм) известняка. Ув. 11000.

### Условия образования известняка

Изучение акеринской свиты в бассейне р. Акеры и на левобережье р. Аракса показывает, что в ее составе известняки почти отсутствуют. В составе акеринской свиты известняки отмечены в двух пунктах по одной прослойке: на левобережье р. Аракса у с. Юхары Абдурахманлы органогенного [4] происхождения и в верховьях р. Акеры у Пирджанского моста обломочного. Они незначительны или полностью отсутствуют в литологически тождественных свитах в смежных районах Армении. Это объясняется отнюдь неблагоприятными палеогеографическими условиями периода формирования отложений акеринской свиты для образования известняка.

В рассматриваемом районе акеринская свита в целом представляет собой пирокласто-осадочные образования, произошедшие в пресноводных озерных условиях, о чем свидетельствуют литологический состав слагающих ее пород и находка органических остатков.

По вопросу генезиса пелитоморфных известняков существуют различные мнения. По Н. М. Страхову [3], основная масса этих известняков образуется за счет механически перенесенного терригенного кальцита. Г. И. Бушинский [1] среди порошковатого кальцита мела различает несколько генетических типов, где решающее значение придает продуктам разрушения иллювиальными коколитами и фораминиферами, а также диагенетическому разрушению известковых организмов.

Как отмечено выше, известняки здесь надстилаются глиной, выше чего следуют хорошо окатанные галечники с линзами или карманами мергелистой глины, образованные аллювиально-пролювиальными путями. Сказанное дает нам возможность выяснить действительную картину области сноса и условия седиментации рассматриваемого известняка.

Видимо, в связи с регрессией бассейна нижнего ашшера, местами сохранились мелкие водоемы, в одном из которых отлагались указанные известняки. Этот водоем имел прямое сообщение с сушей, откуда текущими водами заносился в виде мути терригенный кальцит, а затем отлагался механическим путем. Об этом свидетельствует структура, условия залегания и слоистость известняка. Слоистость известняка указывает, что в образовании тонкозернистого материала донные организмы никакой роли не играли и область сноса неоднократно подавала в водоем терригенный материал и каждой подаче соответствует прослой песчано-алевритовых пород.

Исходным материалом терригенного кальцита в образовании этого известняка являлись размывы и переотложения меловых известняков, выходы которых расположены недалеко от области седиментации в северном, северо-западном и западном направлениях, что подтверждается и ориентировкой галек в конгломератах, залегающих ниже и выше рассматриваемого известняка.

Следует отметить, что в районах выходов меловых известняков, расположенных в указанных направлениях, в настоящее время наблюдаются продукты их измельчения в виде известковой муки, которой особенно много на склонах и подошвах выходов, где они заполняют дресву. Видимо, образование такой муки имело место и во время отложения изученного нами известняка.

В примеси с терригенным кальцитом в незначительном количестве поступили вулканические пеплы, о чем свидетельствует наличие вулканического стекла в легкой фракции как в чистом, так и в разложении виде, а также залегание известняка на пирокластических породах.

Отсутствие барита в нормально-осадочных породах акеринской свиты и присутствие его в одном из верхних не переотложенных слоях вулканического пепла в районе р. Каладараси и туфоалевритах у с. Кумлах дает нам основание наличие барита в известняке связать с вулканическими пеплами. Принадлежность вулканического стекла и пластика к основным лавам согласуется с параметрами этих минералов в пеплах района р. Каладараси.

Опаловый скелет радиоларии и диатомен, а также обломки красных водорослей, заполненных кальцитом, являются аутогенными и образовались химическим путем.

Прожилки кальцита, отмеченные среди этого известняка, являются вторичными и образовались в процессе диагенеза.

Что касается наличия в породе других минералов, то следует сказать, что они являются терригенными и связаны как с пирокластическими породами, так и терригенными меловыми образованиями.

По данным М. Д. Гаврилова [2], подобные известняки белого и слегка желтого тонкозернистого строения отмечаются на правобережье р. Акеры севернее р. Кяграт в районах развития меловых отложений. По его мнению, эти известняки образовались в результате размыва и переотложения меловых мергелей и известняков и накоплены в условиях выровненного рельефа. Основываясь на геоморфологических данных, он относит эти известняки условно к верхнему плиоцену.

Следовательно, образование таких известняков имело место и в других частях наклонной Инча-Геянской равнины. Однако после регрессии нижнеапшеронского бассейна в значительной части равнины они подверглись размыву в связи с увеличением денудационных процессов.

Таким образом, основная масса рассматриваемого известняка образовалась за счет механически перенесенной кальцитовой муки в пресноводно-озерных условиях при наличии холодных течений и теплого климата.

#### ЛИТЕРАТУРА

1. Бушинский Г. И. Литология меловых отложений Днепровско-Донецкой впадины. Труды Ин-та геол. наук АН СССР, вып. 156, 1954.
2. Гаврилов М. Д. Отчет о геологосъемочных и поисковых работах в Зангеланском районе Азерб. ССР за 1953 г. Фонды Азгеолуправления.
3. Страхов Н. М. Известково-доломитовые фауны современных и древних водоемов. Труды ин-та геол. наук АН СССР, вып. 124, 1951.
4. Хани В. Е., Тихомиров В. В., Горшенин Т. А. Верхний плиоцен восточной периферии Малого Кавказа. «ДАН СССР», 1950, т. 72, № 4.

Институт геологии

Поступило 24. XII 1963

Э. М. Иманов, А. Н. Сеидов

Экэрэ дәстәсинин кичик дәнәли әһәнкдашының литологи сәцийјәси вә әмәлә кәлмәси шәраити (Кичик Гафгаз)

#### ХУЛАСӘ

Көјәрчи-Вејсәлли кәндидән чәнуб-гәрбдә Экэрэ дәстәсинин юхары һиссәсендә раст кәлән әһәнкдашы ағ вә ја ачыг боз рәнки, зәиф берклиji, кичик дәнәли вә с. олмасы илә сәцийјәләнир. Опун эсас күтләси кичик дәнәли калситдән ибарәтдир. Механики тәркибинин 95% ни кил өлчүлү һиссәчикләр тәшкىл едир. Йүнкүл фраксијасында башга минералларла јанаши, вулкан шүшәси вә опаллашмыш организмләрин олмасы сәцийјәвидир.

Бу әһәнкдашы лајы тәбашир јашлы сүхурларын јујулмасы вә кичик су һөвзәсінә кәтирилиб механики чөкдүрүлмәси јолу илә әмәлә кәлмишдир. Бу фикри әһәнкдашының кичик лајларының алеврит лајыры илә һөвбәләшмәси, бу лајдан ашағыда вә јухарыда јатан конгломератларда сүхур гырынтыларының истигамәтләшмәси вә с. исбат едир.

#### СТРАТИГРАФИЯ

А. А. БАЙРАМОВ

### О ПРИСУТСТВИИ НИЖНЕМЕЛОВЫХ ОТЛОЖЕНИЙ В ВОСТОЧНОЙ ЧАСТИ СЕВЕРО-ВОСТОЧНОГО СКЛОНА МАЛОГО КАВКАЗА

(Представлено академиком АН Азербайджанской ССР Ш. Ф. Мехтиевым)

До последнего времени полный комплекс нижнемеловых отложений на восточной части Малого Кавказа (в пределах Азербайджана) был известен в Кубатлинском районе и характеризовался знаменитым разрезом у с. Аликули-ушаги. В восточной части северо-восточного склона Малого Кавказа под рубрикой «нижнего мела» записывались преимущественно отложения альба, а нижележащие накопления относились к верхней юре. На этой площади альбские отложения были описаны в 1936 г. М. И. Варенцовым.

Обнаруженные в 1956 г. на западе, южнее с. Красный базар, вулканическо-осадочные образования Э. Ш. Шихалибейли, Г. П. Корневым и А. А. Байрамовым были отнесены к неокому\* на основании залегания их на известняки титона, а также по аналогии с тапасардагской свитой В. П. Ренгартиена. Этой же концепции придерживался в дальнейшем М. Д. Гаврилов.

В результате проведенных в 1961 г. крупномасштабных геологосъемочных работ в междуречье Хонашенчай—Куручай впервые выявлен, изучен и фаунистически охарактеризован полный комплекс нижнемеловых отложений. Эти осадки (за исключением альбских), предыдущими исследователями либо относились к верхней юре (М. Д. Гаврилов), либо к верхнему мелу (А. Н. Соловкин).

Нижнемеловые отложения наиболее развиты в пределах частных (Маджгалашэнский и Кызылкаинский) поднятий Торагайчай-Мартунинского синклиниория и на юго-восточном погружении Муровдаг-Агдамского антиклиниория.

Разрез нижнего мела междуречья Хонашенчай—Куручай начинается туфогенными образованиями, представленными известковистыми туфопесчаниками, туфогравелитами и туфобрекчиями светло-лилового, зеленовато-серого цвета. Мощность их от 10 до 55 м. Валанжинский возраст туфогенов устанавливается в одних случаях согласно фауне,

\* Согласно наших данных их следует считать валанжинскими.

в других—их стратиграфическим положением, а именно, заключением между титонским и готеривскими известняками. У подножья г. Кызылка из толщи туфогенов собрана следующая валанжинская фауна:

*Nerinea renngarteni* Psel., *N. ipensis* Vogdt., *N. skeliensis* Psel., *Ampullospira* sp. и др. (определение Г. А. Алиева) На западе в упомянутых туфогенах фауна не обнаружена, но выдержанность фации и строгое стратиграфическое положение их соблюдается: они подстилаются известняками титона, содержащими *Ptygmatis dumcensis* Vogdt. (определение Г. А. Алиева) и всюду перекрываются известняками готерива. В районе с. Сою туфогены валанжина и подстилающие известняки титона наращивают мощность и в ур. Мрец достигают соответственно до 100 и 80 м. По мере продвижения к югу, к ядру Маджгалашенского поднятия отложения верхней юры постепенно выклиниваются. Это, по всей вероятности, объясняется поднятием данного участка в виде кордильер, при общей тенденции всего района к погружению в верхнеюрское время, возможно, и в начале валанжина. Как раз этим следует объяснить залегание маломощных (до 10 м) туфогенов валанжина у с. Каджар непосредственно на вулканогены бата.

Выше валанжинских туфогенных образований залегают мощные известняки, состоящие из нижней и верхней серий, которые отличаются друг от друга текстурой и примесью терригенного материала. Они разделены неповсеместным базальным конгломератом или слоем известняка со стяжениями кремния, или, наконец, известняком с обильным терригенным материалом, являющимся переходным слоем.

Нижняя серия известняков, достигающая 80 м мощности в основном песчанистая, кристалло-обломочная и толстослоистая. Верхняя—мощностью до 70 м, преимущественно толстослоистая, мелко- и скрытоクリсталлическая. Цвет их слаборозоватый, а в основном белый.

В районе с. Каджар из нижней части известняков собрана следующая готеривская фауна: *Rectithyris* cf. *krimica* A. Khal. et Asker sp. p. (in coll)=(*Rectithyris depressa* Smirn.) (определение Р. Б. Аскерова).

В средней части разреза, то есть в переходных слоях, включающих бесформенные стяжения кремния буровато-серого цвета, обнаружена готерив-барремская фауна: *Terebratulina neocomiensis* Ogb., *Ostrea* sp. indet., *Exogyra* sp. indet., несколько юго-восточнее: "*Terebratula*" *faba* Sow., *Encrinus* sp. indet.; (определение Р. Б. Аскерова).

Наконец, из кристаллических, толстослоистых серовато-белых известняков собрана обильная фауна: "*Terebratula*" *krimica* A. Khal. et Asker sp. p. (in coll)=(*Terebratula moutoniana* Kaga.)., которая, по определению Р. Б. Аскерова, указывает на нижнебарремский возраст содержащих ее отложений.

Восточнее с. Каджар из белых скрытоクリсталлических оолитовых известняков, слагающих г. Намазчала, собрана следующая готерив-барремская фауна: *Terebratulina* sp. (ex. gr. *neocomiensis* Ogb.), "*Rhynchonella*" sp. indet., *Echinoidea* gen. et sp. indet., *Rusnodus* sp. (определение Р. Б. Аскерова).

На северо-восточном крыле Маджгалашенского поднятия, у подножия г. Урьяндаг на туфогенах валанжина залегают кремнистые песчано-обломочные известняки мощностью до 84 м. В них обнаружена следующая готеривская фауна: *Belbekella multiformis ardescica* (Jac. et Fall.), чуть севернее кроме вышеотмеченной еще и *Belbekella multiformis castellanensis* (Jac. et Fall.) (определение Р. Б. Аскерова).

Выше залегают тонкослоистые серовато-белого цвета кристаллические известняки (мощностью до 30 м), из которых на северном склоне г. Урьяндаг собрана следующая барремская фауна: *Terebratulina neocomiensis* Ogb.

К северо-западу эти известняки перекрываются известковистыми туфопесчаниками, туфогравелитами зеленого цвета (мощностью не более 40 м). Автор склонен эту толщу отнести условно к апту, т. к. на севере, у с. Чартаз и Ю. Вейсалли упомянутые туфогены подстилают альбские отложения, в которых еще в 1936 г. М. И. Варенцов обнаружил *Aucellina gryphaeoides* Sow. и др.

Нижнемеловые отложения Карабукской антиклинали Муровдаг-Агадамского антиклиниория литологически ничем не отличаются от таковых Торагайчай-Мартунинского синклиниория. Здесь, как и в вышеописанных пунктах, валанжин представлен в туфогенной фации. У подножия безымянной горы в них найдена: *Ptygmatis longa* var. *conica* Psel., *Multiptyxis* aff. *airigulensis* Vogdt. и др. (определение Г. А. Алиева). Мощность его 35–40 м. Выше залегают обломочно-песчанистые известняки розовато-серого цвета (мощностью 30 м) с плохой сохранностию фауны готеривского облика. Выше согласно лежат мощные (до 70–80 м) кристаллические, мелкозернистые известняки. Из нижней части их собрана: *Lacunosella karakhaschi* A. Khal. et Asker sp. p. (in coll)=(*Lacunosella moutoniana* Kaga.). Это фауна, по заключению Р. Б. Аскерова, характеризует нижний баррем.

Восточнее с. Амирланар известняки баррема перекрываются сильно известковистыми серовато-зеленого цвета туфогенами (мощность 10–12 м) апта (?), на которых залегают альбские отложения. Последние представлены мелкообломочными туфобрекчиями, туфогравелитами и порфиритами грязно-зеленого цвета (мощностью около 100 м). Западнее с. Куропаткино из этих отложений собрана следующая альбская фауна: *Solarium tingrianum* Pict. et Roux., *Hastator* sp. (определение Г. А. Алиева).

В заключение можно отметить, что эта часть Малого Кавказа в нижнемеловое время испытывала погружение и покрывалась морем. Следовательно, неокомский перерыв, отмеченный на западе в пределах крупных поднятий, не охватил восточную периферию Малого Кавказа.

Уместно напомнить, что за последнее время и во внутренней части Малого Кавказа открыты новые выходы нижнемеловых отложений. Например, М. Р. Абдулкасумзаде (1962) фаунистически доказала наличие барремских известняков у с. Юхары Кушчулар и Еникенд (НКАО). Недавно О. Б. Алиевым выявлена (устное сообщение) нижнемеловая фауна в известняках г. Сусузлух (бассейн р. Левчай), ранее относимых к верхнему сезону. Наконец, большая часть фауны, собранная из района г. Шуша, тяготеет к неокому (ранее эти известняки целиком относились к мальму). Все эти данные позволяют считать, что предыдущими исследователями отводилось незаслуженно большое место неокомскому перерыву и, возможно, настало время пересмотреть его значение в истории геологического развития северо-восточных склонов восточной части Малого Кавказа.

#### ЛИТЕРАТУРА

Абдулкасумзаде М. Р. Присутствие барремских отложений в НКАО (М. Кавказ). ДАН Азерб. 1952, № 1.  
Азерб. геологосъемочная экспедиция

Поступило 24. III 1964

Кичик Гафгазын шимал-шәрг йамачынын шәрг һиссәсіндә алт  
тәбашир чөкүнтуләринин тапылмасына даир

## ХУЛАСӘ

1961-чи илдә апарылан кеоложи планаалма ишләри нәтичәсіндә Хонашенча вә Гуручај арасындағы саңәдә алт тәбашир чөкүнтуләри там комплексинин яйылдығы мүәжжән едилмишdir. Әввәлки тәдгигатчылар бу чөкүнтуләрі әсасен үст јураja аид етмишләр.

Алт тәбаширин кәсилиши үст јура сүхурлары үзәринә жатан валижинин эһәнкли туфокен чөкүнтуләрілә башлајыр. Онларын үстүндә 2 серијадан ибарәт карбонат сүхурлары жатыр: нотерив јашлы ашағат назик лајлы, гүмлү, кристаллик, баррем јашлы јухары гат галын лајлы, нарын, кизли кристаллик эһәнкдашыларындан ибарәтдир. Онлары бә'зән базал конгломераты; бә'зән силисиумлу гырынты дашылан вә ја чох гуму олан эһәнкдашы аракәсмәси аյырыр. Бүтүн бу чөкүнтуләрин јашы чохлу фаунаја әсасен мүәжжән едилмишdir.

Баррем карбонатлары илә јашы әvvәлчәдән фаунаја көрә мә'лум олан алб чөкүнтуләри арасында эһәнкли туфокен гат жатыр. О, стратиграфик сәвијјәсінә көрә шәрти олараг аита аид едилир.

Демәли, алт тәбашир заманы бу әразини дәнiz өртмүшдүр. Беләлеклә, Кичик Гафгазын башга јерләриндә мөвчуд олан неоком фәсиләси онун шәрг йамачыны эһатә едә билмәмишdir.

ПАЛЕОНТОЛОГИЯ

Т. А. МАМЕДОВ, Ш. А. БАБАЕВ

**ОБ АНОМАЛЬНОМ РАЗВИТИИ КРУПНЫХ ФОРАМИНИФЕР  
ИЗ ЭОЦЕНОВЫХ ОТЛОЖЕНИЙ АЗЕРБАЙДЖАНА**

(Представлено академиком АН Азербайджанской ССР А. А. Ализаде)

При изучении морфологии микрофораминифер разными исследователями были замечены некоторые отклонения от хода нормального развития раковин. Так, К. И. Кузнецовой [3], у лентикулин и плануллярий и О. И. Джанелидзе [2], у представителей родов *Nonion*, *Bolivina*, *Nodosaria*, *Globigerina* были обнаружены аномальные изменения, выраженные нарушением обычного направления роста раковин, аномальным развитием последних камер, неправильным закручиванием спирали, асимметричным расположением камер и другими уродствами, часто затрудняющие видовое определение. По этим исследователям указанные явления связаны как с экологическими (нарушение газового режима, заражение  $H_2S$ , колебание солености и т. д.), так и с биологическими (неодинаковой чувствительностью организмов к нарушению нормальных условий существования, запаздывание стадии размножения и т. д.) факторами.

Аномальное развитие раковин наблюдается также и у представителей крупных фораминифер (*Nummulites*, *Assilina*, *Discocyclina* и др.).

Явлениями паразитирования на нуммулитах и аномальным развитием их интересовался Ф. Беда [1]. Он отмечал, что на раковинах нуммулитов встречаются каналики, проточенные посторонними питающимися организмами.

По Беда, у крупных нуммулитов (реже у мелких) из эоцена татр довольно часто встречаются отклонения от нормальных форм раковины. Он различает следующие виды отклонений у нуммулитов:

- следы залеченных повреждений и ранений;
- анормальности в развитии эмбриона;
- патологические явления в индивидуальном развитии, т. е. возникновение уродств.

Нами обнаружены в большом количестве аномальные раковины у представителей крупных фораминифер из эоценовых отложений Азербайджана. Эти аномалии выражены в изменении как внешнего, так и внутреннего строения раковин (несоразмерное увеличение толщины, вытягивание по одной оси, неправильная изогнутость раковины и т. д.).

Аномальные изменения наблюдаются как у мегасферических, так и у микросферических форм. Среди них нами по внешнему облику ра-

ковин условно выявлены 8 морфологических типов аномалий. Ниже вкратце дано их описание.

1. Куполообразный. Раковина вытянута в высоту в виде купола. Основание ее почти плоское, слабовыпуклое. Этот тип встречается среди раковин *N. ex gr. paradaschensis* и *N. perforatus*. Формы куполов разнообразны. Среди них встречаются формы от сводообразных до конических. У некоторых конических экземпляров даже наблюдается более или менее значительный эксцентризитет купола. У *N.*

*ex gr. paradaschensis* отношение выс. куп. диам. рак. у молодых экземпляров

0,69. По мере роста раковины купол несколько сплющивается, и это отношение уменьшается до 0,56. У *N. perforatus* нами обнаружены различные формы куполов. Здесь также наблюдается тенденция к уменьшению этого соотношения по мере роста раковины от 0,49 до 0,345. Некоторые экземпляры как бы сжаты с двух сторон, образуя углубления и скрюченности краев раковины, отчего основная масса ее возвышается над ними в виде щита.

В экваториальном разрезе видно, что в начальных оборотах организм развивается нормально. Далее, во взрослой стадии развития обороты теряют свое первоначальное округлое очертание и становятся похожими на неправильные удлиненные овалы.

В этих оборотах меняется характер камер, и в некоторой степени характер септ. Камеры становятся в 2—3 раза шире, чем обычно, а почти прямые септы становятся аркообразными. В старческой стадии развития обороты сильно сближены и толщина их сильно уменьшена. В некоторых местах смежные обороты несколько раз соединяются и разъединяются. Иногда наблюдается расщепление стенок оборотов. Поверхность крупных экземпляров *N. perforatus* источена мелкими паразитами. Диаметры входных отверстий их колеблются в пределах 0,05—0,1 мм. Отверстия по форме близки к остроугольному треугольнику. Внутрь раковины они проникают до 2 мм.

2. Гребневидно-куполообразный. Раковина с одной стороны куполообразная, а на другой стороне ее, в центре, возвышается гребневидный бугорок резко выделяющихся из остальной части поверхности. Этот тип встречается только лишь у *N. ex gr. paradaschensis*. Куполы пологие, небольшой высоты. Иногда среди них встречаются очень пологие формы. Высота куполов изменяется в довольно широких пределах (1,5—4 мм), тогда как высоты гребней остаются более или менее постоянными (интервал 3,0—3,3 мм). Здесь также наблюдается тенденция к уменьшению толщины раковины по мере ее развития.

В экваториальном сечении заметны некоторые отклонения от нормального строения раковины. Они подобны наблюденным у первого типа, но выражены в более слабой форме. Так например, в экваториальном сечении они также вытянуты в виде овалов. Овальная форма — результат несоразмерного увеличения высоты раковины (образование куполов, гребней), вследствие чего обороты стягиваются вверх и нарушаются круговидные очертания их. Ширина камер немного увеличивается в последних оборотах.

Края раковин высверлены паразитами. Отверстия, высверленные паразитами, обычно расположены между следами септ, иногда прислоняясь к ним. В редких случаях они располагаются и на следах септ. Очевидно этим паразитам было легче высверливать раковину, чем укрепляющую ее следы септ.

3. Седлообразный. Причудливо изогнутые раковины по форме напоминают седло. Подобные формы обнаружены среди представителей

родов *Nummulites*, *Assilina* и *Discocyclina*. Из нуммулитов подобные типы раковин обнаруживают виды *N. bringniarti* и *N. perforatus*. Линия, соединяющая вершины седла, не является диаметром раковины. Поэтому одна сторона седла всегда короче другой. Одна вершина седла приподнята выше, чем другая. Перепад высот вершин составляет от незначительных долей мм до 3—4 мм. Следует отметить, что в независимости от принадлежности к различным родам, маленькие формы изогнуты сильнее, чем крупные. У вида *N. perforatus* мы обнаружили несколько экземпляров, которые образуют ряд изменений седла от небольшой изогнутости до круто спадающей. Если бы эти экземпляры были обнаружены в разрезе по вертикали снизу вверх, то мы могли бы подумать о постепенной эволюции этого вида. Но так как они найдены в одном и том же слое, то причина появления их иная. По нашему мнению, седлообразная изогнутость раковин — результат как биологических, так и диагенетических процессов. Конечно, нельзя смешивать такие уродливые изменения раковин с естественными деформациями тонких краев раковин (под тяжестью водной массы) таких крупных и уплощенных форм как *N. distans*, *N. polygyratus*, *N. millecaput*, *N. bringniarti* и др.

У крупных экземпляров седла более асимметричны. Если взять продольное сечение одного из них и внимательно рассмотреть его, то видно, что в центре раковина делится на две неравные части. Одна часть короткая, толстая и изогнута в виде клюва, другая же — более длинная, менее неправильная и сравнительно тонкая. Таким образом, во взрослой стадии организма уродливое развитие его выражается в асимметричном развитии раковины, несоразмерном увеличении толщины, изогнутости одной стороны ее.

4. Неправильно-многогранный. Раковина имеет вид неправильного многогранника. Говорить о диаметре или толщине раковин не представляется возможным, так как эти формы образованы тремя нечетко очерченными, неправильными сферическими поверхностями, проекции которых на декартовые координатные плоскости дают овалы, в некоторых случаях довольно близких к эллипсу. Вообще формы экземпляров этого типа такие удивительно причудливые, что без детального изучения внутреннего строения иногда внешне нельзя их даже отнести к нуммулитам.

В экваториальном сечении напоминают правильный эллипс, большая ось которого немного превосходит малую ось. Эмбрионы раковин крупные (диаметр 1,3—1,5 мм) и имеют причудливые удлиненные формы. Обороты низкие, у одних толстые, а у других, более крупных, незначительной толщины и трудноразличимые невооруженным глазом. У одной маленькой раковины, начиная с первого оборота, септы и обороты очень утоньшены и прихотливо изогнуты. Такое развитие организма продолжается до предпоследнего оборота, где раковина уже имеет нормальной толщины оборот и септы. Так как нет видимых путей проникновения в раковину паразитов, угнетающих ее, мы приходим к выводу, что нездоровому росту организма способствовали какие-то болезни. В конце своего развития организм, видимо, переборол их, и поэтому начал развиваться нормально. Причины образования крупного и неправильной формы эмбриона для нас пока остаются неясными.

5. Грибовидный. Чрезвычайно напоминают гриб с шляпкой. Близок к гребневидно-куполообразному, но отличается от него большей вытянутостью "ножки гриба" и меньшими размерами. К этому морфологическому типу относятся *N. ex gr. paradaschensis* и *N. perforatus* (A). Купола *N. ex gr. paradaschensis* более выпуклые, чем *N. per-*

*foratus* (A). „Ножки грибов“ почти всех раковин расположены эксцентрично, ближе к их периферии. „Шляпки грибов“, в основном стерты. По нашему, эти нуммулиты обитали на дне, сидя на своих более плоских „шляпках“. Можно предположить, что эксцентричность „ножек“ является следствием постоянного и длительного действия придонных течений, в сторону движения которых они были обращены.

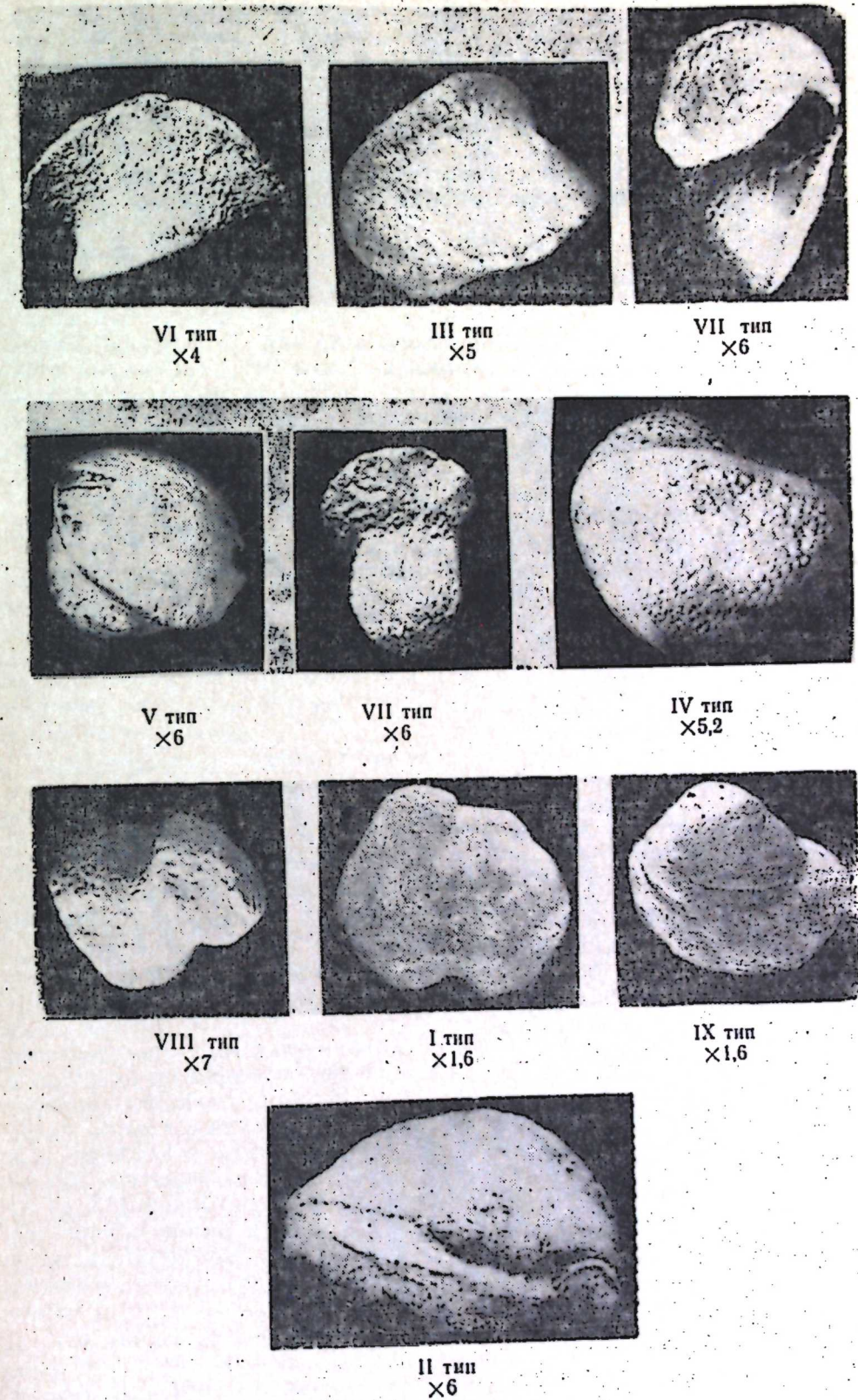
В экваториальном сечении они слабо отклоняются от своего нормального строения. Нами замечено, что во многих раковинах обороты несколько стянуты к тому краю, куда смещены „ножки“ их. Таким образом становится ясным, что изменение внешности нуммулитов под воздействием среды отражается также во внутреннем строении их.

6. Раковины с губообразным отворотом края. В основном состоят из раковин *N. ex gr. brongniarti*. На нашем материале можно наблюдать основные стадии перехода от небольшой изогнутости края до губообразного отворота. Нет оснований предполагать, что раковины удерживались краями „губы“ за осадок, по аналогии с *Pantella*, так как площадь отворота недостаточно велика, и кроме того, края ее с двух сторон открыты, вследствие чего не мог достигаться необходимый для присасывания вакуум. В экваториальном разрезе видно, что в начале раковина развивается normally. Далее во взрослой и старческой стадии она резко изменяет свои первоначальные контуры и приобретает трапециевидное очертание.

7 и 8-й типы представляют собой сдвоенные нуммулиты. В первом они соединены под различными углами вплоть до 90°. В каждом сдвоенном нуммулите наружная скульптура одного из них, с одной стороны, почти стерта. Вероятно, они лежали на осадке именно этой стороной. К сдвоенным нуммулитам относятся раковины *N. perforatus* (A). Размеры их не превышают 7–8 мм. При детальном рассмотрении становится ясным, что спаренность нуммулитов—прижизненный процесс, а не случайное соединение раковин. Это доказывается тем, что раковины врослись друг в друга, чего не могло быть при случайном соединении их каким-либо цементирующими материалом.

Восьмой тип объединяет сдвоенные нуммулиты, между раковинами которых находится более или менее развитый соединительный участок. Они по общей конфигурации схожи с усеченным конусом. Сюда также относятся раковины *N. perforatus* (A). При внимательном рассмотрении внешних скульптур раковин становится ясным, что нуммулиты при жизни лежали на грунте, а некоторые занимали вертикальное жизненное положение. Но все-таки основная роль принадлежит горизонтальному положению, как более устойчивому. Кроме того, нами замечено, что нуммулиты временами могли менять положение своего тела, лежа то на одном, то на другом боку. Но во многих случаях, начиная со взрослой стадии развития, они лежат только на одном боку, в результате чего последний становится более уплощенным. Среди собранных аномальных нуммулитид нами обнаружен один экземпляр, который стоит особняком от других и его нельзя строго отнести к какому-либо из выделенных морфологических типов. Раковина сплюснута с одного бока и похожа на спираль с тремя завитками, которая оканчивается небольшой выпуклостью. Нами она условно отнесена к IX типу.

Внимательное изучение аномальных раковин крупных фораминифер даст возможность более точно вырабатывать видовые критерии для определения их. Вследствие этого, наличие небольших отклонений от общей формы или уродств у раковин крупных фораминифер, в дальнейшем не будет принято за какой-то новый вид или разновидность.



## ЛИТЕРАТУРА

1. Беда Ф. Крупные фораминиферы из Татранского эоцена. Варшава, 1963.
2. Джанелидзе О. И. «ДАН СССР», 1957, № 5. З. Кузнецова К. И. Вопросы микропалеонтологии, вып. 4. М., 1961.

Азербайджанский институт нефти и химии

Поступило 25. IV 1964

Т. Э. Маммадов, Ш. Э. Бабаев

## Азэрбајҹаның еосен чөкүнүләриндә тапылан ири фораминиферләrin аномал инкишафы һаггында

### ХУЛАСЭ

Микроскопик фораминиферләрдә олдуғу кими, ири фораминифер нұмајәндәләриндә дә аномал инкишаф мүшәнидә едилir. Чох ети-мал ки, бу аномал инкишаф һәм биологи вә һәм дә еколохи амилләр илә сых әлагәдардыр. Азэрбајҹаның Еосен чөкүнүләриндән топладығымыз күлли мигдар нүммулитес, ассилина вә дискотсилина нұмајәндәләри ичәрисиндә аномал инкишаф едән бир чох габыглара раст кәлинмишdir. Бу габыглары харичи көрүнүшүнә әсасен шәрти олараг 8 морфологи типе аյырмаг мүмкүн олмушдур: 1) күнбәзвары; 2) тәпәшәкилли-күмбәзәошар; 3) јәһәрвары; 4) дүзкүнолмајан чохузлу; 5) көбәләквары; 6) қәнары додагвары ачылмыш габыг; 7 вә 8-чи типләр икиләшмиш (чүтләшмиш) габыглардыr.

Мәгәләдә јухарыда көстәрилән типләрин айрылыгда там тәсвири верилир.

## БИОЛОГИЯ:

А. В. АЛИ-ЗАДЕ

## К ОЦЕНКЕ МЕСТНЫХ ТВЕРДЫХ ПШЕНИЦ АЗЕРБАЙДЖАНА НА ПОЛЕГАЕМОСТЬ

(Представлено академиком АН Азербайджанской ССР И. Д. Мустафаевым)

В районах поливного земледелия почти ежегодно имеют место значительные потери зерна, вследствие полегания хлебов. Уборка полегших хлебов затрудняется и у таких посевов не только количественно уменьшается урожай, но и сильно снижается качество зерна. Поэтому селекция на устойчивость к полеганию приобретает большое значение. Полегаемость хлебов в большей степени зависит от высоты и прочности соломы.

Устойчивость к полеганию является одним из важнейших признаков и при оценке сортов на этот признак необходимо обратить серьезное внимание. От устойчивости растений к полеганию в значительной мере зависит и получение высоких урожаев с хорошим качеством зерна. Полегание растений приводит к резкому снижению урожаев зерна, качества его, причем резко снижается всхожесть и жизнеспособность семян, полученных от полегших хлебов.

В наших посевах на Карабахской научно-экспериментальной базе Института генетики и селекции, где проводится всестороннее испытание местных твердых пшениц, происходящих из различных зон республики, начиная от 16 м ниже ур. моря, кончая верхней границей распространения твердых пшениц (около 1400 м н. ур. моря), наблюдалось в основном стеблевое полегание. Нужно отметить, что по метеорологическим условиям периода вегетации растений 1963 г. относился к числу особо влажных. Если количество осадков по многолетним данным колеблется в пределах 386 мм, то в 1963 г. за вегетацию количество выпавших осадков достигло 696 мм. Поэтому в 1963 г. почти во всех районах республики, в особенности в низменно-поливных и предгорных зонах, наблюдалось самое сильное полегание посевов пшениц. Таким образом, условия 1963 г. наглядно позволили выявить различие форм твердой пшеницы по степени устойчивости к полеганию.

Хотя ботанический состав испытываемых образцов твердой пшеницы представлен 20 разновидностями, но мы характеризуем здесь широко распространенные в производстве разновидности — апуликум, леукурум.

и гордеин форме. Оценка пшениц в отношении полегания производилась глазомерно по пятибалльной шкале:

5 баллов — полегания нет, стебли стоят вертикально;

4 балла — наблюдается слабое полегание, притом только местами;

3 балла — среднее полегание, стебли наклонены примерно на 45%;

2 балла — сильное полегание, затрудняющее машинную уборку;

1 балл — очень сильное полегание (машинная уборка невозможна).

Полегание отмечалось в фазу колошение—созревание (3 раза), когда растения имели мощную вегетативную массу. При этом измеряли высоту растений. По отношению ко всему испытуемому количеству (1100), все-таки число сильно полегших образцов твердой пшеницы было сравнительно малым (15). На большую устойчивость к полеганию твердых пшениц указывал Н. И. Вавилов, который установил, что 28-хромосомная группа пшениц, в том числе и твердые пшеницы, относятся к слабо- и среднеполегаемым.

Резкой зависимости полегания с высотой растений в наших опытах не наблюдалось. Вердимо, это связано с биологической особенностью образцов, резко отличающихся по своему происхождению. Если же рассмотреть твердые пшеницы в разрезе разновидностей, то можно отметить, что разновидность апуликум, которая в своем большинстве образцов относится к группе высокорослых растений по сравнению с гордеин форме, полегает сильнее.

Внутри разновидности леукурум, имеющей большей частью низкорослые образцы по сравнению с апуликум и гордеин форме, наблюдалось больше совершенно неполегаемых форм (42), чем у апуликум (6) и гордеин форме (11).

Необходимо отметить, что с делянок полегших образцов пшениц леукурум, мы не смогли убрать нормальные колосья. К моменту уборки урожая часть стеблей погнила, а колосья оказались пустыми или с чрезмерно щуплым зерном.

У сильно полегших образцов разновидностей апуликум и гордеин форме стебли полегали дугообразно и лежали друг на друге волнобразно. Соломина этих образцов отличалась тонкостью и эластичностью. Урожай с делянок был получен также чрезмерно низкий, хотя подбирали вручную все колосья, оставшиеся невредимыми. Однако в производственных условиях такие посевы не могут быть убраны комбайнами.

Из испытуемой коллекции оказались устойчивыми к полеганию и выделены 59 образцов разновидностей апуликум, гордеин форме и леукурум, которые в годы испытания имели совершенно неполегаемые соломы. Эти образцы являются хорошим исходным материалом для выведения неполегающих сортов пшениц.

Устойчивые формы, отличающиеся толстой и плотной соломиной и сильной выпуклостью узлов, а также наименьшей длиной нижних междуузлий (1—4—7; 3—5—7 см и т. д.), имеют различное происхождение: леукурум из колхозов Сабирабадского, Астрахан-Базарского, Масаллинского, Варташенского, Казахского, Физулинского, Кусарского, Нахичеванского, Шемахинского районов; апуликум — из колхозов Агадамского, Варташенского, Физулинского, Казахского, Норащенского и Шаумянновского районов; гордеин форме — из колхозов Ленкоранского, Шамхорского, Кусарского, Геокчайского, Мартунинского, Шемахинского районов.

## Выводы

1. В условиях Карабахской низменности местным твердым пшеницам, свойственно в основном стеблевое полегание.

Распределение образцов твердой пшеницы по степени устойчивости к полеганию

Разновидность	Высота над у. моря, м	Апуликум					Гордеин forme					Леукурум				
		Из них по шкале устойчивости					Из них по шкале устойчивости					Из них по шкале устойчивости				
		1	2	3	4	5	1	2	3	4	5	1	2	3	4	5
16—100	35	—	1	16	18	—	—	—	11	21	1	45	—	2	13	21
100—200	35	—	—	17	18	—	25	—	—	13	1	30	—	2	8	17
200—300	27	—	—	17	10	—	20	—	4	16	—	28	—	2	13	10
300—400	24	—	—	12	11	1	17	—	—	6	11	—	15	—	1	5
400—500	47	—	—	21	25	1	29	—	—	7	21	1	33	—	1	11
600—700	19	—	—	12	7	—	16	—	—	3	11	2	17	—	1	5
700—800	22	—	—	1	10	11	—	10	—	3	6	1	10	—	—	3
800—900	19	—	—	14	5	—	16	—	—	6	9	1	4	—	—	2
900—1000	13	—	—	2	7	3	1	4	—	1	3	—	7	—	—	—
1000—1100	11	—	—	1	5	5	—	9	—	2	7	—	5	—	—	—
1100—1200	24	—	—	16	8	—	18	—	—	5	11	2	18	—	—	—
1200—1300	12	—	—	6	5	1	8	—	—	2	6	—	6	—	—	—
1300—1400	2	—	—	—	2	—	2	—	—	—	2	—	1	—	—	—
Свыше 1400	5	—	—	3	2	—	6	—	—	3	3	—	—	—	—	—
Всего	331	—	5	179	141	6	238	—	—	73	153	11	249	—	9	91
															107	42

2. Строгой зависимости между полегаемостью и высотой растений у местных твердых пшениц не наблюдалось.

3. Местные твердые пшеницы Азербайджана относятся к слабо- и средне полегающим формам пшениц.

4. Из большого количества испытываемых образцов твердой пшеницы выделены для дальнейшей селекционной работы 59 образцов разновидностей апуликум, гордеиформе и леукурум, которые оказались устойчивыми к полеганию.

Институт генетики и селекции

Поступило 21. III 1964

А. В. Элизадэ

## Азәрбајҹаның јерли бәрк буғдаларынын јатыглыға давамлышы

ХУЛАСЭ

Тахыл мәһсулуunu артырмаг ишиндә манечилик төрәдән амилләрдән бири дә биткиләрин јерә јатмаг хүсусијәтидир. Тахыл биткиси јерә јатаркән онларда 1000 әдәд дәнин мүтләг чәкиси, тохумларын кејфијәти вә һәјат габилијәти азалараг, үмуми мәһсулуни 30—40% иткисинә сәбәб олур.

Бу мәгсәдлә, биз 1963-чү илдә Гарабаг елми-тәдгигат базасынын суварылан шәраитиндә мүхтәлиф шагули һүндүрлүкдән јығымыш бәрк буғда нүмүнәләринин јатыглыға давамлышыны өјрәнмәји гарышмыза мәгсәд гојдуг.

Өјрәндијимиз бәрк буғдалар ичәрисиндә апуликум, һордеiforme нөвмүхтәлифликләrinә аид олан нүмүнәләр, адәтән, чох һүндүр бојлу олмаларына баҳмајараг мүхтәлиф дәрәчәдә јатыглыға маликдир.

Белә ки, апуликум нөвмүхтәлифликләrinә аид олан 331 нүмүнәнин 50%-дә орта дәрәчәдә јатыглыг гејд олундуғу һалда, һордеiforme нөвмүхтәлифлиjiнин 238 нүмүнәсинин 31%-дә јатыглыг гејд олунмушдур. Леукурум нөвмүхтәлифлиjiнин көдәкбојлу олмасына баҳмајараг онларын 9 нүмүнәсindә икinci тип јатыглыг гејд олунмушдур. Бунунла Ѝанаши олараг, леукурум нөвмүхтәлифлиjiнә аид олан 42 форма јерә јатыглыға гарыш давамлышыг хүсусијәти илә фәргләнишишdir. Йүксәк дәрәчәдә јерә јатан апуликум вә һордеiforme нүмүнәләри биткиләриндә көвдәләрин күтләви гырылыб-әйләмәси вә јерә сәрилмәси чох мүшәнидә едилмишишdir. Бу исә сүнбулләрдә дән әмәлә кәлмәсина мане олду. Беләликлә, гејд етмәк лазымдыр ки, биткиләрин јерә јатыглыг дәрәчәси онларын һүндүрлүјүндән һеч дә асылы дејилдир. Бу, нүмүнәләrin биологи хүсусијәтиндән вә мәншәјиндән асылыдыр.

Апуликум, һордеiforme вә леукурум нөвмүхтәлифлиjiнә аид олан, јогун күләшинин мөһкәмлиjiнә көрә јерә јатмајан сечилмиши 59 нүмүнә кәләчәкдә селексија ишиндә истифадә едиләчәкдир.

Гејд етмәк лазымдыр ки, сечилмиш нүмүнәләр күләшин јогун, долу вә буғум сајларынын чохлуғуна көрә бир-бириндән фәргләнири.

Д. А. РАСУЛОВ

## ПРЕВРАЩЕНИЕ КАЛИЯ НА НЕКОТОРЫХ ТИПАХ ПОЧВ ДАГЕСТАНСКОЙ АССР

(Представлено академиком АН Азербайджанской ССР Г. А. Алиевым)

Изучение процессов калия в почве имеет важное значение для разрешения ряда практических вопросов и научного обоснования применения удобрений.

По вопросу о подвижности калия в почве в литературе имеются данные, свидетельствующие в одних случаях о высокой степени закрепления калия почвой [1, 2, 5, 7, 9, 10], а в других, наоборот, указывающие на незначительную подвижность этого элемента [4, 8, 13].

По данным А. А. Пчелина [12], поглощениe калия почвой происходит как в обменной, так и необменной форме, причем оно зависит от минеральных и органических частей почвы, а скорость перехода калия в необменную форму зависит от температуры [3].

Вопрос о превращении и поглощении калия в предгорной зоне на выщелоченном черноземе, в горной—на горно-луговой черноземовидной почве Дагестанской АССР изучается нами впервые.

Выщелоченный чернозем характеризуется следующими показателями: реакция почвы слабощелочная  $\text{pH} = 7,7$ , содержание гумуса составляет 6,8%, легкодидролизуемого азота—100 мг на 1 кг почвы, а фосфора по Б. П. Мачишину 4 мг  $\text{P}_2\text{O}_5$  на 1 кг почвы. Содержание валового калия составляет 3,6%, из них необменная форма калия 61%. Хотя по содержанию валового калия эта почва богата, однако доступная для растений форма калия составляет только лишь 4% от валового запаса калия.

Горно-луговая черноземовидная почва. Реакция почвы слабощелочная  $\text{pH}=8,1$ , содержание гумуса составляет 4,7%, легкогидролизуемого азота—51 мг на 1 кг почвы, а фосфора, по Б. П. Мачигину, 3,4 мг  $\text{P}_2\text{O}_5$  на 1 кг почвы. Содержание валового калия составляет 3,4%, из них необменная форма—92%. Судя по содержанию воднорастворимой и обменной формам калия, эта почва бедна ими, содержание составляет от 2 до 4,2 мг  $\text{K}_2\text{O}$  на 100 г почвы.

Для изучения данного вопроса нами заложен лабораторный опыт на двух типах почв по следующей схеме:

1. Контроль (почва без удобрения)
2. Почва+200 мг  $\text{K}_2\text{O}$  ( $\text{K}_2\text{SO}_4$ ) на 1 кг почвы
3. Почва+200 мг  $\text{K}_2\text{O}$ +навоз.

При закладке лабораторного опыта почва компостировалась с сернокислым калием из расчета 200 мг  $K_2O$ , а при совместном внесении сернокислого калия с навозом из расчета 330 мг  $K_2O$  на 1 кг почвы. Влажность почвы поддерживалась в пределах 60% от полной полевой влагоемкости.

#### Повторность трехкратная.

Для анализа почвенных образцы брались в следующие сроки: через 1, 3, 30, 60, 90 и 180 дней после закладки опыта.

Во взятых почвенных образцах определялись воднорастворимый калий, по Александрову, и обменный, по П. В. Протасову.

Анализы почвенных образцов показали, что превращение калия в почве как при внесении отдельно, так и совместно с навозом, происходит очень быстро. Как видно из данных, уже через 3 дня после внесения сернокислого калия в почву содержание его в воднорастворимой форме в горно-луговой-черноземовидной почве составило 37% от внесенного, а на выщелоченном черноземе—22,4%; через 30 дней после внесения сернокислого калия в горно-луговой черноземовидной почве содержание воднорастворимого калия почти в два раза уменьшилось по сравнению с содержанием через 3 дня, т. е. составило 19% от внесенного, а через 60 и 90 дней еще продолжалась уменьшаться и доходило до 15%.

В конце опыта, т. е. через 180 дней после закладки его по сравнению с четвертым и пятым сроками взятия почвенных образцов немного увеличилось содержание воднорастворимого калия—18%.

Иная картина была на выщелоченном черноземе. Содержание воднорастворимой формы калия в течение 60 дней постепенно уменьшается, а через 90 и 180 дней вообще не найдено таковой.

При совместном внесении сернокислого калия с навозом через 3 дня после закладки опыта содержание воднорастворимой формы калия на выщелоченном черноземе составило 28,2% от внесенного, а в последующие дни оно постепенно уменьшается, тогда как в горно-луговой черноземовидной почве, наоборот, в последующие дни опыта обнаружено увеличение воднорастворимой формы калия от 4 до 24,7% по сравнению с первыми сроками.

Увеличение воднорастворимой формы калия в горно-луговой черноземовидной почве при внесении сернокислого калия совместно с навозом объясняется, как указывают П. В. Протасов [11] и Р. К. Гусейнов [6], более усиленным поглощением его микроорганизмами почвы в начале опыта, а в последующие дни опыта по мере их отмирания идет увеличение содержания данной формы.

Аналогичные данные по увеличению воднорастворимого калия были получены А. К. Ахундовым [2] на желтоземноподзолистой почве.

Таким образом, превращение калия как при внесении сернокислого калия в отдельности, так и совместно с навозом происходит наиболее энергично на выщелоченном черноземе, сравнительно слабее в горно-луговой черноземовидной почве.

Калий, внесенный в почву как в отдельности, так и совместно с навозом в исследуемых почвах в основном сохраняется в обменной форме.

Через 3 дня после закладки опыта содержание обменного калия обнаружено на выщелоченном черноземе—71% и в горно-луговой черноземовидной почве—63% от внесенного.

В последующие дни опыта на выщелоченном черноземе содержание обменного калия постепенно уменьшается при внесении только сернокислого калия и в конце опыта содержание его обнаружено всего лишь 10% от внесенного, а остальная часть перешла в необменную форму, растворимую в 10%-ной соляной кислоте, тогда как

в случае внесения сернокислого калия совместно с навозом, калий сохраняется почти в тех же пределах, с небольшими отклонениями и в последующие дни опыта.

Характеризуя превращение калия в горно-луговой черноземовидной почве через 30, 60 и 90 дней после закладки опыта обнаружено уменьшение содержания обменного калия по сравнению с первыми сроками взятия пробы и незначительное увеличение его в конце опыта.

Иная закономерность была обнаружена в случае внесения сернокислого калия совместно с навозом. Здесь наблюдается увеличение содержания обменного калия в последующие дни опыта.

Если через 3 дня после внесения удобрений содержание обменного калия в горно-луговой черноземовидной почве составило 69% от внесенного, то через 180 дней оно доходило до 95%.

Изучая превращение калия в исследуемых почвах можно сделать следующие выводы:

1. Превращение и поглощение калия в исследуемых почвах происходит очень быстро и уже через 3 дня после взаимодействия удобрения с почвой содержание воднорастворимого калия в горно-луговой черноземовидной почве составило 37% от внесенного, а на выщелоченном черноземе—22,4%.

2. При совместном внесении сернокислого калия с навозом содержание воднорастворимой формы калия в начале опыта (через 3 дня) составило 28,2% на выщелоченном черноземе, а в последующие дни опыта оно постепенно уменьшается, тогда как в горно-луговой черноземовидной почве, наоборот, в последующие дни опыта его содержание увеличивается.

3. Основная часть калия, внесенная в почву в форме сернокислого калия как в отдельности, так и совместно с навозом падает на обменный калий, причем на выщелоченном черноземе в начале опыта его содержание резко увеличивается (71%), а в последующие дни опыта постепенно уменьшается, тогда как в горно-луговой черноземовидной почве, наоборот.

4. Превращение сернокислого калия как при внесении в отдельности, так и совместно с навозом происходит наиболее энергично на выщелоченном черноземе, сравнительно слабое на горно-луговой черноземовидной почве.

#### ЛИТЕРАТУРА

1. Ахундов А. К. Формы калия в почве и их динамика. Изв. АН Азерб. ССР, 1961, № 7. 2. Ахундов А. К. Изучение запаса и форм калия в почвах Леникорской зоны и калийное питание культуры чая. Канд. дисс. Баку, 1962. 3. Антипова-Каратеев И. Н. Физиологические свойства почв в зависимости от состава и соотношения обменных катионов. Кол. журн., 1935, т. 1, вып. 4. 4. Агорвал Р. Фиксация калия. Рефератив. перевод Т. И. Мешковой. Сельское хозяйство за рубежом, 1962, № 11. 5. Важенин И. Г. Динамика и эффективность калийных удобрений. Труды Солекамской с/х опыт станции, 1936. 6. Гусейнов Р. К. О применении калийных удобрений в Азербайджане. Хлопководство, 1963, № 5. 7. Маткадимов У. Поглощение, закрепление и перемещение калия в сероземных почвах. Хлопководство, 1962, № 4. 8. Кардиналовская Р. И. Превращение в почве и использование растениями калия, внесенного с удобрением. Автореферат, Киев, 1960. 9. Синягин Ц. И. К вопросу применения калийных удобрений под хлопок и люцерну. Советский хлопок, 1926, № 3. 10. Ониани О. Г. Условие эффективности калийных удобрений на чайных плантациях Грузии. Бюллетень ВНИИ и СК, 1957, № 3. 11. Протасов П. В. Применение калийных удобрений под хлопчатник в Средней Азии. Ташкент, 1953. 12. Пчелин А. А. Динамика калия в поглощении комплексе почвы. Почвоведение, 1941, № 1. 13. Писемская В. А. О применении калийных удобрений под хлопчатник в Азерб. ССР. Изв. Азерб. с/х Ин-та, 1948, № 12.

Институт почвоедения и агрохимии

Поступило 5. II 1964

**Дагыстан МССР-ин бир нечэ торпаг типләриндә калиумун  
чеврилмәси**

**ХУЛАСЭ**

Дагыстан МССР-ин дагәтәji зонасынын јујулмуш гарә торпагларында вә даг зонасынын даг-чәмән гаратәһәр торпагларында калиумун чеврилмәси вә удулмасы илк дәфә олараг өјрәнилир.

Көтүрүлмүш торпаг нүмүнәләриндә суда һәлл олан вә мүбадилә олунаң  $K_2O$  тә'жин едилмишdir. Лабораторија тәчрүбәсинин нәтичәләри көстәрир ки, калиумун удулмасы һәмин торпагларда сүр'етли кедир. Белә ки, күбрә верилмиш варианта (3 күндән соңра), даг-чәмән гаратәһәр торпагларда суда һәлл олан калиум 37%, јујулмуш гараторпагда исә 22,4% галмышдыр. Верилмиш күбрәнин јердә галан һиссәси чәтин һәлл олунаң бирләшмә шәклинә кечмишdir. Пејинлә калиум-суlfат верилмиш варианта тәчрүбәнин әvvәлиндә (3 күндән соңра) суда һәлл олан калиум јујулмуш гараторпагда—28,2%, тәчрүбәнин соңунда исә бу мигдар тәдричән азалмышдыр. Анчаг даг-чәмән гаратәһәр торпагларда әксинә, тәчрүбәнин соңунда суда һәлл олан калиумун артмасы мүшәнидә олуимушшур. Торпага айрычә вә пејинлә верилмиш калиум-суlfатын әсас һиссәси олан калиум мүбадилә олунаң шәклә кечмишdir. Белә ки, јујулмуш гараторпагларда тәчрүбәнин әvvәлиндә калиум 71%, тәчрүбәнин соңунда исә бу мигдар азалмышдыр. Лакин даг-чәмән гаратәһәр торпагларда бу просес әксинә олумушшур. Калиум-суlfатын айрылыгда вә пејинлә бирликдә верилмәси нәтичәсендә калиумун чеврилмәси јујулмуш гараторпагларда интенсив кедир. Һалбуки даг-чәмән гаратәһәр торпагларда бу просес иисбәтән зәифләјир.

**С. М. ЭҮМӘДОВА**

**МУХТАЛИФ СУ РЕЖИМИ ШӘРАИНИДӘ ВӘ МУХТАЛИФ  
ДӘРӘЧӘДӘ ЙЕТИШӘН ТОХУМЛАРДА ҖАЗОТЛУ БИРЛӘШМӘЛӘР**

(Азәрбајчан ССР ЕА академики И. К. Абдуллаев тәгдим етмисшdir)

ССРИ-ини гураглыг рајонларында јүксәк вә давамлы мәһсүл алмág үчүн көрүлән тәдбирләрдән бири сувармадыр. Лакин суварма мәһсүлдарлыгы артырмагла бәрабәр, дәнин зұлаллығының кәсқин сурәтдә ашағы салыр. Зұлал вә мухталиф зұлал фраксијалары дәнин кејфијәттінин кимjәви көстәричисидir. Дән зұлал комплекси илә иәники җеинти, еләчә дә техники чәhәтдән мүәjjән олуңур.

Бұғда дәнинин зұлаллығының дәјишикен олмасы бечәрилмә шәраиттәндән асылы олараг 10%-дән 26%-дәк ола биләр. Харичи мүһиттән асылы олараг бұғда дәнинде зұлал мигдарының дәјишилмәси Н. Н. Иванов [2], Иванов Н. Н., Кијакиничев [3] вә Қијакиничев [5] тәрәфиндән тәдгиг олуимушшур.

Дәнин кимjәви тәркиби һәм бир-choх харичи амилләрдән (торпаг вә һаваның рүтубәттіндән, температурдан, торпағын мәһсүлдарлығынан, агротехникасындан вә с.), һәм дә бұғданын сорт хүсусијәтләриндән асылыдыр. Лакин дәндә зұлалын мигдарына тә'сир едән һәлледици амил су режими вә минерал күбрәләрин верилмәси шәртләриди.

Суварманын дәнин зұлаллығына тә'сирини өјрәнмәjә чохлу мигдар ишләр һәср олуимушшур [1, 6; Петинов, 1934, 1936, 1947].

Суварманын дәндәкі зұлалын мигдарыны азалтмасы сәбәбләринә аид әдебијат мә'лumatларына истинаға едәрек демәк олар ки, суварма биткинин векетасија дөврүнү үздәйр, о чүмләдән дәнәдолма мүддәти, бунун нәтичәсендә исә дәндә нишаста топланмасы дөврү артыр ки, бу да зұлалын мигдарының азалмасына сәбәб олур.

Әдебијатларда, суварманын дәндә зұлалын азалмасына сәбәб олмасы нағындақы мә'лumatларла Іанаши, Петиновун вә с. тәдгигатлары әсасында суварма шәраиттән әзотлу күбрәләрин көмәjи илә јүксәк зұлаллы дән алымасының мүмкүнлүгү тәсдиg олуимушшур. Э. Ч. Кәrimov [4] көстәрир ки, суварма шәраиттә күбрә верилмәси зұлалын мигдарының кәсқин сурәтдә артырыр, дәмjә шәраиттә исә бу артым о гәдәр дә choх олмур. Дәнин биокимjәви тәркибинә су режиминин тә'сирі илә Іанаши олараг мүхталиф жығым мүддәттінин дә тә'сирі бөյүк дүр. Белә ки, һәм вахтындан әvvәл, һәм дә кечикдиримиш жығым

мүддәти һәмишә мәһсүл иткисинә вә онун кејфијәтинин ашағы дүшмәсінә сәбәб олур.

Буданың дәнәдолма вә ја јетиши мәрхәләйе—суд, мум вә тамјетишмә дөврүнә бөлүрләр. Йыгым вахтыны дүзкүн сечмәк үчүн јетиши мәнин һансы дөврүндә дәндәки зұлалын фанзинин йүксек олмасыны, мүәжжән етмәк мүнгүмдүр. Дәндә азот ән мүнгүм кејијәт көстәричесидир.

Мұхтәлиф йыгым вахтларында көтүрүлмүш дәнин тәркибинде олан азотлу бирләшмәләри тә'жин етмәк мәғсадилә биз 1960-чы илдә Азәрбајҹан ССР Елмләр Академијасынын Кенетика вә Селексија Институтун Гарабағ елми-тәдгигат базасында суварма вә дәмјә шәраитинде Азәрбајҹаның рајонлашдырылмыш 6 буғда: Севинч, Арандәни, Шәрг, Чәфәри, Азәрбајҹан-1 вә Болбуғда сортлары илә тәчрүбеләр гојдуг. Һәмин сортларын һәр ики шәраитинде (суварма вә дәмјә) беш йыгым вахтындан: суд дөврү, мум дөврү, тамјетишмә, тамјетишмәдән 10 вә 20 күн сонракы дөврләрдән орта нүмнәләр көтүрүләрәк тәркибинде азотлу бирләшмәләрин мигдары тә'жин олунмушдур. Анализләрин иәтичәләри ашағыдақы чәдвәлдә верилмишdir.

Чәдвәлин рәгемләриндән көрүндијү кими, мұхтәлиф буғда сортлары дәнин тәркибинде олан азотлу бирләшмәләрин мигдары мұхтәлиф олмушдур.

#### Чәдәвәл

Мұхтәлиф буғда сортлары дәнинин тәркибинде азотлу бирләшмәләрин (1961-чи ил, һавада гур маддәје көр, %-лә) мигдары

Сортларын адлары	Йыгым вахты	Суварма			Дәмјә		
		Уму- ми азот	гејри-зу- лали азот	зұла- ли азот	Уму- ми азот	гејри-зу- лали азот	зұла- ли азот
Севинч	суд дөврү	2,47	0,27	2,20	2,73	0,22	2,51
	мум дөврү	2,71	0,23	2,48	2,96	0,14	2,82
	тамјетишмә дөврү	2,80	0,22	2,58	3,03	0,13	2,90
	тамјетишмәдән 10 күн сонра	2,68	0,20	2,48	2,86	0,17	2,69
	тамјетишмәдән 20 күн сонра	2,41	0,18	2,23	2,52	0,15	2,37
Арандәни	суд дөврү	2,61	0,10	2,51	2,86	0,14	2,72
	мум дөврү	2,96	0,12	2,64	3,24	0,15	3,09
	тамјетишмә дөврү	3,00	0,14	2,86	3,33	0,16	3,17
	тамјетишмәдән 10 күн сонра	2,79	0,12	2,67	3,13	0,20	2,93
	тамјетишмәдән 20 күн сонра	2,68	0,10	2,58	2,88	0,20	2,68
Шәрг	суд дөврү	2,77	0,14	2,63	2,84	0,12	2,72
	мум дөврү	2,89	0,12	2,77	2,98	0,14	2,84
	тамјетишмә дөврү	3,01	0,16	2,85	3,09	0,12	2,97
	тамјетишмәдән 10 күн сонра	2,74	0,18	2,56	2,79	0,16	2,63
	тамјетишмәдән 20 күн сонра	2,63	0,15	2,48	2,74	0,18	2,56
Чәфәри	суд дөврү	2,68	0,20	2,48	2,73	0,22	2,51
	мум дөврү	2,79	0,22	2,57	2,96	0,20	2,76
	тамјетишмә дөврү	2,80	0,24	2,56	3,00	0,18	2,82
	тамјетишмәдән 10 күн сонра	2,50	0,30	2,20	2,88	0,16	2,72
	тамјетишмәдән 20 күн сонра	2,46	0,32	2,14	2,68	0,14	2,54
Азәрбајҹан-1	суд дөврү	2,47	0,16	2,31	2,61	0,20	2,41
	мум дөврү	2,62	0,18	2,44	2,82	0,18	2,64
	тамјетишмә дөврү	2,69	0,20	2,49	2,98	0,24	2,74
	тамјетишмәдән 10 күн сонра	2,55	0,24	2,31	2,66	0,16	2,50
	тамјетишмәдән 20 күн сонра	2,40	0,22	2,28	2,48	0,10	2,38
Болбуғда	суд дөврү	2,64	0,14	2,50	2,71	0,22	2,59
	мум дөврү	2,82	0,16	2,66	2,92	0,18	2,84
	тамјетишмә дөврү	2,90	0,20	2,70	3,04	0,16	2,88
	тамјетишмәдән 10 күн сонра	2,62	0,18	2,44	2,76	0,16	2,60
	тамјетишмәдән 20 күн сонра	2,50	1,16	2,34	2,67	0,14	2,53

Умуми азотун мигдары бүтүн сортларда дәмјә шәраитинде сувармаја нисбәтән соң олмушдур.

Зұлал азотун мигдары да сувармаја нисбәтән дәмјә шәраитинде соң олмушдур.

Нәр ики шәраиттә һәр бир сортун мұхтәлиф йыгым вахтларынан көтүрүлмүш дәнин тәркибинде үмуми азотун мигдары мұхтәлиф олмушдур. Белә ки, бүтүн сортларда бир гајда олараг, суд дөврүндән башламыш тамјетишмә дөврүнә гәдәр үмуми азотун мигдары артыш, тамјетишмәдән сонракы дөврләрдә исә тәдричән азалышыдыр.

Зұлал азотун мигдары нағында да еїни фикри сөјләмәк олар.

Нәр ики шәраиттә тәркибинде соң үмуми азот олан сортлардан Арандәни вә Шәрг сортларының көстәрмәк олар.

#### Әдәбијат

- Зоръкин А. Г. Влияние орошения на развитие хода накопления веществ и состав зерна яровой пшеницы. „Изв. Саратовского Гос. ин-та с/х. мелиорации”, вып. V, 1929.
- Иванов Н. Н. Химический состав пшениц СССР. Труды по прикладной ботанике, генетике и селекции, т. XXI, вып. IV, 1928–1929.
- Иванов Н. Н. и Киягиничев М. И. Биохимия пшеницы. Сб. „Биохимия культурных растений”, т. 1, Сельхозгиз, 1936.
- Керимов А. Д. Влияние минерального удобрения на биохимический состав различных сортов пшениц Азербайджана. „ДАН Азерб. ССР”, 1957, № 8.
- Киягиничев М. И. Биохимия пшеницы. Статья в сб. „Биохимия культурных растений”, изд. II, Сельхозгиз, 1958.
- Лайков И. А. Влияние орошения и удобрений на развитие пшеницы и накопление его зольных веществ и азота. Труды ВИЗХ, т. VII, 1936.
- Петинов Н. С. Физиология орошающей пшеницы. М., 1959.

Кенетика вә Селексија  
Институту

Алынышыдыр II.V 1964

С. М. Ахмедова

#### Азотистые соединения зерна пшеницы при различных сроках созревания и различных условиях водоснабжения

##### РЕЗЮМЕ

Как известно, в засушливых районах при применении орошения повышается урожай пшеницы, но сравнительно снижается количество белка в зерне. Это уменьшение компенсируется при применении минеральных удобрений. Выяснение влияния срока уборки урожая на содержание белка в зерне имеет большое значение.

Исходя из этого, нами в 1960 г. были заложены опыты на участке Карабахской Научно-экспериментальной базы Института генетики и селекции Академии наук Азербайджанской ССР следующими сортами твердой пшеницы: Севиндж, Аранданы, Шарк, Джрафар и мягкой пшеницы: Азербайджан-1, Бол-буғда в условиях полива и на богаре.

Пробы для химического анализа взяты в фазах молочной, восковой, полной спелости и при перестое зерна 10 и 20 дней. В пробах определены количества общего, белкового и небелкового азота.

На основании полученных данных установлено, что как на поливе, так и на богаре содержание общего азота в зерне пшеницы, начиная с молочной спелости до полной спелости, постепенно увеличивается, при перестое же (10–20 дней) во всех сортах содержание его уменьшается до 0,5%.

В обоих условиях выращивания сорта „Аранданы“ и „Шарк“ по сравнению с другими сортами пшениц содержат больше общего азота. Во всех сортах исследуемых пшениц содержание белкового азота в богарных условиях больше, чем в поливных, а содержание небелкового азота, наоборот.

ТЕХНОЛОГИЯ ЗЕРНА

В. С. КАРАЕВА

МИКРОТВЕРДОСТЬ ЗЕРНА ТВЕРДОЙ И МЯГКОЙ ПШЕНИЦЫ  
АЗЕРБАЙДЖАНСКОЙ ССР

(Представлено академиком АН Азербайджанской ССР И. Д. Мустафаевым)

В последние годы появилось несколько методов определения зерна, заимствованных из других отраслей наук. К ним следует отнести метод определения твердости зерна. Интересно отметить, что этот метод в применении к зерну может быть дифференцирован и в результате возможно получить характеристику микроучастков зерна в отношении прочности. Такой метод, как показывает опыт применения его рядом исследователей, может дать ценные сведения о технологических свойствах зерна пшеницы.

В связи с этим интересно было провести испытание озимой твердой пшеницы Азербайджанской ССР с применением этого нового метода.

Л. Е. Айзикович, З. Д. Гончарова и другие исследовали зависимость микротвердости от консистенции зерна, влажности и вида культуры. Они установили, что с увеличением степени увлажнения зерна микротвердость его уменьшается, а также микротвердость твердого и стекловидного зерна выше, чем у мучнистого.

Наши исследования в основном касались изучения влияния консистенции зерна пшеницы дурум Азербайджана на микротвердость. Такие исследования с данной пшеницей проводятся впервые и потому было интересно изучить микротвердость твердой пшеницы и сравнить с микротвердостью мягкой.

Определения проводились на приборе М. М. Хрушова и А. Б. Берковича, аналогичном примененному С. Д. Хусидом и Л. Б. Ильинской. В качестве вдавливаемого наконечника в этом приборе применяется алмазная пирамида с квадратным наконечником и углом при вершине между противолежащими гранями 136°. При испытании на микротвердость определяют величину диагонали  $d$  и по специальным таблицам, рассчитанным на нагрузку от 2 до 220 г, устанавливают число твердости  $H$ , представляющее собой частное от деления приложенной нагрузки  $P$  на боковую поверхность отпечатка  $F \text{ mm}^2$ , в предположении, что углы у отпечатка такие же, как у пирамиды:

$$H = \frac{P}{F} = \frac{1,8544P}{d^2_{\text{ср}}} \text{ кг}/\text{мм}^2$$

где  $P$  — нагрузка на пирамиду, кг;

$d_{\text{ср}}$  — среднее арифметическое обеих диагоналей отпечатка после снятия нагрузки, мм.

Тарировку проводили на эталонном материале — кристаллах — каменной соли, микротвердость которой находится в пределах 20—22  $\text{кг}/\text{мм}^2$ .

Объектом исследования служили образцы твердой пшеницы сорта Аранданы из Хачмасского района урожая 1962 г. и мягкой пшеницы сорта Бол-Бугда.

Пшеница сорта Аранданы была распределена по консистенции: стекловидная, частично стекловидная, мучнистая, и в каждом варианте была определена величина микротвердости.

Результаты экспериментов представлены в таблице.

Сорт	Ср. диагонали отпечатка $\mu$	$H$ — число твердости, $\text{кг}/\text{мм}^2$
1. Аранданы		
а) стекловидная	80,0	14,5
б) частично стекловидная	82,0	13,8
стекловидная мучнистая	116,0	6,9
в) мучнистая	113,0	7,5
2. Бол-Бугда	121,1	6,35

Данные таблицы показывают, что с увеличением стекловидной консистенции зерна увеличивается и его микротвердость. По мере перехода от стекловидной консистенции к мучнистой наблюдается резкое снижение показателя микротвердости почти в 2 раза, т. е. от 14,5 до 7,5  $\text{кг}/\text{мм}^2$ . По мере снижения твердости зерна повышается величина диагонали отпечатка.

Зерно мягкой пшеницы Бол-Бугда по сравнению с твердой пшеницей обладает низким показателем твердости, более чем в 2 раза.

Таким образом, наши исследования показали, что между микротвердостью и стекловидностью, характеризующими прочностные свойства зерна, наблюдается тесная зависимость. Следовательно, величина микротвердости зерна может служить полным критерием оценки стекловидности.

Эти данные заставляют поднять вопрос о технологической ценности в зерне дурум. Ясно, что потеря зерна стекловидной консистенции приводит к понижению и значительному ухудшению технологических свойств твердой пшеницы, в первую очередь мукомольных и макаронных свойств.

В самом деле, резкий перепад в микротвердости — 13,8 и 7,5  $\text{кг}/\text{мм}^2$  говорит о том, что такое зерно не может быть причислено по своим технологическим свойствам к пшенице дурум.

По сути дела, за таким зерном остается только видовое название при резкой утрате технологической ценности.

К такому зерну при размоле уже нельзя применить режим обычной для твердой пшеницы.

Таким образом этот показатель сохраняет свое значение не только для технолога, но и для селекционера. Данный признак должен учитываться при селекционной работе, т. к. он ориентируется в объективных показателях на важность всемерного повышения стекловидности твердой пшеницы.

## Выводы

1. Между микротвердостью и стекловидностью зерна имеется прямая зависимость.
2. Чем выше стекловидность пшеницы, тем выше и показатель микротвердости.
3. Мягкая пшеница имеет почти в 2 раза меньший показатель микротвердости, чем твердая.
4. С утратой стекловидной консистенции у твердой пшеницы понижается показатель микротвердости.

## ЛИТЕРАТУРА

1. Гончарова З. Д. Влияние гидротермической обработки зерна на его структурно-механические свойства. Канд. дисс., М., 1964.
2. Хрушов М. М. и Беркович Е. С. Прибор для определения микротвердости зерна, ПМТ.
3. Хусид С. Д. и Ильинская Л. Б. Определение микротвердости зерна пшеницы в зависимости от сортовых особенностей зерна, 1954.

Институт генетики и селекции

Поступило 30. XI 1964

В. С. Гараева

## Азэрбајҹан ССР-дә әкилән бәрк вә јумшаг буғданын микробәрклији ХҮЛАСЭ

Мәгалә 1962-чи илдә Хачмаз районунда бечәрилән бәрк вә јумшаг Аранданы буғда нөвүнүн микробәрклијинин тә'јин едилмәсиндән бәһс едир.

Арандәни буғда сортунун бәрклијини тә'јин етмәк үчүн ону консистенсијалара, јә'ни үч һиссәје: шүшә көрүнүшлү, јарымшүшәкөрүнүшлү вә унлу буғда һиссәчикләринә аյырыб микробәрклијини тә'јин етмишик.

Апарылан тәчрүбә нәтижесинде айдын олмушдур ки, буғданын консистенсијасы илә көстәрилән микробәрклији арасында мүстәгил асылылыг вардыр. Шүшәкөрүнүшлү консистенсија унлу буғда һиссәчијинә кечикчә микробәрклик  $14,4 \text{ кг}/\text{мм}^2$ -дән  $6,9 \text{ кг}/\text{мм}^2$ -э гәдәр азалыр.

Унлу јумшаг буғданын микробәрклији шүшәкөрүнүшлү буғда якшылыштың 2,5 дәфә аздыр.

## АЗӘРБАЙҘАН ССР ЕЛМЛӘР АКАДЕМИЈАСЫНЫН МӘРУЗӘЛӘРИ ДОКЛАДЫ АКАДЕМИИ НАУК АЗЕРБАЙДЖАНСКОЙ ССР

ТОМ XXI

№ 4

1965

ЗООЛОГИЯ

А. А. АБДИНБЕКОВА

## НОВЫЕ ВИДЫ И ФОРМЫ НАЕЗДНИКОВ (СЕМ. *ICHNEUMONIDAE* И *BRACONIDAE*) ИЗ КУБА-ХАЧМАССКОЙ ЗОНЫ АЗЕРБАЙДЖАНА

(Представлено академиком АН Азербайджанской ССР В. Р. Волобуевым)

При обработке собранного в течение 1960—1963 гг. материала из Куба-Хачмасской зоны Азербайджана были обнаружены новые виды наездников из сем. *Ichneumonidae* и *Braconidae*, новые формы ихневмонид—*Mesostenus transfigura* Grav. var. *caucasica* nov. и *Barichneumon incubitor* L. var. *caucasica* nov., а также не описанный до сих пор самец *Baryproctus caucasicus* Tel. Описания вышеназванных новых видов и форм, а также самца *Baryproctus caucasicus* Tel. содержатся в данной статье.

### *Cremastus rostratus* Abdinb. Sp. nov.

♂ Тело черное; внутренние и наружные орбиты глаз в виде желтой каемки. Ноги черные; бедра, голени и лапки передних ног красноватые; вершина бедер и голени, кроме основания и вершины на средних и задних ногах—желтые. Стерниты брюшка 1—3 желтые.

Голова книзу сильно вытянутая, параллельная, щеки равны половине продольного диаметра глаза. Лоб морщинистый, лицо густо пунктированное, щеки и наличник гладкие, блестящие. Голова кзади сильно суженная. Расстояние между глазками и краем глаз равно половине диаметра глазка. Усики щетинковидные, равны длине тела, 30-членниковые. Челюстные членники слегка утолщенные и вытянутые. Грудь вытянутая, в два раза длиннее ширины, густо и довольно грубо пунктированная, блестящая.

Параипсиды глубокие. Предщитковая ямка гладкая, блестящая. Щитик пунктированный. Заднегрудь с полным числом ячеек: костула хорошо заметная; *A. supermedia* пунктированная, пятиугольная, в два раза длиннее ширины, немного короче поперечно-морщинистой *A. posteromedia*.

Крылья светлые. Крышечки крыльев желтые. Стигма черная, широкая. Радиальная ячейка широкая. Вторая возвратная жилка выходит за поперечной радиальной жилкой (*n. arealis*) вторая дискоидальная ячейка заметно больше второй субмедиальной. Поперечная субмедиальная жилка (*nervulus*) интерстициальная.

Брюшко тонкое, в два раза длиннее головы и груди вместе взятых. Первый сегмент брюшка по бокам гладкий, без боковых желобков, за дыхальцами лишь едва расширенный. Второй тергит по длине равен первому, слабо морщинистый, без продольных складок. Третий—седьмой сегменты брюшка сильно сдавлены с боков, гладкие.

Длина тела 7–8 мм. Самка неизвестна.



Рис. 1. Голова (профиль) *Cremastus rostratus* Abdinb., sp. nov.

Близок к *Neochelonella mongolica* Telenga., от которого отличается обильной красно-коричневой окраской на брюшке и ногах, узкими щеками и висками и отсутствием поперечного валика на промежуточном сегменте. По окраске и другим признакам похож на *Chelonus erytrogaster* Lucas, от которого отличается, кроме числа члеников усиков самки (рис. 2), красным цветом оснований усиков и желтыми крылечками крыльев.

Самка 4,5–5,1 мм. Голова шире груди, за глазами округленно-суженная, в 1,5–2 раза шире своей длины, затылок слабовырезанный

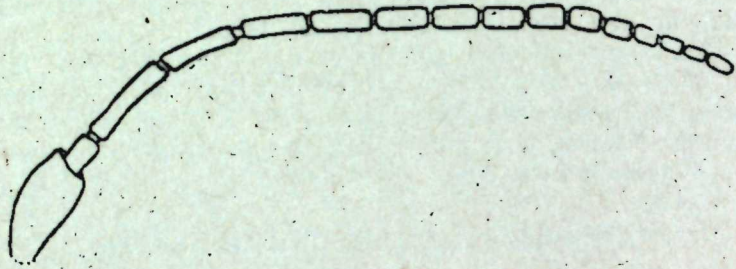


Рис. 2 Усик *Chelonella telengai* Abdinb. Sp. nov.

виски заметно уже глаза; глазки в тупоугольном треугольнике, основание которого равно расстоянию от него до глаза, расстояние между задними глазами в 4 раза больше диаметра глазка: продольный диаметр глаза в 1,5 раза больше поперечного, вдвое длиннее щек; высота лица в 1,5–2 раза больше его ширины, заметно больше высоты наличника; наличник наполовину шире своей высоты; расстояние между темпоральными ямками почти наполовину больше расстояния от ямки до глаза или равно ему, заметно больше высоты наличника; хоботок не развит; челюстные щупики короче высоты лица с наличником. Усики приблизительно равны длине головы и груди; щетинковидные, 16-члениковые; основной членик втрое длиннее своей наибольшей ширины: 1-й членик жгутиков тонкий в 5–6 раз длиннее своей ширины, на 1/3 длиннее второго членика, членики жгутика от его основания к вершине постепенно укорачивающиеся, у вершины немного длиннее своей ширины, снаружи более или менее вдавленные, грудь в 1,5 раза длиннее своей высоты; парапсидальные борозды в виде слабых грубоскульптированных вдавлений; бока средней груди пунктированные с мягкими продольными складками; промежуточный сегмент без продольного валика с двумя боковыми зубцами и двумя слабыми срединными, от которых вперед отходят слабые валики. Передние крылья немного короче брюшка и груди до крышек

крыльев, передний край радиальной ячейки равен длине стигмы; 2 отрезок радиальной жилки в основном равен 1-му; в 2–2,5 раза короче 3-го, в 1–1,1 раза короче 1-й поперечной кубитальной жилки; нервулус отходит на расстоянии 1/3–1/4 длины задней стороны дискоидальной ячейки. Задние бедра в 4–5 раз длиннее своей ширины; большая шпора задних голеней почти в 2–3 раза короче длины первого членика лапки, 5-й членик лапок равен 2-му или немного меньше 3-го. Брюшко в 1,5 раза длиннее груди, овальное, сзади чуть подогнутое, его длина в 1,5–2 раза больше высоты в вершинной трети; сплошь грубо-пунктированное. Яйцеклад слабо, иногда сильно выступает за вершину брюшка. Тело слабоупущенное, морщинисто-пунктированное; наличник слабопунктированный, блестящий; затылок поперечно-исчерченный; виски в нижней половине блестящие, гладкие; брюшко без явственных продольных складок. Черный—брюшко и тазики, вертуги, четвертый и пятый членики лапок—темно-коричневые.

Крылья в вершинной половине затемненные, стигма и жилки в основной половине крыла светлые.

Самец неизвестен.

Распространение. СССР (Азербайджан, Армения); Иран.

Материал: Азербайджан, Кубинский р-н (Дивичи), степь, на тамариксе, 2. VII. 1962 г. 6♀; Армения, АСНИ, Вединский р-н, 28. X. 1961 г., 1♀ (В. Рихтер); Иран: Мугань, Куручай, Унгют, 24. V. 1927. 1♀; 29. V. 1927 г., 1♀; 1 VI 1927 г., 12 ♀ (в том числе голотип); 7 VI 1927, 1♀; 21. VI 1927, 3♀ (Бочарников), Тавриз, 12. VI 1914; 2♀ (Андреевский).

Голотип и паратипы из Ирана и Армении находятся в коллекции Зоологического института АН СССР в Ленинграде, паратипы из Азербайджана—в Институте зоологии АН Азерб. ССР в г. Баку.

#### *Baryproctus caucasicus* Tel.

♂. Голова красная с темным полем вокруг глаз. Грудь красная, бока, средне- и заднегрудь черные. Основание и вершина брюшка черные, остальная часть брюшка красная. Ноги красновато-желтые. Голова поперечная, кзади почти не суженная. Лоб посередине с продольной бороздкой, возле основания усиков заканчивается небольшой ямкой. Наличник и лицо книзу слабоморщинистые. Среднеспинка, бока среднегрудки и щиток гладкие, блестящие. Парапсиды глубокие. Заднегрудь ясно морщинистая с продольным килем, без полей. Брюшко за серединой более широкое, на вершине сильно суженное. Первый тергит с параллельными боками сплошь продольно морщинистый, короче второго. Второй тергит поперечный, большей частью слабоморщинистый, по заднему краю гладкий. Крылья слабодымчатые. Стигма коричневая, в основании и на вершине светлая. Вторая радиальная жилка в два раза длиннее второй поперечной кубитальной жилки. Третий отрезок радиуса (*R*) прямой, в два раза больше второго. Возвратная жилка выходит из первой кубитальной ячейки. Пятый членик задних лапок заметно утолщенный с большими коготками. Шпорцы задних голеней равны одной четверти длины первого членика лапки. Усики равны длине тела, коричневые, 7–8 мм.

Распространение. СССР, Азербайджан: Хачмасский район (Худат), на разнотравье, 15. VII 1961 г.. один экземпляр.

#### *Barichneumon incubitor* L. var. *caucasica* nov.

♀. От основной формы отличается окраской брюшка: брюшко красное, иногда основание первого сегмента черное, задний край его с желтоватой полоской. В основном похож на типичную форму.

Длина тела 12 мм.

Распространение. СССР, Азербайджан—Куба (совхоз II), 20. VI 1961 г., на молочае; Хачмас (Пирский лес), 18. VIII 1961 г., на бешеном огурце; Кусары (фруктовый сад), 10. VII 1960 г., на бедренце (три экземпляра).

*Mesostenus transfuga* var. *caucasica* nov.

♂. От основной формы отличается окраской тела. Голова черная, внутренние орбиты глаз желтые. Переднегрудь, среднеспинка и щитик черные. Шея, полоска на переднегруди перед основанием крыльев, черточка под основанием крыльев, боковые края щитика—беложелтоватые. Бока заднегрудки и заднегрудь целиком красные. I—III сегменты брюшка красные, остальные черные. Ноги красные, задние голени и лапки черные, последние с белым колечком. В остальном похож на основную форму.

Длина 8—9 мм.

Распространение. СССР, Азербайджан, Кубинский р-н (сел. Владимировка), 13. VIII 1962 г., на дикой моркови; Кусары (фруктовый сад), 11. VII 1961 г., на разнотравье (два экземпляра).

ЛИТЕРАТУРА

1. Мейер Н. Ф. Определитель паразитических перепончатокрылых, тт. I—VI, Л., 1934, 1935, 1936. 2. Теленга Н. А. Fauna СССР (перепончатокрылые), т. 5, вып. 2—3, 4. М.—Л., 1936, 1941, 1955.

Институт зоологии

Поступило 5. V 1964

А. Э. Абдинбэрова

Азэрбајчанын Губа-Хачмаз зонасындан ихневмонид вә браконид фәсиләсинә анд олан јени нөв вә форма миничиләр

ХҮЛАСӘ

Мәгаләдә ихневмонид вә браконид фәсиләләринә мәнсуб олан јени нөвләрдән *Cremastus rostratus* Abdinbécova Sp. nov., *Neochelonella telengai* Abdinbécova Sp. nov. вә икى нөвүн јени формасынын (*Mesostenus transfuga* Grav. var. *caucasicus* nov., *Barichneumon incubitor* L. var. *caucasicus* nov.) тәсвири верилмишdir.

Бундан башга, мәгаләдә, индијә гәдәр тәсвири верилмәмиш *Baryproctus caucasicus* Tel. миницисинин еркәйинин дә тәсвири верилир.

ИСТОРИЯ

З. М. БУНИЯТОВ

О ХРОНОЛОГИЧЕСКОМ НЕСООТВЕТСТВИИ ГЛАВ  
«ИСТОРИИ АГВАН» МОИСЕЯ КАГАНКАТВАЦИ

(Представлено академиком АН Азербайджанской ССР А. А. Ализаде)

О противоречиях в тексте, вернее, в расположении материала „Истории агван“ в свое время говорил еще К. П. Патканов<sup>1</sup>. На первый взгляд хронология книги представляется чересчур запутанной. Содержание глав первой, второй и третьей частей (книг) „Истории“ не только перекрывает друг друга, совпадая в описании событий, но иногда главы просто повторяют одна другую. Каждому, кто начинает изучать текст „Истории“ сразу же бросается в глаза беспорядочное расположение ее глав. Например, отчет о событиях, связанных с деятельностью Месропа Маштоца разделен на две части: первая—связана с проповедью Маштоца и его учениками и занимает главы 27—29 первой книги, а вторая часть фиксирует прибытие Маштоца к албанскому царю Ерсвагену (Арсуагену) и изобретение Маштоцем албанского алфавита в главе 3 книги второй.

Следующая перестановка глав „Истории агван“ даст, на наш взгляд, возможность восстановить синхронизм в их чередовании.

Книга первая. Главы 1, 2, 3 могут быть оставлены на своих местах. Главы 4 и 5 меняются местами, т. к. описание природных богатств страны перед тем, как говорить о появлении в ней первой царской династии, представляется более логичным.

Следующие, 6 и 7 главы, на месте, однако их продолжением будет глава 15, которая хотя и коротка, но содержит два списка царей. Первый, в основном, мифический, является списком армянских царей от Иафета до Тиграна I (ок. 149—нач. ок. 123 до н. э.) и заимствован у Моисея Хоренского. Другой список правдоподобен (хотя и неизвестного происхождения) и содержит последних 10 аршакидских царей Албании от Урнайра (нач. IV в.) до Вачагана III Благочестивого (конец V в.).

Глава 15 представляет собой своего рода основу для событий IV и V вв. и служит как бы прологом к целому периоду и ее необходимо поставить перед главами, в которых описываются события этих веков.

За главой 15 должна следовать 8, затем 14 и 9 главы, ибо это единственно верное и связное изложение материала: вначале при-

<sup>1</sup> См: Предисловие к „Истории агван“ Моисея Каганкатваци. СПб., 1861.

водится биография св. Григория, затем описывается его деятельность в Албании и его роль в обращении страны в христианство.

После главы 9 идут 12 и 13, материал которых относится к войнам царя Трдата III и его преемников после обращения св. Григорием армян в христианство.

Завершая описание событий IV в., мы должны обратиться к главе I второй книги, где излагается легенда об армянах при дворе персидского царя Шапуха (309—379) и которая логически должна занять место после главы 13, хотя она и обособлена от основного материала.

Приступая к событиям V в., мы снова должны обратиться ко второй книге, где глава 3, в которой рассказывается о прибытии Маштоца к Ерсвагену, должна следовать за главой I. Однако здесь мы сталкиваемся с трудностями, т. к. в книге первой есть несколько связанных с Маштоцем глав, которые в большей части в беспорядке.

Для исправления самого большого хронологического разрыва в законченной истории мы должны поместить последние четыре главы книги первой (27—30) вслед за главой 1 второй книги. Глава же 3 второй книги должна быть поставлена между главами 27 и 28. Затем мы еще раз обратимся ко второй книге, к ее 2 главе, которая рассказывает о войнах Вардана Мамиконяна, хронологически следующих за рассказами о Маштоце.

Следующее место занимают главы 10 и 11, в которых рассказывается об албанском царе Ваче II. Далее, без каких-либо дополнительных изменений, идут оставшиеся главы первой книги—16—26.

В конце первой книги необходимо поместить главу 5 книги второй, материал которой имеет отношение к правлению царя Вачагана III. Последняя строка этой главы—молитва о безопасности Албании—представляется подходящей концовкой для первой части „Истории“<sup>1</sup>.

Книга вторая. Главы 1, 2, 3 и 5 перешли в первую книгу и повествование начинается совершенно нормально—с установления армянского летосчисления (552 г. н. э.), перенесения патриаршего престола албанского католикосата в Партав и правления католикоса Абаса. Главы 4, 6—9 располагаются на своих местах.

Первая трудность во второй книге появляется в главе 10, содержание которой совершает резкий скачок от середины VI в. к началу VII в. Эта брешь заполнится, если мы поставим между 9 и 10 главами главы 47, 48 и 49.

Правда, главы 47 и 48 частично имеют отношение к событиям более раннего периода, но в них обеих рассказ быстро приводят к началу VII в. и с того момента, как все эти три главы начинают иметь отношение к албанской церковной истории, помещение их здесь будет наиболее оправданным.

Затем мы перейдем к главам 10—13, которые связывают политическую историю с рассказом о войнах императора Византии Ираклия.

После главы 13 должна идти 17, которая рассказывает о появлении Михранидов и завоевании ими господства в Албании. Затем следуют главы 14 и 15, содержащие рассказы о католикосе Албании Виро (ок. 596—ок. 630); далее—глава 50, в которой повествуется о событиях, имевших место в правлении армянского католикоса Езра (630—641).

Главы 16, 18<sup>2</sup> и 19<sup>3</sup> рассказывают о долгом правлении князя Джеваншира (ок. 636—680), во время которого в Албании появляются арабы.

В соответствии с появлением арабов в Албании мы должны после 19 главы поместить главы 1, 2 третьей книги. Далее последуют гла-

вы 20 и 21 второй книги, а затем глава 15 книги третьей, где говорится о событиях, происходивших в правлении императора Константина II (641—668).

Начиная с главы 22 и далее, события развиваются равномерно, за исключением глав 47—50, которые мы поместили выше. Далее идет глава 51 и заканчивается вторая книга главой 52, в которой перечисляются монастыри, построенные албанами в Палестине<sup>4</sup>.

Книга третья. Наименьшие трудности встречаются здесь. Как только мы перенесли 1 и 2 главы на их место в книге второй, мы избавились от всех недоразумений.

Книга открывается главой 3, которая содержит яркий рассказ о происках армянского католикосата. Дальнейшие события развиваются без необходимости каких-либо изменений до самой главы 23, которая завершает „Историю“. Однако хотя последние события упоминают сюникского князя Сенекерима (ок. 1080—ок. 1105), по существу же „История агван“ заканчивается главой 21—разграблением Партава русами в 944 г.

Таковы, на наш взгляд, структурные изменения в „Истории агван“, которые необходимо будет учесть при новом критическом издании источника.

Институт истории

Поступило 31. III 1964

З. М. Бунятов

Моисеј Каганкатвасинин „Агван тарихи“ адлы әсәриндә  
хронология зиддијәтләр

#### ХУЛАСӘ

М. Каганкатвасинин „Агван тарихи“ адлы әсәринин фәсилләри чох гарышыг олдуғу үчүн әсәр чәтин мәнимсәнилір.

Әсәрдәки зиддијәтләр арадан көтүрүлмәк үчүн фәсилләр тәһлил олунуб жени бир гајда илә дүзәлдилмишdir ки, бу да мәтидә олан надисәләри тарихлә уйғунашдырыр.

<sup>1</sup> Расположение глав первой книги „Истории“ будет следующим: 1—3, 5, 4, 6, 7, 15, 8, 14, 9, 12, 13, 1(II), 27, 3(II), 28—30, 2(II), 10, 11, 16—26, 5(II).

<sup>2</sup> Порядок глав книги второй следующий: 4, 6—9, 47—49, 10—13, 17, 14, 15, 50, 16, 18, 19, 1(III), 2(III), 20, 21, 15(III), 22—46, 51, 52.

ЭКОНОМИКА

Г. И. ШИРАЛИЕВА

МЕТОДИКА ОПРЕДЕЛЕНИЯ И ПРИМЕНЕНИЕ ПЛНОВО-  
РАСЧЕТНЫХ ЦЕН ЗА РАБОТУ СТРОИТЕЛЬНЫХ МАШИН

(Представлено академиком АН Азербайджанской ССР И. А. Гусейновым)

В строительных организациях Азербайджанской ССР огромный парк машин используется еще далеко не достаточно. Одной из причин является существующая система расчетов за работу строительных машин. Сметные цены за машино-смену (ценник № 2) не отражают фактических условий работы машин и оказываются завышенными.

Планово-расчетные цены должны быть ниже сметных, устанавливаться применительно к конкретным условиям стройки и ежегодно пересматриваться с учетом изменения годовых норм использования машин по времени, составу и численности парка машин, средних расстояний перевозки и затрат на эксплуатационные и ремонтные материалы.

Планово-расчетная цена машино-смены ( $P_{p.m.-sm}$ ) может быть определена по формуле:

$$P_{p.m.-sm} = (Z_{ маш.} + Z_{ обс.} + A + P + M) \cdot H \quad (1)$$

где  $Z_{ маш.}$  — заработка плата машинистов и их помощников;

$Z_{ обс.}$  — заработка плата рабочих, осуществляющих ежесменный уход за машиной;

$A$  — амортизационные суммы;

$P$  — затраты по перебазировке машины;

$M$  — стоимость ремонтных, эксплуатационных материалов и топлива;

$H$  — процент накладных расходов.

Затраты на электроэнергию для удобства расчетов можно не включать в планово-расчетную цену; строительные управления рассчитываются за потребленное количество электроэнергии непосредственно с энергохозяйством.

Формулой (1) можно пользоваться при определении планово-расчетных цен машино-смены для всех видов машин, кроме башенных кранов. Дело в том, что затраты по перебазировке башенного крана (монтаж, демонтаж и перевозка) занимают значительный удельный вес в общих затратах по эксплуатации крана (от 15% и более). В связи с этим планово-расчетные цены на перебазировку башенных

кранов, а также планово-расчетные цены на устройство подкрановых путей необходимо устанавливать раздельно. Таким образом, планово-расчетная цена машино-смены башенного крана будет равна:

$$P_{p.m.-sm} = (Z_{ маш.} + Z_{ обс.} + A + M) \cdot H, \quad (2)$$

а планово-расчетные цены на перебазировку ( $P_{p.per.}$ ) и устройство одного звена подкрановых путей ( $P_{p.podkr.}$ ) соответственно равны:

$$P_{p.per.} = P \cdot H \quad (3) \text{ и } P_{p.podkr.} = Y_{podkr.} \cdot H, \quad (4)$$

где  $Y_{podkr.}$  — затраты на устройство, разборку и перевозку одного звена подкрановых путей.

При определении планово-расчетной цены за работу машины очень важно поставить ее величину в зависимость от числа смен работы машины в течение дня. Так, величину расчетной цены при работе машины во II и III смены ( $P_{p.IIsm.}$ ,  $P_{p.IIIsm.}$ ) можно уменьшить на 50% по сравнению с планово-расчетной ценой первой смены ( $P_{p.Ism.}$ ), т. е.

$$P_{p.IIsm.} = P_{p.IIIsm.} = 0,5 \cdot P_{p.Ism.} \quad (5)$$

Возможность применения такого порядка обусловлена тем, что некоторые виды затрат, составляющих планово-расчетную цену (амортизация и другие) не зависят от количества смен работы машины в течение дня, а связаны со временем нахождения машины в хозяйстве.

При расчетах за работу башенных кранов в жилищном строительстве можно рекомендовать планово-расчетные цены за работу кранов за дом в целом. Величину такой цены можно рассчитать, пользуясь формулой

$$P_u = P_{p.m.-di} \cdot T_u, \quad (6)$$

где  $P_u$  — планово-расчетная цена за работу башенного крана за дом в целом;  $P_{p.m.-di}$  — планово-расчетная цена за рабочий день башенного крана (формула 2 с учетом формулы 5);

$T_u$  — нормативная продолжительность нахождения башенного крана на строительстве объекта.

Так, при работе башенного крана в 2 смены, планово-расчетная цена за работу крана за дом в целом будет равна:

$$P_u = 1,5 \cdot T_u \cdot H (Z_{ маш.} + Z_{ обс.} + A + M) \quad (7)$$

Кроме того, как было отмечено, раздельно определяются планово-расчетные цены за перебазировку и устройство подкрановых путей (формула 3 и 4).

В промышленном строительстве ввиду его специфических особенностей (значительные сроки строительства, разнообразие строящихся объектов, работа на одном объекте одновременно башенных, автомобильных и других кранов), расчетные цены за дом в целом применять нецелесообразно. Планово-расчетная цена за работу башенных кранов определяется по формулам 2, 3 и 4.

Что касается землеройных машин, работу которых можно легко учесть в физическом выражении, расчеты должны производиться по планово-расчетным ценам, установленным за единицу этих работ ( $m^3$  — разработка грунта,  $m^3$  — обратная засыпка,  $m^3$  — планировка поверхности и др.).

Величину планово-расчетной цены за единицу выполненных машинных работ ( $P_{p.cl.}$ ) можно определить по формуле:

$$P_{p,ed} = \frac{P_{p,m,dn}}{B_n}, \quad (8)$$

где  $B_n$  — среднедневная плановая выработка машины.

В случае, когда землеройные машины (экскаваторы емкостью ковша до  $0,5 m^3$ ) заняты на выполнение необъемных работ, величина планово-расчетной цены за машино-день определяется по формуле 1 с учетом формулы 5.

Применяя планово-расчетные цены за работу строительных машин, необходимо правильно отражать эти затраты в себестоимости строительно-монтажных работ. Многие строительные машины одновременно с выполнением строительно-монтажных работ осуществляют вспомогательного рода операции (складирование материалов, погрузка контейнеров на транспорт), которые относятся в себестоимости не по статье „Эксплуатация машин“, а „Материалы“ или на другие статьи себестоимости.

Для правильного отнесения затрат в себестоимости строительно-монтажных работ и определения объема работ машиноэксплуатационного хозяйства можно пользоваться приведенными в таблице коэффициентами, учитывающими работу машин на выполнение основных работ и на вспомогательных операциях.

Машины и механизмы	Коэффициент, учитывающий работу машин на основном производстве	Коэффициент, учитывающий работу машин на вспомогательных операциях
Башенные краны	0,75	0,25
Краны на гусеничном и пневмоколесном ходу, автомобильные краны	0,65	0,35
Экскаваторы емкостью ковша выше $0,5 m^3$	1,0	—
Экскаваторы емкостью ковша до $0,5 m^3$	0,7	0,3
Бульдозеры С-80	0,9	0,1
Бульдозеры ДТ-54	0,7	0,3
Тракторы	—	1,0
Катки	—	1,0
Автогрейдеры	0,9	0,1
Автопогрузчики	—	1,0
Электростанции	—	1,0
Трубоукладчики	0,7	0,3

Коэффициенты рассчитаны на основе хронометражных наблюдений и анализа использования машин по времени. В размере этих коэффициентов уменьшается объем строительно-монтажных работ строительных управлений в пользу машиноэксплуатационных хозяйств.

Институт экономики

Поступило 12. VIII 1964

Г. И. Ширэлијева

Тикинти машиналарынын ишләдилмәси һаггыны өдәмәк үчүн  
план-несабат гијметинин тәтбиги вә методики тә'жини

#### ХУЛАСЭ

ССРИ Дөвләт Тикинти Комитетинин 1964-чү ил 31 март тарихли гәрарына эсасән тикинти машиналарынын ишләдилмәси һаггыны өдәмәк план-несабат гијметине көрә Јерине Іетирилмәлидир. Һазырда өл-

кәмизин тикинти тәшкілаттарында олдугу кими, Азәрбајчанды да тикинти машиналарынын ишләдилмәси һаггынын верилмәси смета гијметине эсасән апарылыр. Бу она көрәдир ки, индијә гәдәр тикинти машиналарынын истифадә едилмәси һаггыны өдәмәк үчүн план-несабат гијмети методикасы ишләнилмәмишdir.

Бу мәгаләдә өлкәмиздә биринчи дәфә олараг, мұхтәлиф машиналардан истифадә едилмәси несабаты методикасы верилир. Машиналарын ишләдилмәси үчүн план-несабат гијметинин мигдары онларын бир күндә нечә нөвә ишләмәсіндән асылыдыр.

Тикинтидә гүлләли кранларын истисмар хәрчләри механикләшdirмәјә сәрф олунан үмуми хәрчларин эн чох һиссәсіннің тәшкіл едир. Она көрә дә тәклиф олунур ки, гүлләли кранларын ишләдилмәси һаггынын өдәнилмәси мәзизил вә мәдәни-мәишәт тикинтисиндә бир бина үчүн тамамилә вә жауд бинанын айры-айры мәрһәләләри үзрә һәјата кечирилсін.

Мәгаләдә тикинти гурашдырма ишләринде машиналарын ишләдилмәсіннің нәзәрә алан әмсаллар да верилмишdir.

ЭКОНОМИКА

Р. М. ГУСЕЙНОВ

**К ВОПРОСУ СТРОИТЕЛЬСТВА И РАЗМЕЩЕНИЯ  
ШЕРСТОМОЕЧНОГО ПРОИЗВОДСТВА В ЗАКАВКАЗЬЕ**

(Представлено академиком АН Азербайджанской ССР А. С. Сумбатзаде)

В условиях Закавказья при размещении предприятий текстильной промышленности важно учитывать все природно-экономические предпосылки, особенно сырье и трудовые ресурсы.

В настоящее время почти вся заготовляемая шерсть из Закавказского района вывозится для мойки на Невинномысскую шерстомоечную фабрику Северного Кавказа и доставляется в район в мытом виде. Общие затраты на отгрузку немытой шерсти из Закавказья в этот район и транспортировку мытой шерсти обратно составляют ежегодно более 0,3 млн. руб.

В перспективе транспортные расходы возрастут до 0,6 млн. руб. в год. В результате этого имеют место встречные и нерациональные перевозки, на что используется большое количество железнодорожных вагонов.

В целях ликвидации непроизводительных расходов, связанных со встречной перевозкой шерсти, в перспективных планах развития промышленности в Закавказском экономическом районе, две республики (Азербайджанская и Грузинская) параллельно предусматривают строительство у себя фабрик первичной обработки шерсти.

На наш взгляд, строительство двух фабрик небольшой мощностью в Закавказском экономическом районе является экономически нецелесообразным, так как сырьевые ресурсы данного района с учетом перспективы, удовлетворят только одну фабрику, состоящую из пяти мойных машин.

В настоящее время две проектные организации разрабатывают проект шерстомоечных фабрик в Закавказском экономическом районе. Разработан проект шерстомоечной фабрики с привязкой его к пункту в пос. Шулавери Грузинской ССР проектной мощностью 12 тыс. т немытой шерсти.

Госплан Грузинской ССР включил в титульные списки капитальных вложений на строительство шерстомоечной фабрики с фабрикой восстановленной шерсти в пос. Шулавери. Считаю, что в данном пункте строительство шерстомоечной фабрики экономически не обосновано. Это связано с эффективным развитием хозяйства Закавказского экономического района.

По заказу Совнархоза Азербайджанской ССР, Укргипролегпром проектирует фабрику по первичной обработке шерсти в г. Евлахе Азербайджанской ССР проектной мощностью 18 тыс. т немытой шерсти.

Задания на проектирование шерстомоечных фабрик в Шулавери и в г. Евлахе были даны соответственно Грузинским и Азербайджанским совнархозам, учитывая потребности и возможности своих республик, без учета интересов хозяйства всего Закавказского экономического района. Это привело к тому, что проект, разработанный по Шулавери, предусматривает очень маленькие и экономически не обоснованные мощности этого предприятия. По данному проекту намечается большой расход капиталовложений—7,4 млн. руб., из них: на промышленное строительство 5,95 млн. руб., жилищное—1,5.

По проекту предусмотрены большие затраты на неэкономичное топливо и строительство дополнительной железнодорожной линии к объекту и т. д.

Предварительные расчеты показывают, что себестоимость получаемой продукции на фабрике в г. Шулавери предусматривается высокая и предприятие будет нерентабельным.

В качестве точки строительства фабрики первичной обработки шерсти рекомендуется г. Евлах Азербайджанской ССР.

Проект фабрики первичной обработки шерсти в г. Евлахе разрабатывается и экономически целесообразен.

По количеству заготовляемой шерсти Азербайджанская ССР среди республик Закавказья занимает первое место (55%).

Кроме того, часть овец Грузинской ССР, Армянской ССР и Дагестанской АССР ежегодно перегоняют на зимние пастбища в Азербайджан, где они проходят весеннюю стрижку.

Исходя из этого, фабрика первичной обработки шерсти должна быть размещена на территории Азербайджанской ССР.

Однако сырьем только Азербайджанской ССР это предприятие не может быть обеспечено—заготовка шерсти в Азербайджане находится на уровне 10 тыс. т, а проектируемая мощность предприятия составляет 18 тыс. т. Поэтому недогрузка фабрики в первые годы приведет к убыточности.

В перспективе производство немытой шерсти по Закавказскому экономическому району планируется в следующих размерах: Закавказье—36 тыс. т., Азербайджанской ССР—20,0, Грузии и Армении соответственно по 8 тыс. т.

По нашим расчетам строительство двух фабрик первичной обработки шерсти в Закавказском крупном экономическом районе является совершенно неправильным и экономически себя не оправдает.

Объем сырьевых ресурсов по заготовке шерсти с учетом перспективы обуславливают целесообразность строительства в районе только одной фабрики на 5 моечных машинах.

Такое решение вопроса позволит повысить эффективность капитальных вложений, ликвидировать распыление материальных средств и приведет к усилению концентрации производства в Закавказском экономическом районе.

По предварительным подсчетам экономия нетекущих капиталовложений составит не менее 1 млн. руб.

Расчеты показывают, что наиболее выгодным пунктом в Закавказье для строительства фабрики первичной обработки шерсти является г. Евлах Азербайджанской ССР.

При строительстве фабрики в г. Евлахе имеется возможность кооперирования в части электроснабжения, водоснабжения, теплоснабжения, подъездных железнодорожных путей, пожарного депо и пр. с предполагаемым к строительству картонно-целлюлезным комбинатом.

Расчеты показали, что транспортные издержки по перевозке шерсти из различных пунктов Закавказского экономического района меньше всего в Евлахе.

Гор. Евлах занимает промежуточное положение в Закавказье, имеет удобную транспортную сеть.

Здесь находится железнодорожная станция, речной путь, узел шоссейных дорог, идущих из Армении, Грузии и других районов Азербайджана.

Транспортное положение Евлаха позволит большую часть немытой шерсти из северной Армении, главных районов Азербайджана и восточной Грузии доставлять на фабрику автотранспортом без всякой перевалки.

В то же время Евлах расположен близко и является основным потребителем мытой шерсти в лице трикотажных и шерстяных предприятий в шерстяной зоне Закавказья.

В Евлахе имеется выход газопровода, что позволяет использовать дешевое топливо в виде газа для котельной.

Строительство фабрики в г. Евлахе является целесообразным, потребует небольших капиталовложений для жилищного строительства, так как там имеются трудовые резервы, обеспеченные жильем.

Кроме того, в г. Евлахе весьма благоприятно и надежно решаются вопросы сброса сточных вод: они будут сброшены в Мильско-Карабахский коллектор, который предназначен для отвода засоленных вод в Каспийское море.

Вода из этого коллектора на всем протяжении около 400 км не используется для хозяйственных и питьевых целей.

При сбросе сточных вод в данный коллектор не требуется биологической очистки, достаточно механической. В г. Евлахе также имеются лучшие условия для осуществления строительства—близость мощной строительной базы, расположенной в Мингечауре.

По нашему мнению, после окончания строительства общезакавказской фабрики первичной обработки шерсти в г. Евлахе, следует создать в г. Акстафе специализированную шерстопрядильную фабрику для выработки товарной качественной шерстяной пряжи, которая пойдет на изготовление верхнего трикотажа предприятий Азербайджана, Армении и Грузии.

Такое мероприятие позволит резко повысить качество верхнего трикотажа Закавказья, в то же время освободить все комвольносуконные комбинаты от выработки товарной пряжи, что создаст возможность расширения выработки сырья до мощности отделочного производства комбината.

Институт экономики

Поступило 24. VI 1964

Р. М. Һусеинов

Загафгазија иғтисади рајонунда јунјума фабрикиниң тикилмәси вә јерләшдирилмәси мәсәләси

ХУЛАСЭ

Назырда Загафгазија иғтисади рајонунда тәдарүк едилән јун әсасын јујулмаг үчүн Шимали Гафгазын Невимоныски шәһәриндәки В. И. Ленин адына јунјума фабрикинә көндәрилир вә јујулмуш јун

јенидән һәмин рајона гајтарылыр. Бу јунун јүкләниб бошалдылмасына вә нәглијјатла көндәрилмәсина һәр илдә 0,3 милjon манат мәбләғинде пул сәрф едилир.

Перспективдә нәглијјат һәчми 0,6 милjon маната гәдәр артчагдыр. Назырда ики республика—Азәрбајҹан вә Күрчүстан ССР планда јунјума фабрикиниң тикилмәсии нәзәрдә тутур.

Бизим фикримизчә, Загафгазија иғтисади рајонунда ики кичик һәчмли фабрикин тикилмәси иғтисади чәһәтдән әһәмијјәтли дејилдир.

Күрчүстан ССР-ни планда нәзәрдә тутдуғу Шулазери гәсәбәснәдә јунјума фабрикиниң тикилмәси барәдә габагчадан апарылан иғтисади һесаблама көстәрир ки, истеңсал олуначаг мәһсүлүн маја дәјәри баһа баша кәләчәк вә мүәссисә рентабелли ишләмәјәчәкдир.

Азәрбајҹан ССР-дә јунјума фабрикиниң тикилмәси үчүн Јевлах шәһәри мәсләһәт көрүлүр. Бу, иғтисади чәһәтчә әһәмијјәтлидир, чүнки Загафгазијада тәдарүк едилән јунун 55 фаизини Азәрбајҹан верир. Мәсәләнни бу чүр һәлл едилмәси бир милjon манатдан артыг капитал гојулушуна гәнаэт едәчәк вә истеңсалын тәмәркүзләшмәсина сәбәб олачагдыр.

АРХЕОЛОГИЯ

И. Җ. НӘРИМАНОВ, И. Р. СӘЛИМХАНОВ

**ШӘРГИ ЗАГАФГАЗИЈА ЭҢАЛИСИННИН МӘИШӘТИНДӘ ИЛК  
МЕТАЛЛАРЫН ТӘТБИГИ**

(Азәрбајчан ССР ЕА академики М. Ә. Гашгај тәгдим етмишdir).

Гәдим Гафгаз, о чүмләдән Шәрги Загафгазија эңалисинин мәишәтиндә илк металларын тәтбиғ олунмасы һәмин рајонларын мадди мәдәнијәт тарихинде ән мүһүм чәһәтләрдән биридир. Белә бир мәсәлән тәтбиғи нәтижәсендә јерли эңалисинин дахили инкишаф просесинин дүзүн өјрәнилмәси хејли асанлашыр, мәдәни әлагәләрин сәчијәси вә истигамәти мүәյҗән едилir.

Мәһз буна көрә дә Гафгазын гәдим абидаләриндән тапылан метал әшжалар спектрал вә кимјәви үсуллары тәтбиғ едән лабораторијаларын тәдгигат объектини тәшкил етмишdir (6). Индијә гәдәр апарылан анализләрин нәтижәсилә Шәрги Загафгазија эңалисинин мәишәтиндә илк дәфә һансы металлар вә онларын гарышынын истигадәси мә'лум олмушdur.

Азәрбајчан ССР әразисинде ән гәдим метал әшжалар бу вахта гәдәр ялныз Нахчыван яхынында Күлтәпә Јашајыш јерини ер. әв. IV миниллијә аид I мәдәни тәбәгәнин үст йарысындан ашкар олунмушdur.

Һәмин тәбәгәнин үст йарысында једди метал әшja тапылышыр. Бунлар дөрдтилли чох да бөйүк олмајан биздән, ромб формалы „ох учундан“, ики кичик мунчугдан вә үч намә'лум әшjanын гырыгларындан ибарәтдир. Бүтүн бу тапынтыларын һамысы чох оксидләшмиш вәзијәтдә әлдә едилдијиндән онлarda элементләрин тәркиби әшжаларын назырланмасы дөврүнә иисбәтән хејли азалышыр.

Шәрги Загафгазија әразисинде Күлтәпәнин алт мәдәни тәбәгәси илә һәмдөвр олан 15-ә гәдәр мә'лум абидалән ялныз үчүндә кичик һәчмeli газынты ишләри апарылышыр. Һәмин абидаләрдә газымалардан вә чиј кәрпичләрдән һөрүлмүш даирәви јашајыш биналары, чохлу мигдарда даш вә сүмүк материалы, бәсит керамика мә'мұлаты ашкар едилмишdir. Эңалисин иғтисалијатында әкинчи-малдар тәсәррүфат формасы әсас рол ојнамышыр. Аңчаг онларын һеч бириндә металын тәтбиғ олунмасыны көстәрән әламәтә раст кәлинмәмишdir.

Күлтәпәнин 1-чи тәбәгәсindән әлдә едилән метал әшжалар Азәрбајчан ССР ЕА Тарих Институтунун лабораторијасында спектрал үсу-

лу илә тәдгиг едилмишdir. Анализләр нәтижәсindә мә'лум олмушdur ки, әшжаларын дөрдү башлыча олараг мисдир, башга элементләрин исә чох аз гатышыры вардыр. Үчүнүн тәркибиндә 1,15%-ә гәдәр мәркмуш вә бириндә исә мәркмуш илә Яанаши 1,6% никел гатышыры вардыр. Енtimal ки, тәркибиндә мәркмуш вә никел гатышыры олан әшja бурая ѹаҳын Шәргдән кәтирилмишdir. Белә ки, илк дәфә мис-никел физицинә мәркмуш гатышмыш әшжалар орада назырланышыр [5].

Күлтәпә Јашајыш јеринин 1-чи тәбәгәсинин саксы мә'мұлаты ичәрисинде јерли истеңсала мәнсуб олмајан бир нечә бојалы габ нұму-нәләри дә вардыр ки, бунлар Азәрбајчанын әннүб өлкәләри илә мәдәни әлагәсими бир даһа сүбүт едир.

А. А. Ијессенин фикринә көрә, металлуркијанын илк инкишаф мәркәләсисинде Шимали Сурија, Месопотамија вә Загафгазијанын металла тәчниз олунмасында Трапезундан вә Чорохдан әннүбдан вә еләчә дә Елјазиздән әннүб-шәргдә—Аргонда јерләшән мис јатаглары мүһүм рол ојнамышыр [3]. Демәли, Загафгазија абидаләриндә әннүбдан кәтирилмә бә'зи метал әшжаларын тапылmasы мүмкүндүр вә бу мәсәлә јерли эңалисинин мәишәтиндә истигадә олунан илк металларын өјрәнилмәсindә хүсуси әһәмијәт кәсб едир.

Ер. әв. IV минилликдә метал чыхарылыш хаммал мәнбәләринин айынлашдырылмасы олдугча чәтин бир мәсәләdir. Белә ки, һәмин дөврә инсанлар чох күман ки, мис јатагларынын оксидләшмиш үст гатларындан истигадә етмишләр. Оксидләшмиш јерли физиزلәрдән көтүрүлмүш нұмунәләрдин спектрал анализе көстәрмишdir ки, онларын тәркибиндә аз мәркмуш гатышыры вардыр. Демәли, ер. әв. IV миниллијә аид мәркмуш гатышыглы, тәркибиндә никел олмајан метал әшжаларын јерли истеңсала мәнсуб олмасыны сөјләмәјә мүәյҗән әсас вардыр [4].

Ер. әв. III минилликдә Шәрги Загафгазија эңалисинин мәишәтиндә металын кениш истигадәси айдын мұшақидә олунур. Бу дөврә аид килдән металәртімә гәлибләринин тапылмасы вә онлардакы галығын спектрал анализе көрә, мис-мәркмуш гатышыглы олмасы јерли метал иsteңсалины сүбүт едән ән башлыча амилләрдәндир.

III миниллијә аид метал әшжалар Күлтәпә Јашајыш јеринин 2-чи мәдәни тәбәгәсindән, 119 вә 125 № ли Степанакерт курганларындан, [3], Хачбулаг курганындан<sup>1</sup> вә Ағстафачај саһилиндә Бабадәрвиш йашајыш јериндән әлдә едилмишdir.

Мараглы буласыздыр ки, Бабадәрвишдән әлдә едилән метал „гармагын“ спектрал анализе онун тәркибиндә кифајәт гәдәр галај вә мәркмуш гатышыры олдуғуны мүәйҗән етмишdir. Спектрал анализе көрә онун тәркиби беләдир:

Cu	Sn	Pb	Zn	Sb	Ag	Au
0,97	0,02	0,05	1,3	0,05	0,02	0,005
Bi	Ni	Co	Fe			
0	0,24	0	0,2			

Онун тәркибиндә 0,97% галај вә 0,24% никелин олмасы бу әшja һынын кәтирилмә олмасыны сөјләмәјә әсас верир.

Баба Дәрвишдән үзәри мави ширлә өртүлмүш бир әдәд мунчуг тапылышыр ки, бунун да кәтирилмә олмасы һеч бир шубhә ѡаратмыр.

Ону да гејд етмәк лазымдыр ки, тәркибиндә галај вә мәркмуш гатышыры олан әшжалара Гафгаз әразисинде олдугча надир һалларда тәсадуф едилмишdir.

<sup>1</sup> Гејд: Хачбулаг кургани 1960-чы илдә И. М. Чәфәрзәде тәрәфиндән тәдгиг едилмишdir.

Степанакерт курганларындан түнч әшжалардан әлавә гызылдан, Күлтәпәниң 2-чи мәдәни тәбәгәсіндән исә гургушуқдан назырламыш әшжалар тапылмышдыр. Спектрал анализе көрә гургушун әшјаның тәркиби беләдир:

Pb	Cu	Sn	Ag	Fe
Әсас чох аз	0,002	0,06	0,005	

Башга елементләр гатышығы јохдур.

Шәрги Загағазијада метал әшжаларын тәтбиги ер. әв. IV минилликдән башланмышдыр. Онлар тәркибиндә чох аз мигдарда башга елементләрин гатышығы олар мисдән назырламышдыр. Үч әшјаның тәркибиндә 1,15%-ә гәдәр мәркмуш, онларын бириндә әлавә олараг 1,6%-ә гәдәр никел дә вардыр. Сонунчұ әшја Іәгін ки, чәнубдан кәтирилишидир.

Ер. әв. III минилликдә мис-мәркмуш гатышығы метал әшжалар искеңсал олунур, мәркмуш гатышығы 6%-ә гәдәр чатыр, башга елементләрин гатышығы исә чох аз иди. Илк дәфә олараг гызыл вә гургушундан назырламыш әшжалардан истифадә олунур. Бирәшјаның тәркибиндә тәхминән 1%-ә гәдәр галајын олмасы көстәрир ки, бу дөврдә јерли әнали биринчи дәфә олараг мис-галај гатышығы әшжалардан истифадә етмишидир. Мис-мәркмуш гатышығы әшжаларын јерли әналини мәишәттәндә кениш истифадә олунмасы тәхминән ер. әв. II миниллийин орталарына гәдәр давам етмишидир.

#### ЭДӘБИЙЛАТ

1. Абидуллаев О. А. Некоторые итоги изучения холма Колътепе в Азербайджане. «Советская археология», № 3, М., 1963. 2. Гуммель Я. И. Некоторые памятники раннебронзовой эпохи Азербайджана. Краткие сообщения Ин-та истории и материальной культуры, вып. XX, 1948. 3. Иессен А. А. Кавказ и древний Восток в IV и III тыс. до н. э. Краткие сообщения Ин-та археологии АН СССР, вып. 93, 1963. 4. Кащай М. А., Селимханов И. Р. Химическая характеристика браслетов из мингечеурских погребений с сильно скорченным костяком. «ДАН Азерб. ССР», т. IX, № 3, 1955. 5. Нариманов И. Г. Древнейшие серпы Азербайджана. «Советская археология», № 1, М., 1964. 6. Селимханов И. Р. Историко-химические и аналитические исследования древних предметов из медных сплавов. Баку, 1960. 7. Desh C. H. Sumerian Copper, Reports of the Committee on 1928, 1. (Report Brit. Assoc. Advanc. Scien., 1928—1936).

Тарих Институту

Алынышдыр 25. I 1965

И. Г. Нариманов, И. Р. Селимханов

#### К применению первых металлов в быту населения восточного Закавказья

#### РЕЗЮМЕ

На территории Азербайджанской ССР до настоящего времени наиболее древние металлические предметы обнаружены лишь в верхней половине 1-го культурного слоя холма Колътепе, исследованного О. А. Абидуллаевым. Датируется он в пределах IV тыс до н. э.

Эти предметы—четырехгранная проколка, наконечник стрелы ромбовидной формы, две бусинки и три фрагмента неопределенных предметов—найдены в сильно окисленном состоянии, следовательно содержание в них примесей по сравнению с первоначальным металлом сильно занижено.

Согласно результатам их спектрального анализа четыре из них оказались медными с очень малыми примесями других элементов, а

в остальных трех имеется примесь мышьяка до 1,15% и в „проколке“ еще содержится 1,6% никеля. Последнее говорит о ее возможном происхождении из Ближнего Востока, где медноникелевые предметы производились предположительно на базе оманской медноникелевой руды. Это тем более вероятно, что в 1-ом слое Колътепе найдены фрагменты росписной керамики, отличной от местной и относящейся к предметам южного происхождения.

Памятники, хронологически синхронные 1-му слою Колътепе обнаружены и частично исследованы в других районах Азербайджанской ССР. Они характеризуются земледельческо-скотоводческой формой хозяйства; дома сооружались круглой формы из сырцового кирпича. Однако ни в одном из этих памятников металлических изделий до настоящего времени не найдено.

Выяснение источников сырья для получения металлов в IV тыс. до н. э. является сложной задачей, т. к. в то время могли использоваться лишь поверхностные окисленные минералы и руды из местных месторождений, давно выработанных. Исследование отобранных окисленных медных минералов показало наличие в них очень малых примесей.

Возможность обнаружения частично привозных металлических изделий не исключена. Согласно высказываниям А. А. Иессена, на ранних этапах развития металлургии, меднорудные месторождения южнее Трапезунда и Чороха, а также Аргона к юго-востоку от Эль-Азизия, играли существенную роль в снабжении металлом районов Северной Сирии, Месопотамии и Закавказья.

В III до н. э. металлические изделия изготавливались из медномышьяковых сплавов с содержанием до 6% мышьяка и с малыми примесями других элементов; впервые проявляются изделия из золота и свинца. В одном памятнике—поселении Бабадервиш (Акстафачай) в Казахском районе, найден предмет, содержащий около 1% олова; это говорит за то, что в это время у населения впервые проявляются медно-оловянные предметы, хотя основная часть изготовлена из медномышьяковых сплавов на базе местных руд.

Присутствие 0,24% никеля в предмете из Бабадервиш дает основание предполагать о его привозе, что вполне вероятно, т. к. найденная в том памятнике бусина, покрытая голубой глазурью, несомненно, является предметом южного происхождения.

АРХЕОЛОГИЯ

Ф. Н. ТАВАДЗЕ, Т. Н. САКВАРЕЛИДЗЕ, Т. И. ГОЛУБКИНА

МЕТАЛЛОГРАФИЧЕСКИЕ ИССЛЕДОВАНИЯ НЕКОТОРЫХ  
ИЗДЕЛИЙ ИЗ ЧЕРНОГО МЕТАЛЛА КУВШИННЫХ ПОГРЕБЕНИЙ  
АЗЕРБАЙДЖАНА

(Представлено академиком АН Азербайджанской ССР А. К. Ализаде)

Вопрос о развитии и состоянии ремесла древней Албании периода культуры кувшинных погребений II—I вв. до н. э.—I—III вв. н. э. является наименее изученным.

Все же, на основании изучения имеющихся археологических материалов из кувшинных погребений можно уже сейчас сделать некоторые выводы о металлообработке и ремесле.

На основании изучения имеющихся в нашем распоряжении археологических материалов надо считать, что в рассматриваемый нами период железо стало основным материалом в производстве орудий труда, оружия, инструментов, снаряжения и разной утвари.

Развитию местной металлургии могло способствовать наличие железных и других руд, а также больших лесов. Местное металлическое производство могло обеспечивать потребности хозяйства племен Албанского государства в железе, меди и других металлах.

Технология сырьедутного производства у всех народов мира была почти однотипна. Поэтому мы имеем полное право выдвинуть подобное предположение о получении черного металла у жителей древней Албании и во времена культуры кувшинных погребений.

Археологические памятники, например, остатки металлического производства, продукция металлообрабатывающего ремесла являются основным источником для воспроизведения техники производства.

К сожалению, комплексный лабораторный анализ металлических изделий, за исключением спектрально-химического анализа 18-ти бронзовых браслетов<sup>1</sup> из кувшинных погребений пока не произведен. Этот анализ помог бы в изучении технологии изготовления предметов из черного металла (металлографический—макроструктурный, микроструктурный и спектральный анализы, а также микротвердость).

<sup>1</sup> М. А. Кашкай и И. Р. Селимханов. О химической характеристики некоторых бронзовых предметов из кувшинных погребений древнего Мингечаура. Изв. АН Азерб. ССР. 1954, № 11.

Только в последнее время приступили к изучению технологии изготовления предметов из черного металла вышеуказанного археологического памятника.

При Грузинском институте metallurgии произведены металлографические исследования некоторых изделий из черного металла кувшинных погребений Азербайджана.

Исследование были подвергнуты сильно окисленные железные предметы: тесло (инв. № 60), втульчатый наконечник копья (инв. № 39), небольшой нож (инв. № 39).

Результаты исследований следующие:

а) Тесло из кувшинного погребения с. Покровка Астраханбазарского района (рис. 1, 1)<sup>2</sup>. Рабочий край тесла расширен и закруглен. Отверстие для рукоятки сделаны со стороны широкой части лезвия. Длина тесла—11 см, ширина лезвия—4 см, внешний диаметр отверстия 6 см, его внутренний диаметр—2 см. Исследование подверглись рукоять и лезвие тесла. Рукоять тесла изготовлена из углеродистой стали. Содержание углерода составляет приблизительно 0,30%. Структура представляет собой перлит и феррит (рис. 2, 1).

Лезвие тесла—мельчайший кристаллический феррит, вокруг которого расположены участки перлита, в котором перлитный цементит значительно коагулирован. Холодной деформацией лезвия тесла произошел наклеп металла, чем повышена режущая способность кромки. Шлаковые включения вытянуты в направлении ковки (рис. 2, 2).

Макроструктура тесла показывает, что оно изготовлено из одного куска железа свободной ковкой, а отверстие пробито при горячем состоянии металла (рис. 2, 3).

б) Втульчатый наконечник копья из кувшинного погребения сел. Деллекли Ярдымлинского района (рис. 1, 2)<sup>3</sup>. Длина наконечника копья—18,5 см, ширина в середине—3,5 см, диаметр втулки—2,5 см.

Исследование подверглись лезвие и начало втулки. Начало втулки изготовлено из малоуглеродистого железа с содержанием углерода приблизительно от 0,1 до 0,15% (рис. 3, 1), который в виде третичного цементита и перлита расположен по границам зерен феррита.

Отверстие втулки было раскрыто сбоку и изготовлено из листовой заготовки путем вставки специального приспособления для получения

<sup>2</sup> Ш. Г. Садых-заде. Археологические находки в Астраханбазарском районе (резюме на русск. яз.). «ДАН Азерб ССР», 1961, № 9, стр. 852, рис. 3. Следует отметить, что автор неправильно называет данное орудие топором.

<sup>3</sup> Ш. Г. Садых-заде. Археологические находки в Ярдымлинском районе (резюме на русск. яз.). Материалы по истории Азербайджана, т. VI, Баку, 1963, стр. 6, рис. 1.

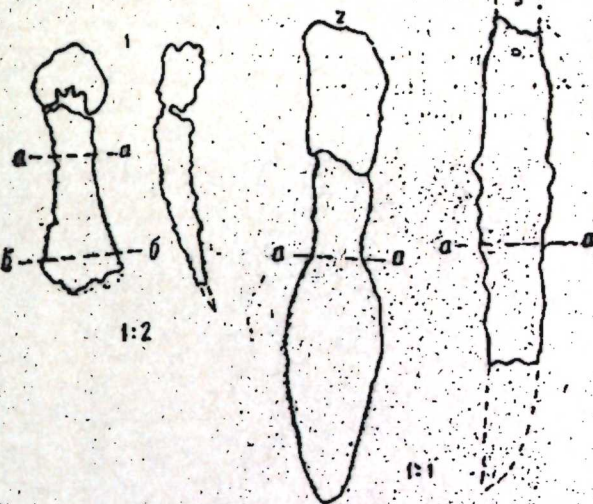


Рис. 1. Железные предметы из кувшинных погребений Азербайджана

втулки. На лезвии не было заметно места соединения краев заготовки. В центре лезвия имеется ребро жесткости. Края лезвия уточнены.

Рабочая часть копья — лезвие, в структуре состоит из полигидров феррита, окруженных тонкой каймой окислов (произошла межкристаллитная коррозия) и незначительных участков перлита (рис. 3, 2).

в) Нож с отломанным острием из этого же погребения (рис. 1, 3)\*.

Длина ножа 13,5 см, ширина — 3 см. Исследованию подверглось его лезвие. Нож изготовлен из одного куска железа, лезвие которого уточнено. На ручке ножа сохранился железный гвоздик; при помощи которого прикреплялась рукоять ножа.

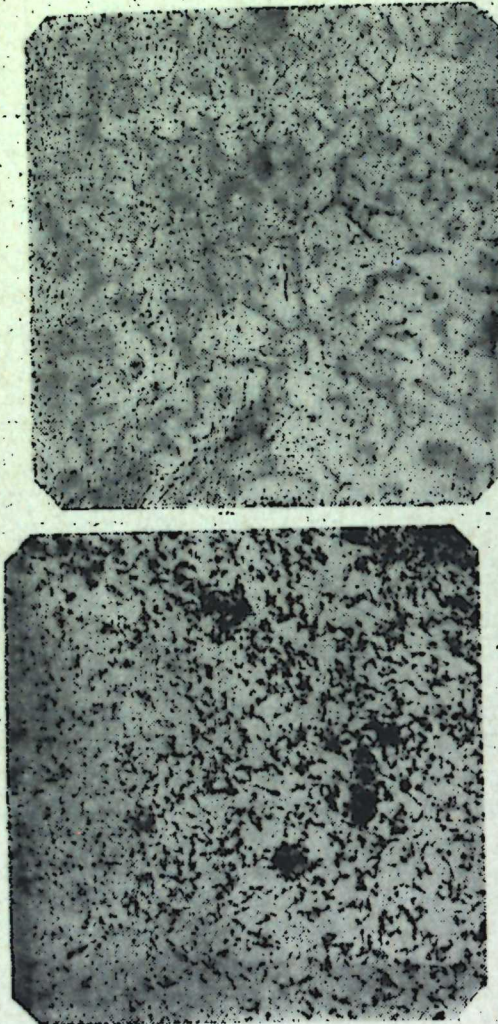


Рис. 2. 1 — микроструктура рукоятки тесла  $\times 200$ ; 2 — микроструктура лезвия тесла  $\times 200$ ; 3 — микроструктура тесла  $\times 200$ .

Нож изготовлен из углеродистой стали. Структура показывает, что углерод распределяется неравномерно по всей поверхности вследствие неравномерной проковки. Местами больше феррита, а местами — перлита. Кристаллы удлинены в одну сторону по направлению деформации (рис. 3, 3, 4), содержание углерода не более 0,3%.

Приведенные данные позволяют сделать некоторые выводы,

\* Ш. Г. Садых-заде. Археологические находки в Ярдымлинском районе (резюме на русск. яз.). Материалы по истории Азербайджана, т. VI, 1963, стр. 6, рис. 2.

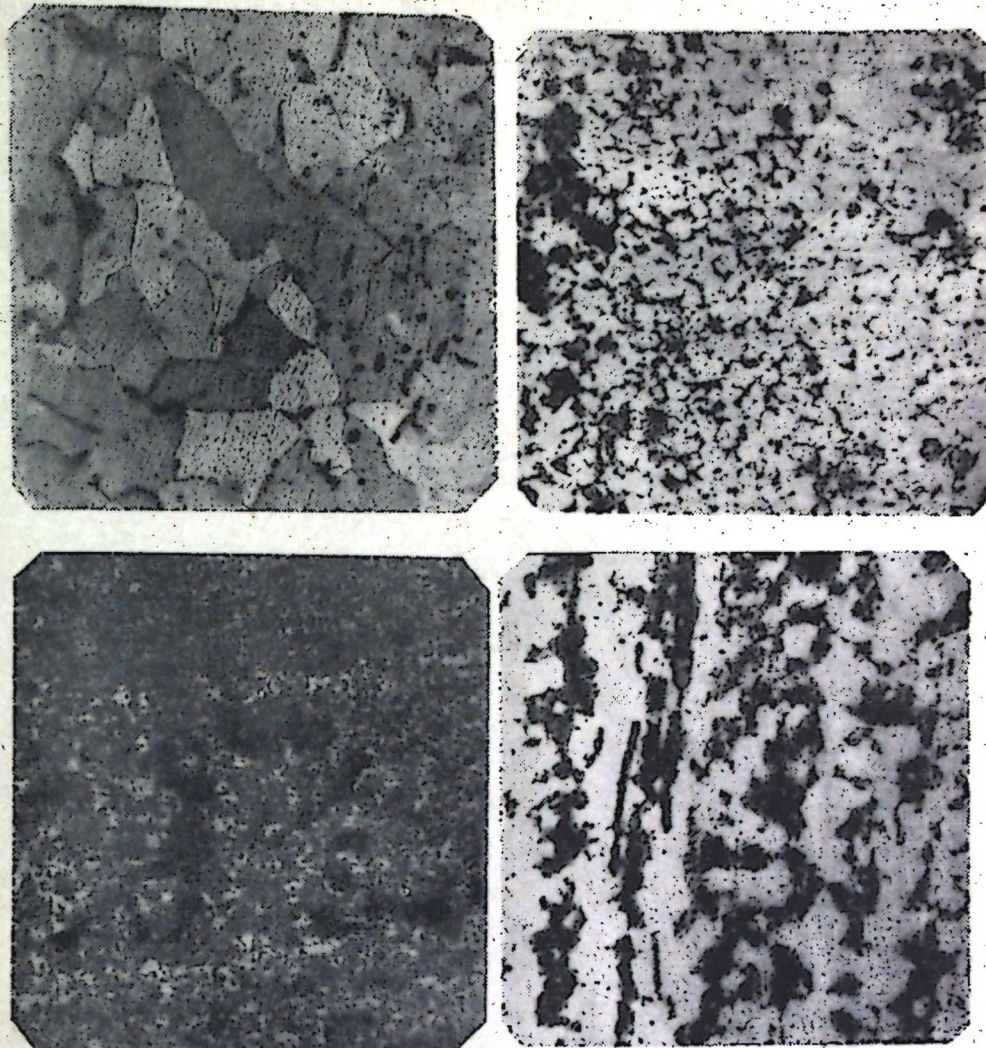


Рис. 3. 1 — микроструктура втулки копья  $\times 200$ ; 2 — микроструктура наконечника копья  $\times 270$ ; 3 — микроструктура ножа  $\times 200$ ; 4 — микроструктура ножа  $\times 270$ .

#### Результаты спектрального анализа железных предметов из кувшинных погребений Азербайджана

№№ п/п	Предметы	Si	Al	Mg	Fe	Mn	Cu*	Ni
1	Копье	Есть	Мало	Мало	Оч. много	Нет/след.	Есть	—
2	Тесло	Есть	Мало	Много	Оч. много	Нет/след.	Есть	Мало
3	Нож	Есть	Мало	Мало	Оч. много	Нет/след.	Есть	Мало

\* Следы — тысячные доли %

Мало — сотые доли %

Есть — десятые доли %

Много — больше 1 %

1. Спектральный анализ (см. таблицу) показывает, что железо производилось в сырдунном горне, где условия для восстановления других окислов, кроме железных, являются неблагоприятными.

2. Основной обработкой черного металла в это время являлась свободная горячая ковка с применением специальных пробивных и отрезных приспособлений.

3. В процессе ковки производили ряд кузнецких операций, например: рубку, обрезку, пробивку и прошивку отверстий, изгиб, обжатие, кузнечную сварку и т. д.

4. Ковка производилась тщательно, что приводило к удалению шлаковых включений в металле.

Таким образом, исследование археологических материалов из кувшинных погребений выявляет некоторые данные, позволяющие составить представление об уровне металлического ремесленного производства, а также о торговых связях древней Албании<sup>6</sup>.

Государственный Музей истории Азербайджана

Поступило 3. VI 1964

Ф. Н. Тавадзе, Т. Н. Сакварелидзе, Т. И. Голубкина

## Азәрбајҹанда күп гәбирләrinдәn тапылмыш гара металдан низыранан бир нечә мә’мұлатын металлографик тәдгиги

### ХУЛАСЭ

Мәгаләдә ўч дәмир әшјаңын—кәрки, низәниң тыхачлы учлуу вә кичик бир бычағын металлографик тәдгигинә һәср олунмушдур. Йухарыда гејд олунан әшјаңын тәдгиги ашағыдақы нәтичәләри чыгарыла имкан верир:

1. Спектрал анализ көстәрик ки (чәдвәл II—I), ерамызын I—II әсрләrinдә дәмир билаваситә филиздән айрылан күрәдә истеңсал олунурду. Белә күрәләрдә ялныз дәмир оксидләrinин бәрә олۇмасы үчүн шәрайт әлверишили олурду.

2. Гара металын әсас ишләнилмә үсулу хүсуси дөјмә вә кәсмә аләтләри ишләтмәклә исти шәкилдә дөјмәдән ибарәт иди.

3. Дөјмә просеси заманы бир сыра дәмирчилек әмәлийатлары: кәсмә, дофрама, дешмә, дәликачма, әjmә; йандырма, гајнагетмә вә с. һәјата кечирилирди.

Дөјмә диггәтлә апарылырды. Бу да металда олан шлак гошмаларынын тәмизләнмәсінә имкан јарадырды.

Беләликлә, күп гәбирләrinдәn тапылмыш археологи материалын тәдгиги метал сәнәткарлыг истеңсалынын сәвијәси вә гәдим Албанијанын тичарәт әлагәләри һагында мүәjjәn тәсәввүр јарадыр.

### МҮНДӘРИЧАТ

#### Ријазијјат

Х. Ш. Мұхтаров. Бә’зи гејри-бәрабәрсизликләр вә онларын гејри-хәтти сингулјар тәнликләрә тәтбиги . . . . . 3

#### Нәзәри физика

Ж. М. Назиев. Мүнтәзәм режимин жени бир үсулу—цилиндрик трикалониметр һагтында . . . . . 9

#### Физика

И. Б. Абдуллаев, Н. И. Ибраимов, Ш. В. Мәммәдов, Т. Ч. Чуварлы. Мп ашгарларынын селенә вәзијәти һагтында . . . . . 13

#### Физики кимја

Әл. М. Гулиев, А. М. Табатабай вә б. Тәбин газын адсорбентин «гајнар» лајында тәэзиг алтда фраксијалара айрылмасы . . . . . 17

#### Үзи кимја

Б. Г. Зейналов, Р. М. Элиев. Алифатик синтетик түршүлар вә тисик-лохексилкарбинол әсасында мүрәккәб етерләри (пластификаторларын) синтези . . . . . 22

М. И. Элиев, И. А. Шыхыев вә б. Эвәзедилмиш ароматик карбонид-рокенләрин силисиум-дијен тәрәмаләринин синтези . . . . . 26

#### Кеолокија

Р. Э. Ағамирзәев, Т. А. Золотовитскаја. Палчыг вулканларында тәпә брекцијаларынын радиоактивлиги . . . . . 29

#### Литолокија

Ә. М. Иманов, А. Г. Сеидов. Экәрә дәстәсинин кичик дәнәли әһәнк-дашынын литоложи сәчијәси вә эмәлә кәлмәси шәрәнти (Кичик Гафгаз) . . . . . 33

#### Стратиграфија

Ә. Э. Бајрамов. Кичик Гафгазын шимал-шәрг јамачынын шәрг һиссә-синдә алт тәбашир чекүнүләринин тапылmasына даир . . . . . 37

#### Палеонтолокија

Т. Э. Мәммәдов, Ш. Э. Бајаев. Азәрбајҹанын еосен чекүнүләрин-дә тапылан ири фораминиферләrin anomal инкишафы һагында . . . . . 41

<sup>6</sup> М. А. Кашкай и И. Р. Селимханов. О химической характеристике некоторых бронзовых предметов из кувшинных погребений древнего Мингечаура. Изв АН Азерб. ССР, 1954, № 11, стр. 32.

## Биологија

А. В. Элизадэ. Азәрбајҹаның јерли бәрк бүфдаларының јатыглыға да-  
вамлығы . . . . . 47

## Агрокимја

Ч. Э. Рәсүлов. Дағыстан МССР-ин бир неча торпаг типләриндә калиу-  
мун чеврилмәси . . . . . 51

## Кенетика

С. М. Эһмәдова. Мұхтәлиф су режими шәрәиттәндә вә мұхтәлиф дәрәчә-  
дә јетишән тохумларда азотту бирләшмәләр . . . . . 55

## Тахыллы технолокијасы

В. С. Гарәјева. Азәрбајҹан ССР-дә әкилән бәрк вә јумшаг бүфданың мик-  
робәрклији . . . . . 58

## Зоологија

А. Э. Абдинбәјова. Азәрбајҹаны Губа—Хачмаз зонасындан ихневмо-  
нид вә браконид фасиләсина иштәләнән яңи нөв вә форма миничиләр . . . . . 61

## Тарих

З. М. Бүйядов. Моисеј Каганкәтвасинин «Агван тарихи» адлы эсәрин-  
дә хронологија зиддијјәтләр . . . . . 65

## Игтисадијјат

Г. И. Ширәлијева. Тикнити машиналарының ишләдилмәси һагтыны өдә-  
мәк учун план-несабат гијметинин тәтбиғи вә методики тә'јини . . . . . 68

Р. М. Ыусейнов. Загафазија игтисади рајонунда юніума фабриканин  
тицилмәси вә јетишдирilmәси мәселе . . . . . 72

## Археологија

И. Н. Нәриманов, И. Р. Сәлимханов. Шәрги Загафазија әнали-  
синин мәнишәтиндә илк металларын тәтбиғи . . . . . 76

Ф. Н. Тавидзе, Т. Н. Сакварелиძә, Т. И. Голубкина. Азә-  
бајҹанда күп гәбирләриндән тапылмыш гара металдан һазырланан бир неча мә-  
мулатын металлографик тәдгиги . . . . . 80

## СОДЕРЖАНИЕ

### Математика

Х. Ш. Мұхтаров. О некоторых неравенствах и их приложение к исследо-  
ванию нелинейных сингулярных уравнений . . . . . 3

### Теоретическая физика

Я. М. Назиев. Об одном методе регулярного режима — цилиндрическом  
трикалориметре . . . . . 9

### Физика

Г. Б. Абдуллаев, Н. И. Ибрагимов, Ш. В. Мамедов, Т. Ч. Джү-  
варлы. О состоянии примеси Mn в Se . . . . . 13

### Физическая химия

Ал. М. Кулев, А. М. Табатабаи и др. Разделение природного газа в  
«кипящем» слое адсорбента под давлением . . . . . 17

### Органическая химия

Б. К. Зейналов, Р. М. Алиев. Синтез сложных эфиров (пластификаторов)  
на основе циклогексилкарбоната и синтетических кислот . . . . . 22

М. И. Алиев, И. А. Шихиев и др. Синтез кремнийдиеновых производ-  
ных замещенных ароматических углеводородов . . . . . 26

### Геология

Р. А. Агамирзоев, Т. А. Золотовицкая. О радиоактивности сопоч-  
ной брекчии грязевых вулканов . . . . . 29

### Литология

А. М. Иманов, А. Г. Сейдов. Литологическая характеристика и условия  
образования мелкозернистого известняка Акеринской свиты (Малый Кавказ) . . . . . 33

### Стратиграфия

А. А. Байрамов. О присутствии нижнемеловых отложений в восточной  
части северо-восточного склона Малого Кавказа . . . . . 37

### Палеонтология

Т. А. Мамедов, Ш. А. Баев. Об аномальном развитии крупных фор-  
аминифер из эоценовых отложений Азербайджана . . . . . 41

## Биология

А. В. Али-заде. К оценке местных твердых пшениц Азербайджана на полегаемость . . . . . 47

## Агрохимия

Д. А. Расулов. Превращение калия на некоторых типах почв Дагестанской АССР . . . . . 51

## Генетика

С. М. Ахмедова. Азотистые соединения зерна пшеницы при различных сроках созревания и различных условиях водоснабжения . . . . . 55

## Технология зерна

В. С. Караваева. Микротвердость зерна твердой и мягкой пшеницы Азербайджанской ССР . . . . . 58

## Зоология

А. А. Абдинбекова. Новые виды и формы паездников сем. Ichneumonidae и Braconidae из Куба-Хачмасской зоны Азербайджана . . . . . 61

## История

З. М. Буйниятов. О хронологическом несоответствии глав «Истории Агван» Монсея Каганкатауи . . . . . 65

## Экономика

Г. И. Ширалиева. Методика определения и применение плановорасчетных цен за работу строительных машин . . . . . 68

Р. М. Гусейнов. К вопросу строительства и размещения шерстомоечного производства в Закавказье . . . . . 72

## Археология

И. Г. Нариманов, И. Р. Селимханов. К применению первых металлов в быту населения восточного Закавказья . . . . . 76

Ф. Н. Тавадзе, Т. Н. Сакварелидзе, Т. И. Голубкина. Металлографические исследования некоторых изделий из черного металла кувшинных погребений Азербайджана . . . . . 80

## МУЭЛЛИФЛЭР ҮЧҮН ГАЙДАЛАР

1. «Азэрбајҹан ССР Елмлэр Академијасынын Мә'рүзэләри»ндә баша чатдырылыш, лакин һөлә башга јердә чап етдирилмәмиш олан эмели вә нәзәри әһәмијәттә малик елми тәдгигатларын иштәчеләрни азд гыса мә'лumatlar дәрч олуңур.

Механик суртдә бир ичә кичик мә'лumatda бөлүнүш ири мәгаләләр, ичәриسىндә бир яни фактик материал олмајан вә мұбанис харәктери дашијан мәгаләләр, мүәјјен иштәчеси вә үмумиләшдиричи якуни олмајан јарымчы тәчрубыләрни тәсвири олундуғу мәгаләләр, тәсвири, жаҳуд ичмал харәктери дашијан, гејри-принципнан асәрлор, сырф методик мәгаләләр (әкәр бу мәгаләләрдә тәклиф олунан метод тамамыла жени дејис), елм Учун сон дәрәчә мараглы олан таптытыларын тәсвири истисна-едилмәклә, биткиләрни вә һөјвандарын систематикасына даир мәгаләләр «Мә'рүзәләр»дә дәрч олуңур.

«Мә'рүзэләр»дә дәрч олуңүш мәгаләләр сопрадан даһа кепиш шәкилдә башга нәшрләрдә чап едилә биләр.

2. «Мә'рүзэләр»дә чап олуңмаг үчүн верилән мәгаләләр жаңыз һәммин ихтисас үзәк академик тәрәфиндән тәгдим едилдикдән сопра журналын Редаксија Ыеј'этниде мүзакиရәјә ғојулур.

Азэрбајҹан ССР Елмлэр Академијасы мүхбир үзвләринин мәгаләләрни һәммин ихтисас үзәк академикин тәгдиматы олмадан гәбул едиллр.

Журналын Редаксија Ыеј'ети академикләрдән хәниш едир ки, мәгалә тәгдим едәркән һәммин мәгаләнин мүэллифдән алымна тарихин, набелә журнальда мәгаләнин јерләшдирилмәли олдуғу елди. бөлмәнин аднын мүтләг көстәрсөнләр.

3. «Мә'рүзэләр»дә һәр мүэллифин илдә 3-дән арты мәгаләсін дәрч олуңур; Азэрбајҹан ССР ЕА академикләринин илдә 8 мәгад, мүхбир үзвләрин исә илдә 4 мәгала чап етдирилән һүгүү варды.

4. «Мә'рүзэләр»дә чап олуңан мәгаләнин кечин, шәкилләр дә дахил олмагла, бир мүэллиф вәрэгинин дәрдә бириндей, јәни макинәдә јазылыш 6-7 сәнифәдән (10.000 чап ишарәсіндән) артыг олмамалыдыр.

5. Азэрбајҹан дилинде јазылыш мәгаләнин сонунда рус дилинде, русча јазылыш мәгаләнин сонунда исә Азэрбајҹан дилинде гыса хұласа верилмәлидир.

6. Мәгаләнин сонунда һәммин тәдгигат ишнин апарылыш олдуғу. елми мүәссисасыннада вә мүэллифин телефон нәмраси көстәрилмәлидир.

7. Елми мүәссисәләрдә апарылыш тәдгигат ишләрнин иштәчеләрни чап етдириләрдә учун һәммин мүәссисасын мүдирләрни ишәр вермәлидир.

8. Мәгаләләр (хұласа дә дахил олмагла) макинәдә соһиғәнни бир үзүндә икى ингервальда јазылышын вә икى иүсқа журанын редаксијасын тәгдим едилмәлидир. Формулалар дүрүст вә айдын јазылышыны; бу налда гара гәләмәл кичик һәрфләрнүстүндән, бәйжүк һәрфләрн исә алтындан икى чызыг чәкілмәлидир.

9. Мәгаләдә ситет кәтирилән әдәбијат соһиғәнни ашағысында чыхыш шәклини дејил, мәгаләнин сонуна әлавә едилән әдәбијат сијаңысында, һәм дә мүэллифләрни фамилиясы үзәр әлифба сирасы илә верилмәли вә мәтнин ичәриسىндә бу, јери кәлдикча, сыра нәмраси илә көстәрилмәлидир. Әдәбијат сијаңысы ашағыдағы гајдада тәртип едилмәлидир:

а) китаблар үчүн: мүэллифин фамилиясы вә иинисиалы (ады вә атасынын адыйнан баш һәрфләр), китабын ады, чилдин нәмраси, нәшр олундуғу јерин вә нәшријатын ады, нәшр олундуғу ил;

б) мәчмүәләрдә (әсәрләрдә) чап олуимуш мәгаләләр үчүн: мүэллифин фамилиясы вә иинисиалы, мәгаләнин ады, журналын ады, мәчмүәнин (әсәрләрин) ады, чилдин, бурахылышин нәмраси, нәшр едилдији јерин вә иәширијатын ады, нәшр олунма или вә сәнифә нәмраси;

в) журнал мәгаләләр үчүн: мүэллифин фамилиясы вә иинисиалы, мәгаләнин ады, журналын ады, нәшр олунма или, чилдин вә журналын нәмраси (бурахылыши нәмраси) вә сәнифәсі;

г) олунмамыш әсәрләрә иснад етмәк олмаз (елми мүәссисәләрдә сакланылан писабатлар вә диссертасијалар мүстәснадыр).

10. Шәкилләрни далында мүэллифин фамилиясы, мәгаләнин ады вә шәклини нәмраси көстәрилмәлидир. Шәкилләттә сөзләри макинәдә јазылыш, айрыча сәнифәда верилмәлидир.

11. Редаксија мүэллифа өз мәгаләсіндән 26 айрыча иүсқа верир.